

การควบคุมระบบบรรจุส้มโดยใช้พีเอลซี

PLC-BASED ORANGE PACKING SYSTEM CONTROL



นายปริน พวนใจชม รหัส 52361963

นายปุณราเวศน์ ชูช่วย รหัส 52361970

| | |
|-------------------------------|-------------------|
| ห้องเรียน คลาส | วิชากรรมศาสตร์ |
| วันที่รับ..... | 12 ก.ย. 2556..... |
| เลขทะเบียน..... | 16982022..... |
| แนวเรียนก้างดีอ้อย..... | มร. |
| หมายเหตุข้ามแผ่นครัว ผ. 458 จ | |

2556

ปริญญาในพันธ์ เป็นส่วนหนึ่งของการศึกษาหลักสูตรปริญญาวิศวกรรมศาสตรบัณฑิต
สาขาวิชาวิศวกรรมไฟฟ้า ภาควิชาวิศวกรรมไฟฟ้าและคอมพิวเตอร์
คณะวิศวกรรมศาสตร์ มหาวิทยาลัยนเรศวร
ปีการศึกษา 2555



ใบรับรองปริญญาบัตร

| | | | |
|-------------------|--------------------------------------|----------|---------------|
| ชื่อหัวข้อโครงการ | การควบคุมระบบบรรจุสื้นโดยใช้ไฟแสดงซี | | |
| ผู้ดำเนินโครงการ | นายปริน | ปวันใจชน | รหัส 52361963 |
| | นายปุณราเวตน์ ชูช่วย | | รหัส 52361970 |
| ที่ปรึกษาโครงการ | ดร. นิพัทธ์ จันทร์มินทร์ | | |
| สาขาวิชา | วิศวกรรมไฟฟ้า | | |
| ภาควิชา | วิศวกรรมไฟฟ้าและคอมพิวเตอร์ | | |
| ปีการศึกษา | 2555 | | |

คณะกรรมการศาสตร์ มหาวิทยาลัยเรศวร อนุมัติให้ปริญญานิพนธ์ฉบับนี้เป็นส่วนหนึ่ง
ของการศึกษาตามหลักสูตรวิศวกรรมศาสตรบัณฑิต สาขาวิชาวิศวกรรมไฟฟ้า


.....ที่ปรึกษาโครงการ
(ดร. นิพัทธ์ จันทร์มินทร์)


.....กรรมการ
(ดร. สุภารัณ พกพิทักษ์ชัย)


.....กรรมการ
(ดร. พนัส นัดฤทธิ์)

| | | | |
|-------------------|--|--------------------|--------------------------------|
| ชื่อหัวข้อโครงการ | การควบคุมระบบบรรจุสัมภาระโดยใช้พีเอลซี | | |
| ผู้ดำเนินโครงการ | นายปริญ นายกุญจรัตน์ | ปวันใจชน ชูช่วย | รหัส 52361963 รหัส 52361970 |
| ที่ปรึกษาโครงการ | ดร.นิพัทธ์ จันทร์มนิธิ | | |
| สาขาวิชา | วิศวกรรมไฟฟ้า | | |
| ภาควิชา | วิศวกรรมไฟฟ้าและคอมพิวเตอร์ | | |
| ปีการศึกษา | 2555 | | |

บทคัดย่อ

ปริญญา尼พนธ์นี้นำเสนองานประยุกต์ใช้พีแอลซีในการควบคุมการลำเลียงและบรรจุสัมภาระในกล่องเพื่ออำนวยความสะดวกและเพิ่มความแม่นยำในการบรรจุ โดยได้ออกแบบและสร้างแบบจำลองของระบบบรรจุสัมภาระที่มีขนาดเส้นผ่านศูนย์กลาง 3-5 cm แบบจำลองประกอบด้วยกล่องสำหรับบรรจุสัมภาระและส่วนลำเลียงสัมภาระ โดยส่วนลำเลียงกล่องมีหน้าที่เคลื่อนย้ายกล่องมาซึ่งตำแหน่งที่สอดคล้องกับการบรรจุสัมภาระ ในขณะที่ส่วนลำเลียงสัมภาระมีหน้าที่เคลื่อนย้ายผลสัมภาระจากถังใส่สัมภาระเพื่อส่งไปยังกล่อง โดยบรรจุสัมภาระในแต่ละกล่อง ในที่นี้ส่วนลำเลียงสัมภาระต้องควบคุมทิศทางและจัดเรียงผลสัมภาระให้เคลื่อนที่ผ่านตัวรับรู้แบบใช้แสงที่กระพริบเพื่อให้เกิดความแม่นยำในการนับจำนวน โดยมีตัวรับรู้แบบใช้แสงทำหน้าที่ตรวจจับกล่องและผลสัมภาระแล้วส่งสัญญาณให้พีแอลซีใช้ควบคุมการขับเคลื่อนมอเตอร์ การแสดงตัวเลขจำนวนกล่องและสัมภาระในแบบจำลองนี้ใช้ส่วนแสดงผลเจ็คส่วนซึ่งรับสัญญาณโดยตรงมาจากตัวรับรู้ ผลการทดสอบแสดงให้เห็นว่าแบบจำลองสามารถลดเวลาดำเนินการต่อหน้าที่ 128 ผลต่อนาที การควบคุมโดยพีแอลซีช่วยให้สามารถปรับแก้โปรแกรมได้สะดวกเพื่อกำหนดจำนวนผลสัมภาระที่ต้องการบรรจุลงในแต่ละกล่องรวมถึงการตั้งเวลาสำหรับช่วงที่ไม่มีวัตถุตัดผ่านตัวรับรู้เพื่อใช้หยุดการขับเคลื่อนมอเตอร์ในระบบ

| | |
|------------------------|---|
| Project title | PLC-Based Orange Packing System Control |
| Name | Mr. Parin Puanjaichom ID. 52361963 |
| | Mr. Punrawat Choochuay ID. 52361970 |
| Project advisor | Mr. Niphat Jantharamin, Ph.D. |
| Major | Electrical Engineering |
| Department | Electrical and Computer Engineering |
| Academic year | 2012 |

Abstract

This thesis presents a PLC application for orange packing control, so the packing process was implemented with ease and accuracy. Hereby, a packing system model for 3-5 cm diameter oranges was developed. The model consisted of a carton carrying part and an orange carrying part. The carton carrying part moved each carton to a position suitable for loading. The orange carrying part delivered the oranges for loading the cartons. In addition, the oranges were arranged to pass a photoelectric sensor and were put into the carton one by one. In this project, two photoelectric sensors were used for detecting the cartons and the oranges. The sensors then signaled to the PLC and the motor-drive circuit responded correspondingly. Numbers of cartons and oranges were shown via seven-segment displays, which directly obtained signals from the sensors. The experimental results showed that the model could continually deliver 128 oranges per minute on average. By means of the PLC programming the control scheme could be easily modified. This included the number of oranges per carton and a timer setting for stopping the motor drive in the absence of cartons or oranges.

กิตติกรรมประกาศ

โครงการนี้สำเร็จลุล่วงไปได้ด้วยดีด้วยความร่วมมือของ ดร. นิพัทธ์ จันทร์มนิธิ ซึ่งเป็นอาจารย์ที่ปรึกษาโครงการ โดยให้คำแนะนำในการแก้ไขและทดสอบชิ้นงาน ตลอดจนสอนหลักการเขียนปริญญานิพนธ์ด้วยความใส่ใจในรายละเอียดของผลงาน จึงทำให้การดำเนินโครงการ และการเขียนปริญญานิพนธ์สำเร็จลุล่วงไปได้ ผู้ดำเนินโครงการจึงขอขอบคุณเป็นอย่างสูง

ขอขอบคุณอาจารย์ทุกท่านที่ให้อบรมสั่งสอนตลอดการศึกษาเล่าเรียนในระดับปริญญาตรี ทำให้สามารถนำความรู้และทักษะในหลายด้านมาประยุกต์ใช้กับการดำเนินโครงการนี้ รวมทั้งขอขอบคุณภาควิชาศึกษาฯ ไฟฟ้าและคอมพิวเตอร์ที่ให้เชื้อเพลิง ET-BOARD V5.0 จนกระทั่งดำเนินโครงการสำเร็จ

ขอขอบคุณรัฐบาลไทยที่จัดตั้งกองทุนภัยเงี่ยนเพื่อการศึกษา (กบศ.) ซึ่งสนับสนุนให้ทุนการศึกษาแก่นายปริน ปวนใจชน ตลอดช่วงการศึกษาระดับปริญญาตรี

ขอขอบคุณคุณมานนท์ ขันธ์ทอง (พี่ฟิล์ม) และคุณกัญญาภัก สมพันธ์ (พี่ดาล) ที่ให้คำปรึกษาในการใช้งานชุดทดลอง ET-BOARD V5.0

ขอขอบคุณคุณอรี นวลนาค (พี่โนนง) ที่ให้คำแนะนำในการออกแบบโครงสร้างส่วนเกลียวสำหรับใช้สำลีเดิงสัมลงกล่อง

ขอขอบคุณคุณสุรศักดิ์ จิตตรง (หน่ออบ) เพื่อนสาขาวิชาศึกษาฯ ไฟฟ้าที่ให้คำแนะนำในการใช้ตัวรับสัญญาณและการวางแผนในการบัดกรีวงจรกำลังแบบเป็นระบบ

เห็นอิสิ่งอื่นใด ผู้ดำเนินโครงการขอรับขอพระคุณบิความราคานี้มอบความรัก ความเข้าใจ และขอเป็นกำลังใจให้อยู่เสมอที่ทำให้ประสบกับความสำเร็จอย่างทุกวันนี้

นายปริน ปวนใจชน

นายปุณยะวัฒน์ ชูช่วย

สารบัญ

หน้า

| | |
|--|----|
| ใบรับรองปริญญาบัตร..... | ก |
| บทคัดย่อภาษาไทย | ข |
| บทคัดย่อภาษาอังกฤษ..... | ค |
| กิตติกรรมประกาศ..... | ง |
| สารบัญ..... | จ |
| สารบัญตาราง..... | ช |
| สารบัญรูป..... | ซ |
| | |
| บทที่ 1 บทนำ..... | 1 |
| 1.1 ที่มาและความสำคัญของโครงการ..... | 1 |
| 1.2 วัตถุประสงค์ของโครงการ..... | 1 |
| 1.3 ขอบเขตของโครงการ | 2 |
| 1.4 ขั้นตอนและแผนการดำเนินงาน..... | 2 |
| 1.5 ประโยชน์ที่คาดว่าจะได้รับจากโครงการ | 3 |
| 1.6 งบประมาณของโครงการ..... | 3 |
| | |
| บทที่ 2 การใช้งานพีแอลซี มอเตอร์เกิร์ล และตัวรับรู้แบบใช้แสง | 4 |
| 2.1 พีแอลซี..... | 4 |
| 2.1.1 ส่วนประกอบของพีแอลซี | 6 |
| 2.1.2 ขั้นตอนการใช้งานพีแอลซี | 7 |
| 2.1.3 ภาษาที่ใช้ในการเขียนโปรแกรมพีแอลซี..... | 9 |
| 2.1.4 คำสั่งพื้นฐานของพีแอลซี | 9 |
| 2.2 ชุดทดลอง ET-BOARD V5.0 | 13 |
| 2.3 มอเตอร์ขับเคลื่อนในแบบจำลอง | 15 |
| 2.3.1 ส่วนประกอบของมอเตอร์กระแสตรง | 15 |
| 2.3.2 มอเตอร์เกิร์ล | 17 |
| 2.4 ตัวรับรู้แบบใช้แสง | 17 |

สารบัญ (ต่อ)

หน้า

| | |
|---|----|
| บทที่ 3 การออกแบบและสร้างแบบจำลองของระบบบรรจุส้ม..... | 20 |
| 3.1 การออกแบบขั้นตอนการทำงานของระบบ..... | 20 |
| 3.2 การออกแบบและสร้างแบบจำลองของระบบบรรจุส้ม..... | 21 |
| 3.2.1 ส่วนลำเลียงกล่อง..... | 21 |
| 3.2.2 ส่วนลำเลียงส้ม..... | 22 |
| 3.3 การควบคุมระบบบรรจุส้ม..... | 25 |
| 3.3.1 การเขียนโปรแกรมควบคุมพีเออลซี..... | 25 |
| 3.3.2 การเชื่อมต่อชุดทดลอง ET-BOARD V5.0 กับอุปกรณ์ภายนอก | 30 |
| 3.4 ส่วนแสดงผล..... | 31 |
| | |
| บทที่ 4 ผลการทดสอบและการวิเคราะห์ผล | 34 |
| 4.1 การลำเลียงส้มออกจากถาด | 34 |
| 4.2 การลำเลียงในส่วนสายพาน | 35 |
| 4.3 การลำเลียงส้มในส่วนเก็บ..... | 36 |
| 4.4 การทดสอบการทำงานของแบบจำลอง | 37 |
| | |
| บทที่ 5 สรุปผลและข้อเสนอแนะ | 39 |
| 5.1 สรุปผลการดำเนินงาน..... | 39 |
| 5.2 ปัญหาและแนวทางการแก้ไข | 39 |
| 5.3 แนวทางในการพัฒนาต่อไป..... | 40 |
| | |
| เอกสารอ้างอิง | 41 |
| | |
| ภาคผนวก ก รายละเอียดข้อมูลของทรานซิสเตอร์หมายเลข 2N3055 | 42 |
| ภาคผนวก ข รายละเอียดข้อมูลของรีเลย์กำลังหมายเลข HRS4(H) | 46 |
| ภาคผนวก ค รายละเอียดข้อมูลของไอซีตัวบันท้ายเลข CD4026B..... | 50 |
| ภาคผนวก ง รายละเอียดข้อมูลของไอซีตัวคุณค่าแรงดันหมายเลข LM7805..... | 60 |
| | |
| ประวัติผู้ดำเนินโครงการ..... | 71 |

สารบัญตาราง

| ตารางที่ | หน้า |
|---|------|
| 1.1 ขั้นตอนและแผนการดำเนินงานของโครงการ..... | 2 |
| 2.1 การเปรียบเทียบระหว่างวงจรควบคุมที่ใช้พีแอลซีกับวงจรรีเลอร์..... | 5 |
| 2.2 ข้อมูลของชุดทดลอง ET-BOARD V5.0 ในรูปแบบพีแอลซี..... | 14 |



สารบัญรูป

| รูปที่ | หน้า |
|---|------|
| 2.1 ส่วนประกอบหลักและผังการทำงานของพีเอลซี..... | 6 |
| 2.2 ขั้นตอนการใช้งานพีเอลซี..... | 8 |
| 2.3 ชุดทดลอง ET-BOARD V5.0..... | 14 |
| 2.4 โครงสร้างและส่วนประกอบพื้นฐานของมอเตอร์กระแสตรง..... | 15 |
| 2.5 มอเตอร์เกียร์ 12 Vdc 50, 100 rpm แกนเพลา 6 mm..... | 17 |
| 2.6 แผนภาพการใช้งานตัวรับรู้..... | 18 |
| 2.7 ตัวรับรู้แบบใช้แสง ระยะตรวจจับ 0-10 cm..... | 18 |
| 2.8 ส่วนประกอบหลักของตัวรับรู้แบบใช้แสง..... | 19 |
| 3.1 ขั้นตอนการทำงานของระบบบรรจุสัมภาระพีเอลซี..... | 20 |
| 3.2 ส่วนลำเลียงกล่อง..... | 21 |
| 3.3 ส่วนลำเลียงสัมภาระ..... | 22 |
| 3.4 ถาดใส่สัมภาระอุปกรณ์ขึ้นเคลื่อน..... | 23 |
| 3.5 สายพาณลำเลียงสัมภาระอุปกรณ์ขึ้นเคลื่อน..... | 24 |
| 3.6 ส่วนเกลียวลำเลียงสัมภาระ..... | 25 |
| 3.7 ลำดับการทำงานของระบบลำเลียงสัมภาระ..... | 26 |
| 3.8 แผนภาพขั้นบันได..... | 27 |
| 3.9 แผนภาพวงจรการเชื่อมต่อชุดทดลอง ET-BOARD V5.0 กับอุปกรณ์ภายนอก..... | 30 |
| 3.10 วงจรสวิตซ์และรีเลย์ที่ต่อกับพอร์ตตินพุตและเอาท์พุตของ ET-BOARD V5.0..... | 31 |
| 3.11 การเชื่อมต่อวงจรแสดงผล 7 ส่วน..... | 32 |
| 3.12 ตัวคุณค่าแรงดันสำหรับรับสัมภาระไฟเลี้ยง 5 V..... | 32 |
| 3.13 ส่วนแสดงผล 7 ส่วน เพื่อแสดงจำนวนกล่องและสัมภาระ..... | 33 |
| 4.1 การลำเลียงสัมภาระออกจากตู้..... | 34 |
| 4.2 การลำเลียงสัมภาระในส่วนสายพาณ..... | 35 |
| 4.3 การลำเลียงสัมภาระในส่วนเกลียว..... | 36 |

บทที่ 1

บทนำ

1.1 ที่มาและความสำคัญของโครงการ

ในปัจจุบันสินค้าอุปโภคและบริโภคจำนวนมากถูกจัดในบรรจุภัณฑ์ก่อนนำส่งไปยังจุดขาย ซึ่งบรรจุภัณฑ์มีประโยชน์ในการห่อหุ้นสินค้า รวบรวมสินค้าไว้ด้วยกัน ป้องกันความเสียหาย และความเสื่อมคุณภาพของสินค้าจากน้ำ ความร้อน ความชื้น หรือแรงกระแทกกระเทือน รวมทั้ง อำนวยความสะดวกในการขนส่ง การตรวจสอบปริมาณสินค้า และการคำนวณราคาร่วมของสินค้า โดยมีการนำเทคโนโลยีเข้ามาช่วยในการบรรจุสินค้าทั้งในภาคอุตสาหกรรมและเกษตรกรรมเพื่อ อำนวยความสะดวกและเพิ่มความรวดเร็วในการบรรจุ ส่งผลให้เกิดการพัฒนาสร้างอุปกรณ์เพื่อช่วย ในการบรรจุสินค้าขึ้นมากนับตามรูปแบบของสินค้า นั่นคือ ของแข็ง ของเหลว และก๊าซ ใน ปัจจุบันบรรจุภัณฑ์จึงถูกประยุกต์ใช้กับสินค้าหลากหลายชนิด เช่น ยาเม็ด ดิน ข้าว เมล็ดถั่วถั่วสี ผลไม้ น้ำดื่ม ยาสารพิษ ก๊าซเชิงพาณิชย์ เป็นต้น

ในทางปฏิบัติ การควบคุมกระบวนการบรรจุสินค้าสามารถใช้ตัวรับสัญญาณ (Sensor) ชนิดต่างๆ ร่วมกับวงจรควบคุมซึ่งประกอบขึ้นจากอุปกรณ์ได้หลายประเภท ได้แก่ วงจรรีเลย์และสวิตซ์แม่เหล็ก (Relay and magnetic contactor circuit) ในโครคอนโทรลเลอร์ (Microcontroller) และพีแอลซี (Programmable logic controller: PLC) อย่างไรก็ตาม ในปัจจุบันพีแอลซีได้รับความนิยมอยู่ นำมาใช้ควบคุมเครื่องจักรในกระบวนการต่างๆ โดยเฉพาะในภาคอุตสาหกรรมเนื่องจากระบบควบคุมมีขนาดเล็ก ใช้โปรแกรมแทนการเดินสายไฟ การเปลี่ยนแปลงวิธีการควบคุมจึงทำได้ง่าย เพิ่มความรวดเร็วในการออกแบบและติดตั้ง สามารถเชื่อมต่อกับอุปกรณ์ภายนอกได้หลากหลายชนิด ส่งผลให้สามารถประยุกต์ใช้ในงานที่ทั่วไปได้ดี

โครงการนี้จึงเกิดขึ้นจากแนวคิดในการประดิษฐ์เครื่องบรรจุสัมเพื่อส่งเสริมธุรกิจที่มี ฐานการผลิตมากจากภาคเกษตรกรรม และใช้พีแอลซีควบคุมกระบวนการบรรจุเพื่อเพิ่มความสะดวก ความแม่นยำ และความต่อเนื่องในการทำงาน รวมถึงลดการใช้แรงงานคน โดยระบบที่พัฒนาขึ้น สามารถดำเนินการสัมภาระในกล่องและควบคุมจำนวนผลสัมภาระที่มีในแต่ละกล่องให้เท่ากัน

1.2 วัตถุประสงค์ของโครงการ

โครงการนี้มีวัตถุประสงค์เพื่อประยุกต์ใช้พีแอลซีในการควบคุมการดำเนินการสัมภาระในกล่อง โดยสามารถกำหนดจำนวนผลสัมภาระที่ต้องการบรรจุลงในแต่ละกล่องได้

1.3 ขอบเขตของโครงการ

โครงการนี้ได้กำหนดขอบเขตการดำเนินงานดังนี้

- 1) ใช้พีแอลซีควบคุมการลำเลียงสัมภาระกล่อง
 - 2) สามารถควบคุมการบรรจุผลสัมภาระจำนวนเท่ากันในแต่ละกล่อง
 - 3) แสดงตัวเลขจำนวนผลสัมภาระในขณะลำเลียงลงในแต่ละกล่อง และจำนวนกล่องที่บรรจุเสร็จแล้ว
 - 4) สร้างแบบจำลองเพื่อนำเสนอรูปแบบการควบคุมที่ออกแบบขึ้น

1.4 ขั้นตอนและแผนการดำเนินงาน

โครงการนี้ได้กำหนดขั้นตอนและวางแผนการดำเนินงานดังตารางที่ 1.1

ตารางที่ 1.1 ขั้นตอนและแผนการดำเนินงานของโครงการ

1.5 ประโยชน์ที่คาดว่าจะได้รับจากโครงการ

ระบบบรรจุสัมภาระแบบขึ้นสามารถดำเนินการเพื่อบรรจุสัมภาระที่มีปริมาณเท่ากันในแต่ละกล่อง โดยยังสามารถประยุกต์ใช้บรรจุผลไม้หรือสินค้าที่มีลักษณะและขนาดใกล้เคียงกัน นอกจากนี้การใช้พีแอลซีในการควบคุมการลำเลียงน้ำทำให้เพิ่มความสะดวกสบายและประหยัดเวลาทำงานของเจ้าของธุรกิจ สามารถลดค่าใช้จ่ายเรื่องแรงงานคน

1.6 งบประมาณของโครงการ

| | |
|--|-------------------|
| 1) โครงสร้างแบบจำลองเครื่องบรรจุสัมภาระ | 6,400 บาท |
| 2) มอเตอร์เกียร์ 12 V 100 rpm | 590 บาท |
| 3) มอเตอร์เกียร์ 12 V 50 rpm 2 ตัว | 560 บาท |
| 4) ตัวรับรู้แบบใช้แสง 10 cm 2 ตัว | 1,300 บาท |
| 5) วงจรควบคุมการบรรจุ | 600 บาท |
| 6) ค่าถ่ายเอกสารและเข้าเล่นปริญญาฯ พิพิธภัณฑ์ | 1,000 บาท |
| รวมเป็นเงินทั้งสิ้น (หนึ่งหมื่นสี่ร้อยห้าสิบบาทถ้วน) | <u>10,450 บาท</u> |

หมายเหตุ: ถ้าจะลืมทุกรายการ

บทที่ 2

การใช้งานพีเออลซี มอเตอร์เกียร์ และตัวรับรู้แบบใช้แสง

โครงการนี้เป็นการนำพีเออลซีมาใช้ควบคุมการทำงานของบรรจุสัมภารถ่อง จึงจำเป็นต้องมีความรู้ความเข้าใจในหลักการทำงานของพีเออลซี รูปแบบการทำงานของพีเออลซี ภาษาที่ใช้ในการควบคุมพีเออลซี เพื่อนำไปใช้ในการออกแบบวงจรควบคุมการบรรจุสัมภารถ่อง แล้วนำไปเขียนคำสั่งเพื่อป้อนให้พีเออลซี นอกจากนี้ยังได้เลือกใช้มอเตอร์กระแสตรง ในการขับเคลื่อนส่วนลำเลียงถ่อง และส่วนลำเลียงสัมภารถ่อง จำลองของระบบบรรจุสัมภารถ่องที่สร้างขึ้น และมีการนำตัวรับรู้มาใช้ในส่วนของการนับจำนวนสัมภารถ่อง การนับจำนวนถ่อง โดยรายละเอียดของพีเออลซี มอเตอร์ และตัวรับรู้ที่ใช้ในแบบจำลองระบบบรรจุสัมภารถ่องมีดังต่อไปนี้

2.1 พีเออลซี

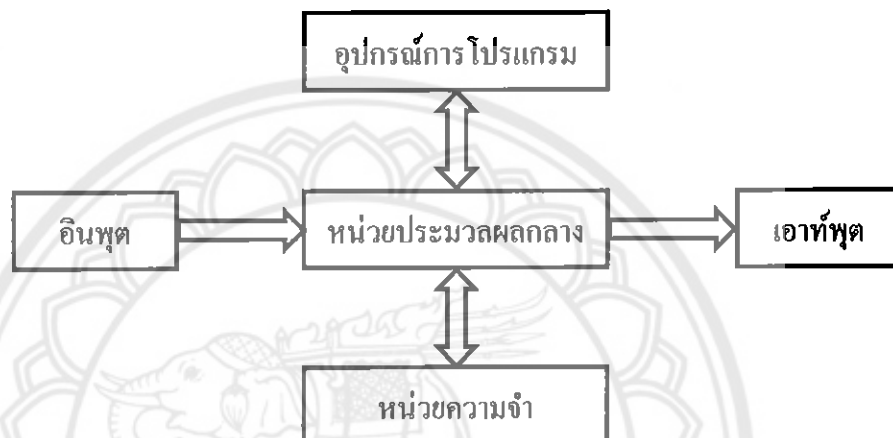
พีเออลซี (Programmable logic controller) คือ อุปกรณ์ควบคุมการทำงานของเครื่องจักรหรือระบบกระบวนการต่างๆที่มีลักษณะการทำงานเป็นแบบลอจิก คือเป็น “0” กับ “1” พีเออลซีเป็นอุปกรณ์ชนิดโซลิດสเตตที่ทำงานแบบลอจิก (Solid-state digital logic element) คล้ายกับหลักการทำงานของคอมพิวเตอร์ [1] การใช้พีเออลซีในการควบคุมการทำงานของเครื่องจักรหรืออุปกรณ์ต่างๆในโรงงานอุตสาหกรรมมีข้อได้เปรียบกว่าการใช้วงจรรีเลย์ซึ่งจำเป็นต้องเดินสายไฟ ดังนั้นในระบบรีเลย์มีอิมพีเดนซ์ที่ต้องเปลี่ยนกระบวนการผลิตหรือดำเนินการทำงานใหม่จึงต้องเดินสายไฟใหม่ทำให้เสียเวลาและค่าใช้จ่ายสูง ในขณะที่การใช้พีเออลซีสามารถเปลี่ยนกระบวนการผลิตหรือดำเนินการทำงานใหม่ได้โดยการเปลี่ยนโปรแกรมคุณลักษณะของวงจรควบคุมที่ใช้พีเออลซีเปรียบเทียบกับการใช้วงจรรีเลย์แสดงในตารางที่ 2.1 พีเออลซีสามารถใช้งานร่วมกับอุปกรณ์อื่นๆและยังสามารถต่อพีเออลซีหลายๆตัวเข้าด้วยกันเพื่อควบคุมการทำงานของระบบให้มีคุณภาพมากยิ่งขึ้น ส่งผลให้การใช้งานพีเออลซี มีความยืดหยุ่นมากกว่าการใช้งานวงจรรีเลย์ดังนั้นในปัจจุบันโรงงานอุตสาหกรรมต่างๆจึงหันมาใช้งานพีเออลซีมากยิ่งขึ้น [1]

ตารางที่ 2.1 การเปรียบเทียบระหว่างจุดเด่นของระบบควบคุมที่ใช้พีแอลซีกับวงจรรีเล็กซ์ [2, 3]

| ประเภท | พีแอลซี | วงจรรีเลย์ |
|--|---|---|
| ระบบควบคุม | สามารถปรับเปลี่ยนแก้ไขเพิ่มเติมได้ยาก | ปรับเปลี่ยนแก้ไขเพิ่มเติมทำได้ยาก |
| การซ่อนหรือการแก้ไข | ทำได้ง่าย | ทำได้ยาก |
| การติดตั้งกับอุปกรณ์ภายนอก | ทำได้ง่าย | ทำได้ยาก |
| อายุการใช้งาน | มากกว่า เพราะส่วนของการเกลื่อนที่มีน้อย | น้อยกว่า เพราะมีส่วนของการเกลื่อนที่มาก |
| การติดต่อกับอุปกรณ์ภายนอก | ทำได้ง่าย การเดินสายไฟน้อย | ทำได้ช้ากว่า เพราะต้องเดินสายไฟยาวขึ้น |
| ความเร็วในการทำงาน | เร็ว | ช้า |
| ขนาด | เล็ก | ใหญ่ |
| สัญญาณรับ�� | ดี | ดีมาก |
| การติดตั้ง | ใช้เวลาไม่มาก | ใช้เวลาไม่นาน |
| การทำงานกับระบบชั้บช้อน | ง่าย สะดวก | ยาก ต้องใช้รีเลย์จำนวนมาก |
| ราคาค่าใช้จ่าย | ต่ำกว่า | สูงกว่า |
| ความทนทานต่อสัญญาณรบกวน | ดี | ดีมาก |
| การออกแบบระบบ | ออกแบบง่าย | มีความซับซ้อนในการออกแบบ |
| การเดินสายไฟ | เชื่อมโปรแกรมแทนการเดินสายไฟ | เดินสายไฟระหว่างรีเลย์กับอุปกรณ์ต่างๆ |
| ความสามารถในการเปลี่ยนแปลงลำดับการควบคุม | เปลี่ยนแปลงง่าย | เปลี่ยนแปลงยาก |

2.1.1 ส่วนประกอบของพีเออลซี

พีเออลซี เป็นอุปกรณ์คอมพิวเตอร์สำหรับใช้งานในอุตสาหกรรม ส่วนประกอบหลักของพีเออลซีแสดงได้ดังรูปที่ 2.1 ซึ่งประกอบด้วยหน่วยประมวลผลกลาง หน่วยความจำ หน่วยรับข้อมูล หรืออินพุต หน่วยส่งข้อมูลหรือเอาท์พุต และหน่วยป้อนโปรแกรม สำหรับพีเออลซีขนาดเล็ก ส่วนประกอบทั้งหมดของพีเออลซีรวมกันในเครื่องเดียว แต่ถ้าเป็นขนาดใหญ่สามารถแยกออกเป็นชั้นส่วนย่อยมาประกอบกันได้ [2, 4]



รูปที่ 2.1 ส่วนประกอบหลักและผังการทำงานของพีเออลซี [2, 4]

1) หน่วยประมวลผลกลาง

หน่วยประมวลผลกลาง หรือซีพี尤 (Central processing unit: CPU) มีหน้าที่นำโปรแกรมผู้ใช้งานปฏิบัติความคุณการติดต่อรับส่งข้อมูลกับอุปกรณ์อินพุตและเอาท์พุตและหน่วยความจำ ซีพี尤ทำหน้าที่คำนวณและความคุณซึ่งเปรียบเสมือนสมองของระบบ ภายในซีพี尤ประกอบไปด้วยวงจรลوجิกเกทหลากหลายชนิดและมีไมโครโปรเซสเซอร์ใช้แทนอุปกรณ์เพื่อออกแบบวงจร [2, 4]

2) หน่วยความจำ

หน่วยความจำของพีเออลซีทำหน้าที่เก็บรักษาโปรแกรมและข้อมูลที่ใช้ในการทำงาน โดยขนาดของหน่วยความจำถูกแบ่งออกเป็นบิตข้อมูล ภายในหน่วยความจำ 1 บิต มีค่าสภาวะทางลوجิก “0” หรือ “1” แต่ถ้าต้องกันขึ้นอยู่กับคำสั่ง โดยหน่วยความจำมี 2 ประเภท คือ แรม (Random access memory: RAM) และรอม (Read only memory: ROM) โดยรอมมี 2 ชนิด คือ อีพรอม (Erasable programmable read-only memory: EPROM) และอีอีพรอม (Electrically erasable programmable read-only memory: EEPROM)

เราสามารถแบ่งส่วนของหน่วยความจำออกเป็น 2 ส่วนใหญ่ๆ กือหน่วยความจำระบบเป็นส่วนที่ใช้เก็บโปรแกรมควบคุมการทำงานของเครื่องพีเออลซีในการติดต่อกับผู้ใช้ การแปลงคำสั่งบูลลินที่ผู้ใช้เขียนขึ้นให้อยู่ในรูปแบบที่หน่วยประมวลผลเข้าใจ โดยหน่วยความจำในส่วนนี้ผู้ใช้ไม่สามารถเปลี่ยนแปลงแก้ไขได้จึงอยู่ในรูปของrogramหรืออีพรอม อีกส่วนหนึ่ง กือหน่วยความจำผู้ใช้ ซึ่งใช้เก็บโปรแกรมบูลลินที่ผู้ใช้เขียนขึ้นเพื่อนำไปปฏิบัติงานตามเงื่อนไขต่างๆ ที่กำหนดไว้โดยเป็นหน่วยความจำแบบแรมหรือรอม [2, 4]

3) อินพุต

อินพุตทำหน้าที่รับค่าทางไฟฟ้าของอุปกรณ์ภายนอก แล้วเปลี่ยนเป็นสภาวะทางตรรกะเพื่อเก็บไว้ในหน่วยความจำระบบที่กำหนดเป็นส่วนอินพุต โดยมีค่าเป็น “1” เมื่ออุปกรณ์อินพุตอยู่ในสภาวะปิดวงจรไฟฟ้าและมีค่าเป็น “0” เมื่ออุปกรณ์อินพุตอยู่ในสภาวะเปิดวงจรไฟฟ้า [5]

4) เอาท์พุต

หน่วยเอาท์พุตรับสภาวะทางตรรจากหน่วยความจำระบบที่กำหนดเป็นส่วนของเอาท์พุต แล้วเปลี่ยนเป็นค่าทางไฟฟ้าเพื่อควบคุมอุปกรณ์ภายนอกอีกทีหนึ่ง โดยค่า “1” หมายถึงการต่อวงจรไฟฟ้า ส่วนค่า “0” หมายถึง การตัดวงจรไฟฟ้า [5]

5) อุปกรณ์การโปรแกรม

หน้าที่ของอุปกรณ์การโปรแกรม กือ ควบคุมโปรแกรมของผู้ใช้ป้อนลงในหน่วยความจำของพีเออลซี นอกจากนั้นแล้วยังทำหน้าที่ติดต่อระหว่างผู้ใช้กับพีเออลซี เพื่อให้ผู้ใช้สามารถตรวจสอบการทำงานของพีเออลซี [2, 4]

2.1.2 ขั้นตอนการใช้งานพีเออลซี

การใช้งานพีเออลซีมีขั้นตอนการใช้งานโดยสรุปดังผังงานในรูปที่ 2.2 เริ่มต้นโดยการกำหนดอินพุตและเอาท์พุต กือ การกำหนดตำแหน่งของสวิตช์ปุ่มกดหรือแมกเนติกว่าอยู่ตำแหน่งที่เท่าใด เช่น สวิตช์ปุ่มกดต่อเข้าที่ขาต่อสาย 1 กีกีบีท 00 เป็นต้น แล้วทำการเดินสายไฟจากอินพุตเข้าที่ขาต่อสายด้านอินพุตและต่อสายด้านเอาท์พุต เข้าที่ໂ Holt จากนั้นเขียนโปรแกรมลงในชิปซึ่งของพีเออลซี เขียนตามขั้นตอนการทำงานของเครื่องให้อยู่ในรูปแผนภาพขั้นบันได โดยหลังจากเขียนโปรแกรมจนแล้ว ให้ทำการสั่งโปรแกรมทำงาน กือ ให้เครื่องจัดทำงานตามขั้นตอนที่เขียนไว้ในโปรแกรมตามต้องการและคุณภาพการทำงานที่หน้างอก [6]



รูปที่ 2.2 ขั้นตอนการใช้งานพีเอลซี [2, 5]

2.1.3 ภาษาที่ใช้ในการเขียนโปรแกรมพีเออลซี

การควบคุมพีเออลซีให้ทำงานตามความต้องการ ได้นั้นต้องมีภาษาหรือคำสั่งที่ใช้ในการเขียน โปรแกรมควบคุมเครื่องพีเออลซี ซึ่งมีอยู่หลายภาษาด้วยกัน เช่น ภาษาลadderd (Ladder diagram) ภาษาบูลเดิน (Boolean language) ภาษาบล็อก (Function block diagram) แต่ภาษาที่ใช้งานได้ง่ายและเป็นที่นิยมกันมากที่สุดคือ แผนภาพขั้นบันได และภาษาบูลเดิน โดยทั่วไปจะทำการเขียน แผนภาพขั้นบันไดขึ้นมาก่อน แล้วจึงแปลเป็นภาษาบูลเดินเพื่อป้อนเข้าสู่เครื่องพีเออลซี [5]

แผนภาพขั้นบันไดเป็นภาษาเชิงรูปภาพและถูกออกแบบมาเพื่อให้ง่ายต่อการใช้งาน ประกอบด้วยสัญลักษณ์หน้าสัมผัสซึ่งมีลักษณะคล้ายวงจรเรียงลำดับ ให้ถูกต้อง แผนภาพขั้นบันไดมีลักษณะคล้ายขั้นบันไดที่มี การอ่านหรือเขียนจากบนลงล่าง ส่วนภาษาบูลเดินเป็นภาษาพื้นฐานของพีเออลซี มีรูปแบบหรือการ สื่อความหมายที่เป็นตรรกะที่เข้าใจง่าย เช่น LD, OR, NOT, และ OUT เป็นต้น ในขณะที่ภาษา บล็อกเป็นการเขียน โปรแกรมคำสั่งของพีเออลซี โดยใช้สัญลักษณ์ต่างๆ คล้ายแผนภาพขั้นบันไดแต่ จัดไว้ในบล็อกรูปสี่เหลี่ยม ภาษาบล็อกนี้ใช้กับคำสั่งหรือการควบคุมที่ค่อนข้างซับซ้อนหรือมีข้อมูล ที่เป็นตัวเลขเกี่ยวข้อง เช่นการคำนวณทางคณิตศาสตร์ และการควบคุมตำแหน่งเครื่องจักร โดยปกติ ภาษาบล็อกมักใช้ร่วมกับแผนภาพขั้นบันได คำสั่งภาษาบล็อกแบ่งออกเป็น 4 กลุ่ม คำสั่งคือ คำสั่ง หน่วงเวลาและนับจำนวน คำสั่งคำนวณทางคณิตศาสตร์ คำสั่งการขัดเก็บข้อมูล คำสั่งการ เก็บข้อมูล

2.1.4 คำสั่งพื้นฐานของพีเออลซี

คำสั่งพื้นฐานเพื่อนำไปใช้ในการเขียน โปรแกรมต่อไป คำสั่งพื้นฐานของพีเออลซีได้แก่

1) ภาษาบูลเดิน: NOT

แผนภาพขั้นบันได:

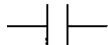
NOT เป็นการกระทำล็อก NOT กับค่าสภาวะปัจจุบัน โดยสามารถเบร์ยนได้กับ หน้าสัมผัสปกติปิดของอุปกรณ์คือ มีสภาวะ ON อยู่ตลอดเวลา จึงเบร์ยนได้กับมีกระแสไฟล์ผ่านไป ได้ตลอดเวลา ใช้ร่วมกับคำสั่ง LOAD, AND และ OR ซึ่งจะกล่าวถึงต่อไป

2) ภาษาบูลเดิน: LD (LOAD)

แผนภาพขั้นบันได:

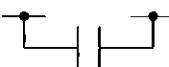
LD เป็นการนำค่าสภาวะที่กำหนดเข้ามาสู่โปรแกรม โดยต้องกำหนดหมายเลขหรือ ตำแหน่งให้กับอุปกรณ์

3) ภาษาบูลีน: AND

แผนภาพขั้นบันได: 

AND เป็นการนำค่าสภาวะของอุปกรณ์ต่างๆที่กำหนดเข้ามาทำลอจิก AND กัน โดยใช้เมื่อเงื่อนไขที่ต้องการเกิดขึ้นในลักษณะของการอนุกรมตั้งแต่สองขึ้นไป

4) ภาษาบูลีน: OR

แผนภาพขั้นบันได: 

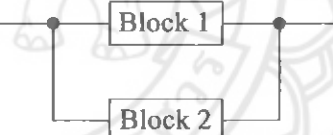
OR เป็นการนำค่าสภาวะของอุปกรณ์ต่างๆที่กำหนดเข้ามาทำลอจิก OR กัน โดยใช้เมื่อเงื่อนไขที่ต้องการเกิดขึ้นในลักษณะของการบานานตั้งแต่สองขึ้นไป

5) ภาษาบูลีน: AND LD

แผนภาพขั้นบันได: 

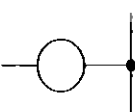
AND LD เป็นการนำค่าสภาวะที่เก็บรักษาไว้มาทำลอจิก AND กัน โดยใช้เมื่อเงื่อนไขของการบานานสองชุดหรือมากกว่า เกิดขึ้นในลักษณะที่อนุกรมกัน

6) ภาษาบูลีน: OR LD

แผนภาพขั้นบันได: 

OR LD เป็นการนำค่าสภาวะที่เก็บรักษาไว้มาทำลอจิก OR กัน โดยใช้เมื่อเงื่อนไขของการอนุกรมสองชุด หรือมากกว่าเกิดขึ้นในลักษณะบานานกัน

7) ภาษาบูลีน: OUT

แผนภาพขั้นบันได: 

OUT ใช้เพื่อควบคุมสถานะของอุปกรณ์ปลายทางให้มีการทำงานตามเงื่อนไขข้างหน้า โดยใช้เมื่อต้องการนำค่าสภาวะออกมายังอุปกรณ์ปลายทางต่างๆ

8) ภาษาบูลีน: DIFU (FUNC 13)

แผนภาพขั้นบันได: 

DIFU ใช้เมื่อต้องการให้การทำงานของเอาท์พุตเป็นแบบพัลส์ที่เกิดขึ้นในความเวลาสั้นๆ โดยที่เอาท์พุต ON เมื่อสถานะที่เข้ามาเปลี่ยนจาก OFF ไปเป็น ON

9) ภาษาบูลีน: DIFD (FUNC 14)



DIFD ใช้เมื่อต้องการให้การทำงานของเอาท์พุต เป็นแบบพัลส์ที่เกิดขึ้นในความเวลาสั้นๆ โดยที่เอาท์พุต ON เมื่อสถานะที่เข้ามาเปลี่ยนจาก ON ไปเป็น OFF

10) ภาษาบูลีน: LATCH (FUNC 11)



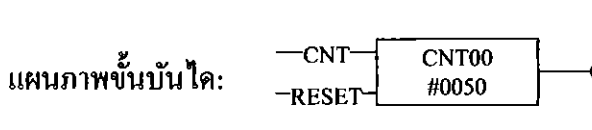
LATCH เป็นคำสั่งที่มีการทำงานเหมือน RS Flip-flop คือมีอินพุตหนึ่งที่ใช้สำหรับให้อeaท์พุตเกิดการค้างค่าสภาวะที่ ON และอีกอินพุตหนึ่งสำหรับให้อeaท์พุตที่ถูกค้างค่าสภาวะ ON เปลี่ยนเข้าสู่สถานะ OFF

11) ภาษาบูลีน: TIM (TIMER)



TIM เป็นการเรียกใช้ตัวตั้งเวลา ซึ่งสามารถหน่วงเวลาการทำงานหรือกำหนดค่าเวลาได้โดยสามารถตั้งเวลาการหน่วงตั้งแต่ 000.0-999.9 s การกำหนดเวลาการหน่วงให้แก่เครื่องได้นั้น ต้องทราบว่า 1 หน่วยมีค่า 100 ms เช่น เมื่อต้องการหน่วงเวลาไป 5 s หลังจากเทียบค่าจะได้ว่า 5 s มีค่าเท่ากับ 50 หน่วย หลังจากนั้นเราจะนำค่านี้ป้อนให้แก่เครื่อง 0050

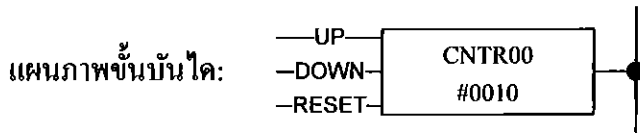
12) ภาษาบูลีน: CNT (COUNTER)



CNT เป็นตัวบันทุณิชรับสัญญาณที่ CNT และบกเดิกการนับที่รีเซ็ต โดยที่ตัวเลข #0005 เป็นตัวเลขที่เรากำหนดให้ทำการนับซึ่งเป็นค่าเท่าใดก็ได้ เมื่อสัญญาณมีการเปลี่ยนแปลงหนึ่งครั้ง

จะนับเพิ่มหนึ่งจนกว่าสัญญาณเปลี่ยนแปลงครบทามจำนวนที่เรากำหนด ตัวนับจะหยุดนับและต้องทำการรีเซ็ตใหม่เพื่อให้ตัวนับรับต่อไป

13) ภาษาบูลีน: CNTR (REVERSIBLE COUNTER) (FUNC 12)



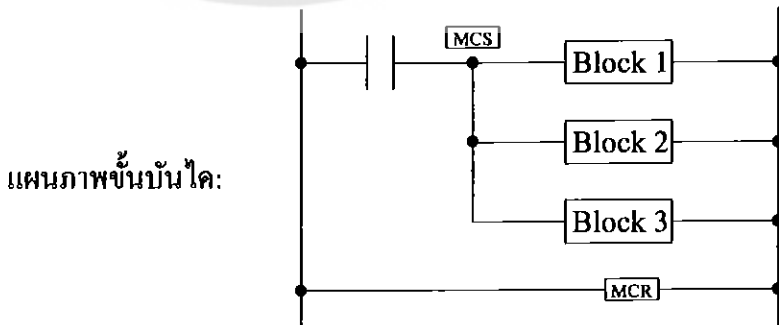
REVERSIBLE COUNTER หรือเรียกอีกชื่อหนึ่งว่า UP-DOWN COUNTER ทั้งนี้เพราะทำการนับขึ้นในกรณีที่มีสัญญาณเข้าที่ UP INPUT และทำการนับลงเมื่อมีสัญญาณเข้าที่ DOWN INPUT ซึ่งลักษณะของการนับมีการนับขึ้นและลงโดยอัตโนมัติ กล่าวคือ เมื่อมีสัญญาณอินพุตเข้าที่ UP INPUT 2 ครั้ง ก็จะขึ้นสองและถ้ามีสัญญาณเข้าที่ DOWN INPUT 1 ครั้ง จะได้ว่าจำนวนสุทธิเป็น 1 แต่ถ้ามีสัญญาณเข้าที่ขา RESET จะทำให้ค่าจากการนับนั้นค่า 0000 ทันที

14) ภาษาบูลีน: SFT (SHIFT)



SFT เป็นคำสั่งที่ใช้เลื่อนข้อมูลของเอาท์พุต โดยเลื่อนจากบิตที่ 0 ไป habitats ที่ 7 โดยมีขา CLK ควบคุมการเลื่อนข้อมูล เมื่อ DATA INPUT มีสภาวะ ON SFT 07 ก็จะเริ่มเข้าสู่การนับและเมื่อ CLK INPUT มีสภาวะ ON SFT 07 จะเลื่อนข้อมูลจากบิตแรกสุด และเมื่อ CLK INPUT มีสภาวะ ON อีก SFT 07 จะเลื่อนข้อมูลไป habitats ดังไป

15) ภาษาบูลีน: MCS (FUNC 02), MCR (FUNC 03)



MCS ถูกใช้เมื่อต้องการสั่งให้มีการควบคุมหลัก ส่วน MCR เป็นตัวกำหนดจุดสิ้นสุดของ การควบคุมหลัก

16) ภาษาบูล็อก: JMP (FUNC 04), JME (FUNC 05)

JMP ใช้ในการมีการขยับล็อกการทำงาน โดยที่ถ้าสภาวะที่ให้กับ JMP เกิด OFF ขึ้น โปรแกรมจะกระโดดไปทำงานที่ตำแหน่งนั้นๆ ส่วน JME ไม่ใช้ในการปิดการทำงานของ JMP โดย การใช้งานนั้นต้องการกำหนดลำดับที่ของการ JMP ไว้ด้วย ซึ่งมีการ JMP ทั้งหมด 8 JMP

17) ภาษาบูล็อก: NOP

NOP หรือ NO OPERATION คือคำสั่งที่ไม่มีการให้เกิดการทำงานใด บางครั้งมีการใช้ คำสั่ง NOP เพื่อให้เวลาสแกนเพิ่มขึ้นเพื่อประ โภชน์ในการปรับค่าเวลาในแต่ละรอบ

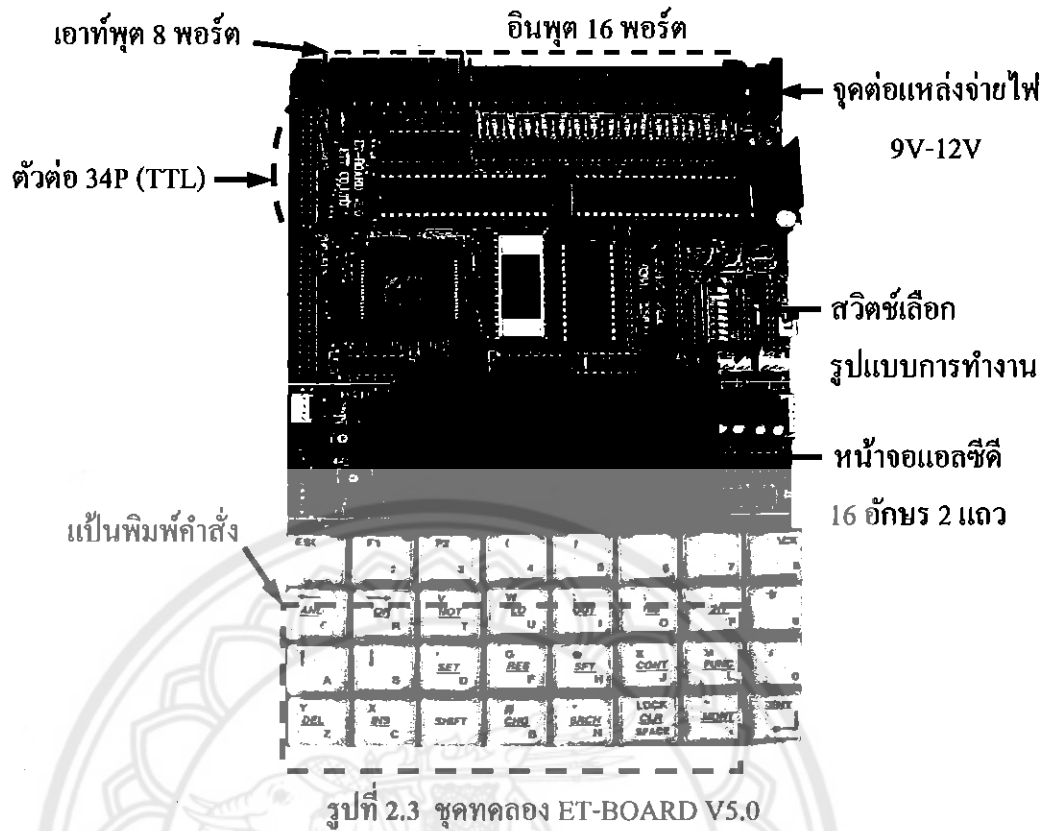
18) ภาษาบูล็อก: END (FUNC 01)

END ใช้ในการทำงานของโปรแกรม ซึ่งจำเป็นต้องได้คำสั่งนี้ทุกครั้งเพื่อบอกให้เครื่อง ทราบถึงตำแหน่งที่สิ้นสุดการทำงานในการสแกนรอบนั้นๆ [5]

2.2 ชุดทดลอง ET-BOARD V5.0

ลักษณะของชุดทดลอง ET-BOARD V5.0 แสดงในรูปที่ 2.3 ผลิตโดยบริษัท อีทีที จำกัด มีความสามารถในการทำงานเป็นพีเออลซี โดยสามารถป้อนคำสั่งควบคุม ได้ที่ชุดทดลองหรือผ่าน ทางคอมพิวเตอร์ เมื่อต้องการใช้งานในรูปแบบพีเออลซี ให้ทำการปรับสวิตช์เลือกรูปแบบการ ทำงาน (Dip switch) ที่ชุดทดลอง โดยปรับสวิตช์หมายเลข 2 ให้อยู่ที่ตำแหน่ง ON เพียงตัวเดียว รายละเอียดของ ET-BOARD V5.0 แสดงในตารางที่ 2.2

ชุดทดลอง ET-BOARD V5.0 มีตำแหน่งอินพุต 4 ตำแหน่ง โดยตำแหน่งที่เรียกใช้งานคือ 00 และ 01 ซึ่งแต่ละตำแหน่งมี 8 บิต คั่งนี้จึงมีอินพุต 16 บิต และที่เหลืออีก 2 ตำแหน่งเป็นส่วน ขยาย คือ ตำแหน่งที่ 02 และ 03 แต่สัญญาณที่มาจากชุดนี้ต้องเป็นสัญญาณที่ทีแอล ทางด้าน ตำแหน่งเอาท์พุตมี 2 ตำแหน่ง โดยการเรียกเอาท์พุตมาใช้งานอยู่ที่ตำแหน่ง 07 และ 08 ซึ่ง 1 ตำแหน่งมี 8 บิต โดยตำแหน่งที่ 07 เป็นเอาท์พุตที่แรงดัน 10 V หรือ 24 V ให้กระแสไฟล์ผ่านได้ 100 mA ส่วนในตำแหน่ง 08 เป็นส่วนขยายซึ่งมีระดับสัญญาณเป็นทีทีแอล ส่วนตำแหน่งรีเลย์ ภายในนั้นกำหนดตำแหน่งด้วยตัวเลข 4 หลัก คือ หลักแรกเป็นตำแหน่งของรีเลย์ภายในແล็กตาน ด้วยบิต ซึ่งมี 19 ตำแหน่งๆ ละ 8 บิต คั่งนี้รีเลย์ภายในจึงมีทั้งหมด 152 จุด รีเลย์ภายในไม่มี หน้าสัมผัสใช้งานจริง แต่เป็นหน่วยความจำหรือรีจิสเตอร์เก็บค่า



ตารางที่ 2.2 ข้อมูลของชุดทดลอง ET-BOARD V5.0 ในรูปแบบพีเอลซี [2, 5]

| ภาษาที่ใช้ป้อนคำสั่ง | ภาษาอูกลีน |
|--------------------------|---|
| คำสั่งที่ใช้ควบคุม | 8 คำสั่งพื้นฐาน 14 คำสั่งพิเศษ 32 ปุ่มกด |
| หน้าจอแสดงผล | แอลซีดี 16 อักษร 2 แถว |
| ความจุของโปรแกรม | 3 kbyte |
| หน่วยความจำ | แรม อีฟรอม อีอีฟรอม |
| อินพุต | 16 จุด แบบ 24 V หรือ 10 V 16 จุด ในระดับสัญญาณ ทีทีแอล |
| เอาท์พุต | 8 จุด แบบ 24 V หรือ 10 V 8 จุด ในระดับสัญญาณ ทีทีแอล |
| ตำแหน่งรีเลย์ภายใน | 152 จุด |
| ตำแหน่งรีเลย์ตัวตั้งเวลา | 48 จุด นับเวลาได้ตั้งแต่ 0-999.9 s |
| ตำแหน่งรีเลย์ตัวนับ | 48 จุด นับได้ 0-9999 |
| ตำแหน่งรีเลย์พิเศษ | 6 จุด |

คำແໜ່ງເງື່ອເລີຍພິເສດຍ ເປັນເງື່ອເລີຍທີ່ມີລັກນະພິເສດຍ ໂດຍນີ້ຕຳແໜ່ງຕ່າງໆເຮັມຕັ້ງແຕ່ຕຳແໜ່ງ 2800 ດຶງ 2805 ເປັນເງື່ອເລີຍທີ່ກໍາຫນດຄວາມດີ່ທີ່ 10 ms 100 ms 500 ms ແລະ 1 s ຕາມລຳດັບ ໂດຍທີ່ຕຳແໜ່ງ 2804 ເປັນເງື່ອເລີຍທີ່ເປີດ ON ດ້ວຍເວລາ 1 ຮອບການທຳງານຂອງການເຮັມໂປຣແກຣມໃນຮອບຂອງການທຳງານ ກັ້ງແຮກແລະຕຳແໜ່ງທີ່ 2805 ຊົ່ງປົກຕິຈະເປີດ OFF ເມື່ອທີ່ໃຫ້ປັບ ON ທຳໄໝເອົາຫຼຸດທັງໝົມທີ່ຕ່ອກກັບ ອຸປະກລົມໄຟຟ້າໃນມີກະແສໄໝລັດເຕີ່ສ່ານະຂອງເອົາຫຼຸດຕ່າງໆບັນທຶກການປົກຕິຕາມໂປຣແກຣມ

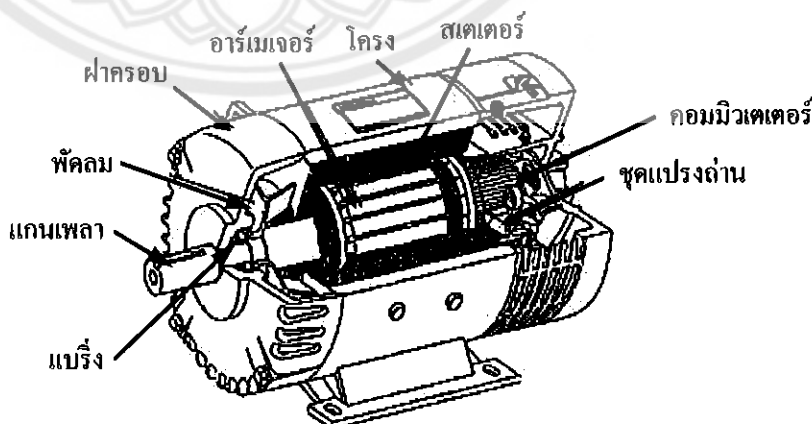
ຕຳແໜ່ງຕັ້ງເວລາແລະຕົວນັບ ໃນການເຮັກໃໝ່ປະກອບຄົວຢ່າງຕົວເລີນ 2 ລັກ ສືບຕົ້ນມີຕຳແໜ່ງ ໄນມີສ່ວນທີ່ເປັນບົດຊື່ງນີ້ຍ່າງລະ 48 ຕຳແໜ່ງ ໂດຍທີ່ຕັ້ງເວລາມີຂໍ້ເຮັກໃໝ່ TIM ໃຊ້ເປັນຕົວນັບເວລາ ແບບນັບຄອຍຫລັງໄດ້ຕັ້ງແຕ່ 0-999.9 s ມີຕຳແໜ່ງເຮັກໃໝ່ຈາກ 00-47 ສ່ວນຕົວນັບມີດ້ວຍກັນ 2 ຂົນຕົກ ມີຂໍ້ເຮັກໃໝ່ CNT ໃຊ້ນັບສູງຜູາພືນຫຼຸດແບບນັບລົງແລະ CNTR ທຳງານໄດ້ທັງນັບຂຶ້ນແລະນັບລົງ ມີ ຕຳແໜ່ງເຮັກໃໝ່ຈານຮ່ວມກັນຄື 00-47 [5]

2.3 ນອເຕອັນຂັບເຄີ້ອນໃນແບບຈຳຄອງ

ໃນການຂັບເຄີ້ອນສ່ວນດຳເລີຍກລ່ອງແລະສ່ວນດຳເລີຍສົ່ມຕ້ອງໃຊ້ນອເຕອັນທີ່ມີຄວາມເງື່ອຂອບຕໍ່ແລະມີແຮງປົກສູງເພື່ອຂັບໄລດົກຊື່ງຂຶ້ນອູ່ກັບວັດຖຸທີ່ໃຊ້ທຳໂກງສ່ຽງຂອງແບບຈຳຄອງແລະນ້າຫັນກອງສົ່ມ ໃນໂຄງງານນີ້ໄດ້ເລືອກໃຊ້ນອເຕອັນກະແສຕຽງ (DC motor) ເນື່ອຈາກໄທແຮງປົກສູງແລະຈ່າຍຕ່ອງການຄວບຄຸມ

2.3.1 ສ່ວນປະກອບຂອງນອເຕອັນກະແສຕຽງ

ນອເຕອັນກະແສຕຽງນີ້ໃຊ້ໃນການທີ່ຕົ້ນກວນຄຸມຄວາມເງື່ອ ເຊັ່ນ ໄລິຟີ໌ ຮດໄຟຟ້າ ໄລໆ ໂດຍນີ້ໂຄງງານແລະສ່ວນປະກອບພື້ນຖານແສດງດັ່ງຮູບປັບ 2.4



ຮູບປັບ 2.4 ໂຄງສ່ຽງແລະສ່ວນປະກອບພື້ນຖານຂອງນອເຕອັນກະແສຕຽງ

ທີ່ມາ: www.kmitl.ac.th

ส่วนประกอบหลักของมอเตอร์กระแสตรงมีดังนี้

- 1) ชุด漉ดสนามแม่เหล็ก (Field coil) คือชุด漉ดที่ถูกพันอยู่กับขั้วแม่เหล็กที่ยึดติดกับโครงนอเตอร์ ทำหน้าที่ให้กำเนิดขั้วแม่เหล็กเหนือและใต้แทนแม่เหล็กถาวร ชุด漉ดที่ใช้เป็นชุด漉ดอาจอาบน้ำยาฉนวน สนามแม่เหล็กเกิดขึ้นเมื่อจ่ายแรงดันไฟฟ้าลงให้มอเตอร์
- 2) ขั้วแม่เหล็ก (Pole pieces) คือแกนสำหรับรองรับชุด漉ดสนามแม่เหล็ก ถูกยึดติดกับโครงนอเตอร์ด้านใน ขั้วแม่เหล็กถูกสร้างมาจากแผ่นเหล็กอ่อนบางๆ อัดซ้อนกัน (Lamination sheet steel) เพื่อลดการเกิดกระแสไฟลุวน (Eddy current) ที่จะทำให้ความเข้มของสนามแม่เหล็กลดลง ขั้วแม่เหล็กทำหน้าที่ให้กำเนิดขั้วสนามแม่เหล็กที่มีความเข้มสูงสุดแทนขั้วสนามแม่เหล็กถาวร ผิวด้านหน้าของขั้วแม่เหล็กทำให้ได้รับกับอาร์เมเจอร์พอดี
- 3) โครงนอเตอร์ (Motor frame) คือส่วนเปลือกหุ้มภายนอกของมอเตอร์และยึดส่วนอยู่กับที่ (Stator) ของมอเตอร์ไว้ภายในร่วมกับฝาปิดหัวท้ายของมอเตอร์ โครงนอเตอร์ทำหน้าที่เป็นทางเดินของเส้นแรงแม่เหล็กระหว่างขั้วแม่เหล็กให้เกิดสนามแม่เหล็กครบวงจร
- 4) อาร์เมเจอร์ (Armature) คือส่วนเคลื่อนที่ (Rotor) ถูกยึดติดกับเพลา (Shaft) และรองรับการหมุนด้วยที่ร่องรับการหมุน (Bearing) ตัวอาร์เมเจอร์ทำจากเหล็กแผ่นบางๆ อัดซ้อนกัน ถูกเช่าร่องออกเป็นส่วนๆ เพื่อไว้พันชุด漉ดอาร์เมเจอร์ (Armature winding) ชุด漉ดอาร์เมเจอร์เป็นชุด漉ดอาบน้ำยาฉนวน ร่องชุด漉ดอาร์เมเจอร์จะมีชุด漉ดพันอยู่และมีลิ่มไฟเบอร์กลาสแน่น ปิงชุด漉ดอาร์เมเจอร์ไว้ ปลายชุด漉ดอาร์เมเจอร์ต่อไว้กับคอมมิวเตเตอร์ อาร์เมเจอร์ผลักดันของสนามแม่เหล็กทั้งสองทำให้อาร์เมเจอร์หมุน
- 5) คอมมิวเตเตอร์ (Commutator) ถูกยึดติดเข้ากับอาร์เมเจอร์และเพลา ทำหน้าที่เป็นขั้วรับแรงดันไฟฟ้าที่จ่ายมาจากแบตเตอรี่เพื่อส่งไปให้ชุด漉ดอาร์เมเจอร์ โดยสร้างจากแท่งทองแดงแข็งประกอนเข้าด้วยกันเป็นรูปทรงกระบอก แต่ละแท่งทองแดงถูกแยกออกจากกันด้วยฉนวนไม้กี (Mica)
- 6) แปรงถ่าน (Brush) ทำหน้าที่รับแรงดันไฟฟ้าจากแหล่งจ่ายผ่านไปให้คอมมิวเตเตอร์ ถูกผลิตเป็นแท่งสี่เหลี่ยมจากคาร์บอนหรือแกรไฟต์ผสมผงทองแดง เพื่อให้แข็งและนำไฟฟ้าได้ดี มีสายตัวนำเชื่อมต่อกับแปรงถ่านเพื่อรับแรงดันไฟฟ้าที่จ่ายเข้ามา แปรงถ่าน [7]

2.3.2 มอเตอร์เกียร์

ในการสร้างแบบจำลองของระบบบรรจุส้มได้เลือกใช้มอเตอร์เกียร์ (Gear motor) ซึ่งเป็นมอเตอร์กระแสตรงเพาะสามารถควบคุมแรงบิดและความเร็วได้ รวมถึงการปรับความเร็วสามารถทำได้ในช่วงที่กว้าง และเหมาะสมสำหรับการใช้งานในระบบที่มีขนาดเล็ก มอเตอร์เกียร์ที่เลือกใช้ในการสร้างแบบจำลองของระบบบรรจุส้มถูกนำมาใช้เป็นตัวขับเคลื่อนหั้งในส่วนของการลำเลียงส้มและส่วนลำเลียงกล่อง มอเตอร์เกียร์ดังแสดงในรูปที่ 2.5 มีขนาดตั้งแต่ 6-120 W โดยสามารถทดสอบความเร็วรอบของมอเตอร์ได้ มีทั้งแบบธรรมดาและปรับรอบใช้กับงานตามที่ต้องการ การครอบส่งผลให้ความเร็วรอบในการหมุนของมอเตอร์เกียร์ลดลงแต่ทำให้แรงบิดเพิ่มขึ้น [8]

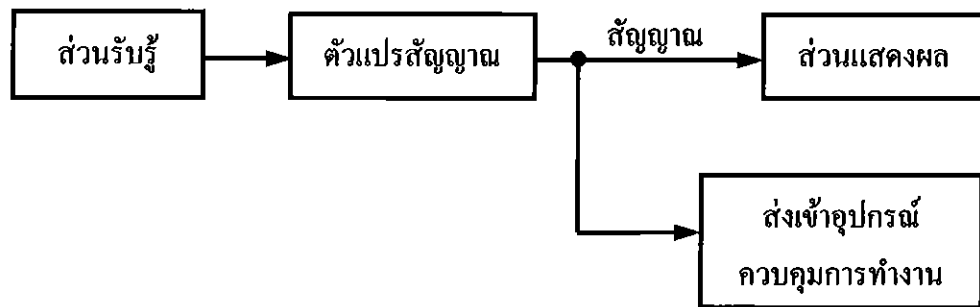


รูปที่ 2.5 มอเตอร์เกียร์ 12 Vdc 50, 100 rpm แกนเพล้า 6 mm

ที่มา: www.nattakit.com

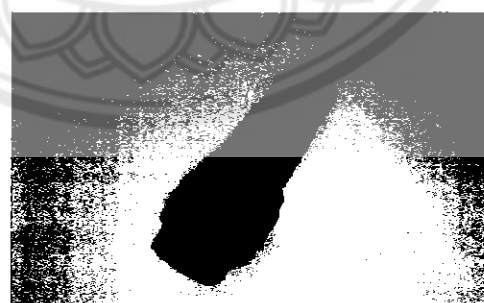
2.4 ตัวรับรู้แบบใช้แสง

ตัวรับรู้ (Sensor) ประกอบด้วยส่วนรับรู้ (Sensing part) ซึ่งทำหน้าที่ตรวจสอบวิมามของตัวแปรต่างๆ ที่ต้องการทราบค่า เช่น อุณหภูมิ การเคลื่อนที่ แสงสว่าง เป็นต้น แต่ส่วนรับรู้เพียงอย่างเดียวไม่สามารถบอกค่าที่ต้องการวัดได้ จึงจำเป็นต้องมีส่วนแปลงพลังงาน (Transducing part) ซึ่งทำหน้าที่แปลงสัญญาณที่ได้จากการตรวจจับมาเป็นปริมาณที่สามารถเข้าใจได้เรียกว่า ตัวแปลงสัญญาณ (Signal converter) โดยทำหน้าที่แปลงพลังงานจากรูปหนึ่งให้อยู่ในอีกรูปแบบหนึ่ง เช่น แปลงพลังงานแสงเป็นพลังงานไฟฟ้า ในการนำตัวรับรู้ไปใช้งานแสดงได้ดังแผนภาพในรูปที่ 2.6 ส่วนรับรู้ทำการตรวจวัดและให้ตัวแปลงสัญญาณเอาท์พุตเป็นสัญญาณไฟฟ้าซึ่งถูกส่งไปเข้ากระบวนการทางไฟฟ้าขั้นต่อไป เช่น การขยายสัญญาณ แล้วจึงໄค้อาท์พุตออกมาระดับหนึ่ง นำไปใช้งานในด้านอื่นๆ ตามต้องการ [9]



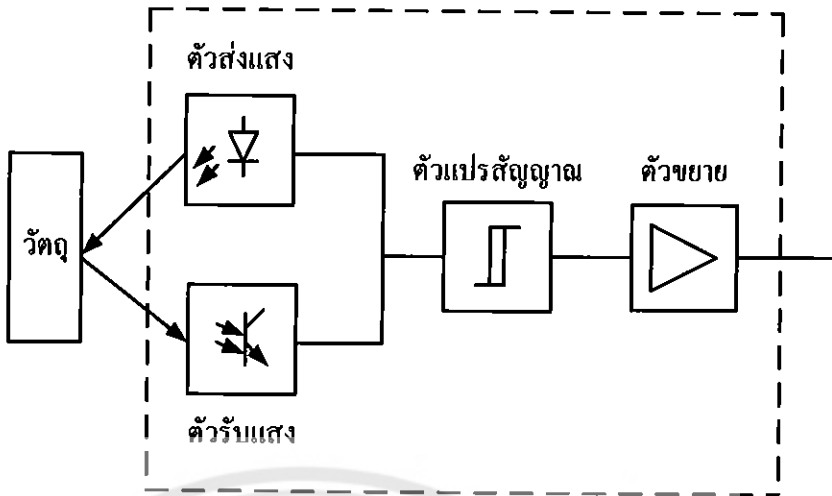
รูปที่ 2.6 แผนภาพการใช้งานตัวรับรู้ [9]

ในโครงการนี้ตัวรับรู้แบบใช้แสง (Photoelectric sensor) ซึ่งต้องการไฟเลี้ยงเป็นไฟกระแสตรงขนาด 6-36 Vdc ระยะการตรวจจับ 0-10 cm ขนาดยาว 7 cm เส้นผ่านศูนย์กลาง 1.8 cm คั่งแสดงในรูปที่ 2.7 โดยมีตัวส่งแสงและตัวรับแสงอยู่ภายใต้มีการตอบสนองต่อการเปลี่ยนแปลงปริมาณของแสงที่มากระทบกับตัวรับแสง และจะส่งสัญญาณเอาท์พุตซึ่งสัมพันธ์กับการเปลี่ยนแปลงปริมาณแสงที่ได้รับผ่านตัวรับแสง ตัวรับรู้ชนิดนี้สามารถตรวจจับการปรากฏขึ้นหรือการหายไปของวัตถุ สามารถตรวจจับขนาด รูปร่าง การสะท้อนแสง และความโปร่งแสงหรือสีของวัตถุ โดยมีส่วนประกอบหลักแสดงดังรูปที่ 2.8 ในทางปฏิบัติสามารถสร้างให้ตัวรับรู้แบบใช้แสงสามารถตรวจจับได้ในระยะไกลถึง 100 m หรือตรวจจับวัตถุขนาดเล็ก (เช่น เล็กกว่า 1 mm) ได้ [9] โดยในโครงการนี้ใช้ตัวรับรู้ดังกล่าวในการตรวจจับสัมภาระกล่อง ซึ่งสามารถตรวจจับวัตถุได้แม่นยำโดยไม่ต้องสัมผัสกับผลลัพธ์สัมภาระกล่อง



รูปที่ 2.7 ตัวรับรู้แบบใช้แสง ระยะตรวจจับ 0-10 cm

ที่มา: www.sangtawan.org



รูปที่ 2.8 ส่วนประกอบหลักของตัวรับรูแบบใช้แสง [9]

ตัวรับรูแบบใช้แสงสามารถตรวจจับวัตถุได้ทุกประเภท มีอาชีวการใช้งานได้ข้าวนาน ระยะในการตรวจจับไกลที่สุดในบรรดาตัวรับรูชนิดอื่น เวลาในการตอบสนองดีที่สุดซึ่งหมายความว่าใช้ตรวจจับประเภทที่มีความถี่ในการตรวจจับสูง เช่น ใช้ในการวัดความเร็วในการเคลื่อนที่ทั้งเชิงเส้นและเชิงมุม อย่างไรก็ตามตัวรับรูชนิดนี้มีข้อจำกัดในการตรวจจับวัตถุไปร่องไส้และวัตถุที่มีสีแตกต่างกันมากเนื่องจากความสามารถในการสะท้อนหรือดูดกลืนแสงในแต่ละสีแตกต่างกัน นอกเหนือนี้ยังต้องระวังเรื่องความสะอาดของเลนส์ของตัวรับรู [9]

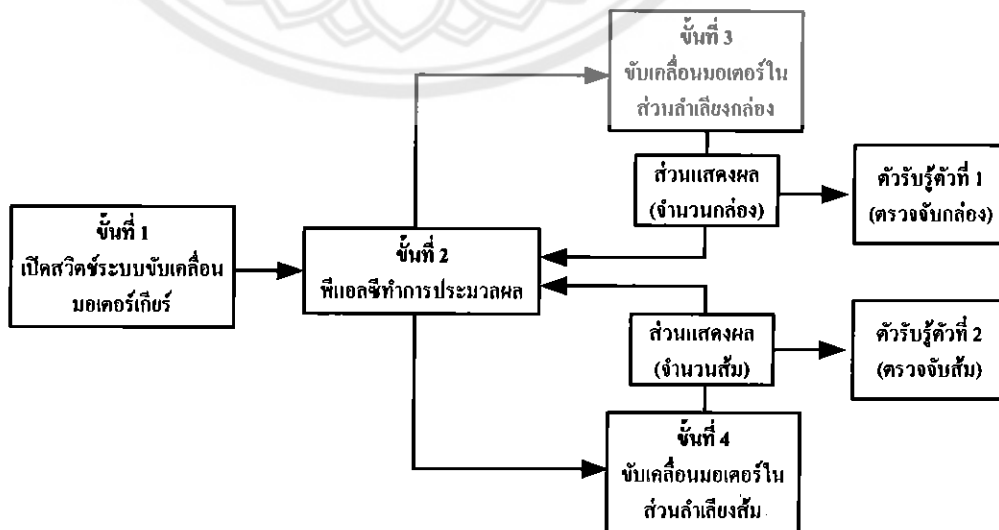
บทที่ 3

การออกแบบและสร้างแบบจำลองของระบบบรรจุส้ม

หลังจากศึกษาหลักการทำงานของพีเออลซี มอเตอร์เกียร์ และตัวรับรู้แบบใช้แสงแล้ว ได้ทำการออกแบบและสร้างแบบจำลองของระบบบรรจุส้ม โดยเริ่มจากกำหนดลำดับขั้นตอนการทำงาน ของระบบแล้วออกแบบโครงสร้างของแบบจำลอง ทั้งในส่วนการลำเลียงส้มและส่วนการลำเลียงกล่อง จากนั้นดำเนินการสร้างชิ้นงานตามที่ออกแบบไว้ และเขียนโปรแกรมควบคุมการทำงานโดยใช้ชุดทดลอง ET-BOARD V5.0 ในรูปแบบการทำงานเป็นพีเออลซี

3.1 การออกแบบขั้นตอนการทำงานของระบบ

ขั้นตอนการทำงานของระบบบรรจุส้ม โดยใช้พีเออลซีดังรูปที่ 3.1 ผู้ใช้งานสามารถสวิตช์เปิดและปิดระบบขับเคลื่อนมอเตอร์เกียร์เพื่อเริ่มการทำงาน โดยเมื่อกดสวิตช์ สวิตช์ส่งสัญญาณให้กับพีเออลซีเพื่อสั่งให้ส่วนลำเลียงกล่องเริ่มทำการลำเลียงกล่องมางานกระถางที่มีกล่องตัดแสงของตัวรับรู้ตัวที่ 1 ตัวรับรู้ส่งสัญญาณไปยังพีเออลซีเพื่อหยุดการทำงานในส่วนลำเลียงกล่องและสั่งเริ่มการทำงานในส่วนลำเลียงส้มเพื่อลำเลียงส้มลงกล่องในขณะที่ลำเลียงลงกล่องส้มจะตัดผ่านตัวรับรู้ที่ติดอยู่ในส่วนลำเลียงส้มก่อนลงกล่องซึ่งเมื่อสัมภคผ่านตัวรับรู้ตัวที่ 2 ตัวรับรู้จะส่งสัญญาณให้กับพีเออลซีเพื่อบันทึกจำนวนส้มงานกระถางที่สัมภคจำนวนที่กำหนดไว้ จากนั้นพีเออลซีจะสั่งให้ส่วนลำเลียงส้มหยุดการทำงานและสั่งให้ส่วนลำเลียงกล่องที่มีสัมภคบรรจุครบแล้วไปยังส่วนต่อไป ส่วนนี้จะทำงานจนกระถางที่มีกล่องถูกนำไปตัดตัวรับรู้ตัวที่ 1 จึงจะเริ่มกระบวนการใหม่อีกครั้ง



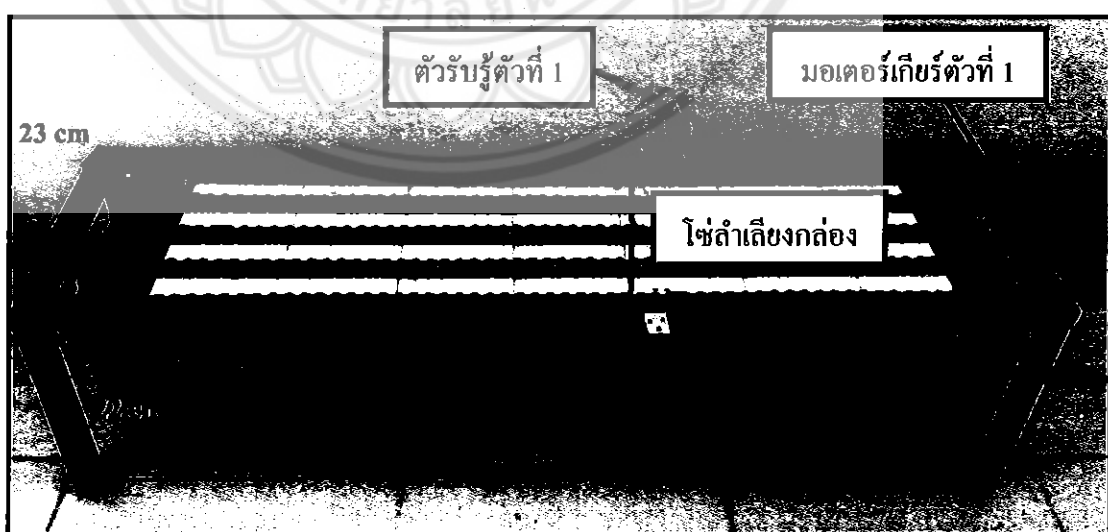
รูปที่ 3.1 ขั้นตอนการทำงานของระบบบรรจุส้มโดยใช้พีเออลซี

3.2 การออกแบบและสร้างแบบจำลองของระบบบรรจุส้ม

ในโครงการนี้ได้ออกแบบและสร้างแบบจำลองของระบบบรรจุส้มขึ้นเพื่อใช้นำเสนอ หลักการที่พัฒนาขึ้นในโครงการสำหรับควบคุมการลำเลียงส้มและบรรจุลงในกล่อง โดยแบ่ง ส่วนประกอบของแบบจำลองออกเป็น 2 ส่วนหลักๆ คือส่วนลำเลียงกล่องและส่วนลำเลียงส้ม

3.2.1 ส่วนลำเลียงกล่อง

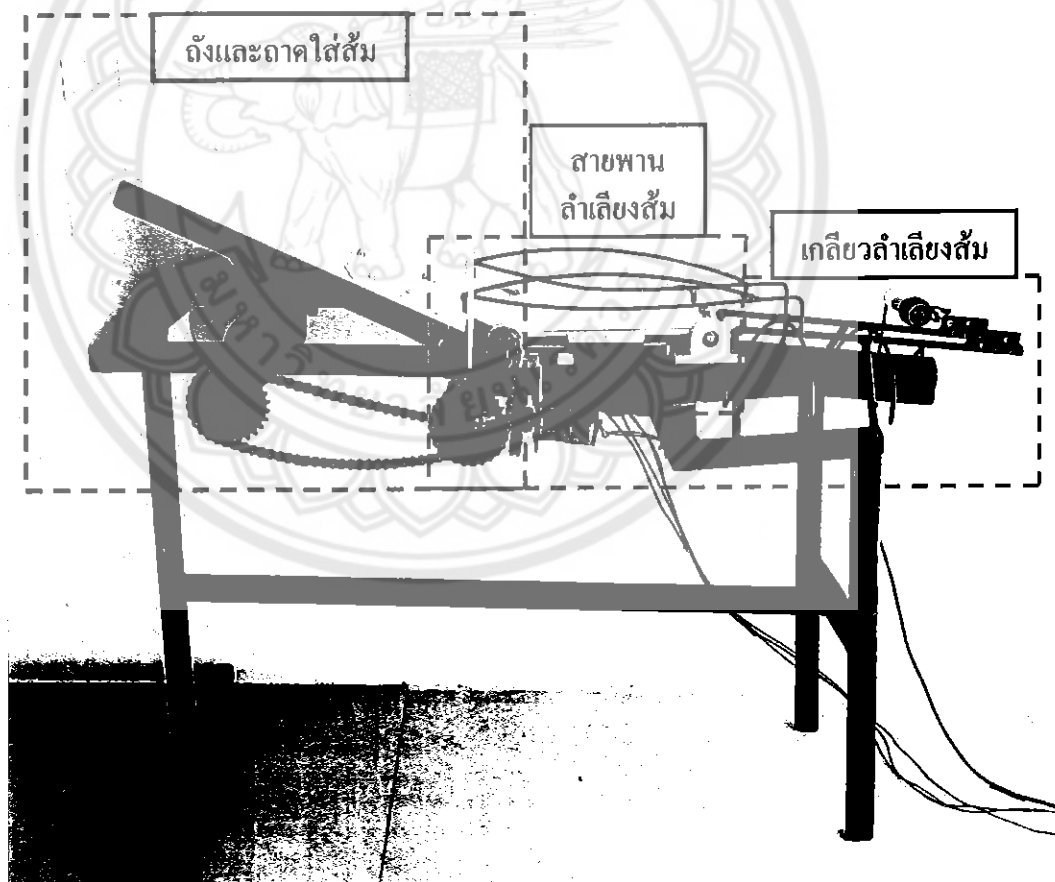
ในโครงการได้ดำเนินการออกแบบและสร้างส่วนลำเลียงกล่องขึ้นเป็นอันดับแรกเพื่อ กำหนดระยะเวลาในการห่วงโซ่อุปทานที่ใช้บรรจุส้มกับส่วนปลายของเกลียว โครงสร้างของส่วน ลำเลียงกล่องมีขนาดกว้าง 23 cm ยาว 85 cm และสูง 22 cm ดังรูปที่ 3.2 โดยสร้างจากเหล็กกลวง สี่เหลี่ยม ในแบบจำลองนี้ กล่องบรรจุส้มจะถูกลำเลียงโดยใช้ไข่เจียว 5 เส้นวางบนสามากันทำ หน้าที่เป็นสายพานลำเลียงกล่อง ทึบหน้าที่เพื่อความแข็งแรงของตัวสายพานซึ่งต้องรองรับน้ำหนักของ กล่องที่มีสัมบรรจุอยู่ด้วยและเพื่อประหัดค่าใช้จ่ายในการสร้างแบบจำลอง โดยใช้แผ่นอะคริลิก (Acrylic) วางช้อนให้ไข่เจียวส่วนบนเพื่อลดการหักห้ามของไข่ในขณะลำเลียง ไข่ลำเลียงถูกขับเคลื่อน ด้วยมอเตอร์เกียร์ (ตัวที่ 1) เพื่อลำเลียงกล่องให้เคลื่อนที่มาติดผ่านตัวรับรู้แบบไข้แสง (ตัวที่ 1) ซึ่ง ทำหน้าที่ตรวจสอบการมีอยู่ของกล่องและส่งสัญญาณให้ส่วนแสดงผล 7 ส่วนแสดงตัวเลขจำนวน กล่องที่บรรจุส้มเรียบร้อยแล้ว โดยการกำหนดตำแหน่งที่ติดตั้งตัวรับรู้คงกล่าวจะพิจารณาจาก บริเวณที่ต้องการให้กล่องหยุดบนไข่ลำเลียงเพื่อรับผลสัมจากส่วนลำเลียงส้มนั่นเอง



รูปที่ 3.2 ส่วนลำเลียงกล่อง

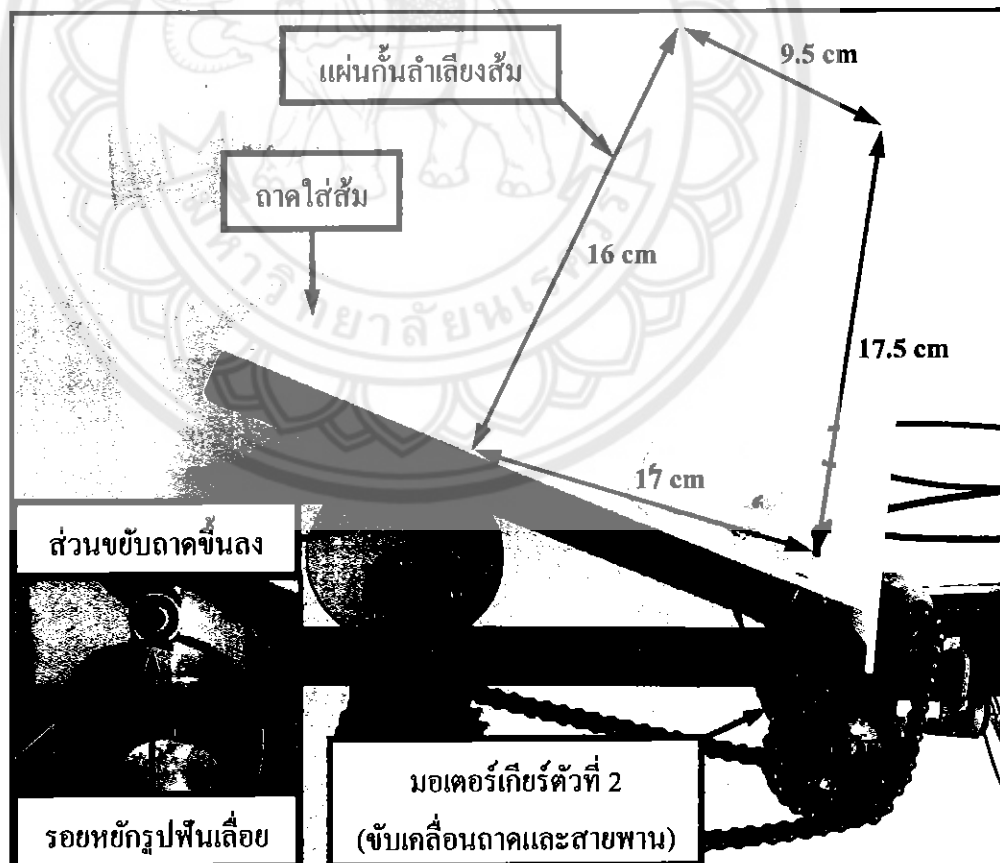
3.2.2 ส่วนลำเลียงสัน

ในแบบจำลองของระบบบรรจุสัน การบรรจุสันลงในแต่ละกล่องต้องอาศัยส่วนลำเลียงสันซึ่งทำหน้าที่เคลื่อนย้ายผลสัมภารถ์สันจากถังใส่สัน นอกจากนี้การบรรจุให้มีจำนวนผลสัมภารถ์เท่ากันในแต่ละกล่องจำเป็นต้องมีการนับผลสัมภารถ์ในที่นี่เป็นหน้าที่ของพีแอลซี ดังนั้นในระหว่างการลำเลียงจากถังใส่สันไปยังกล่องจึงจำเป็นต้องมีวิธีความคุมทิศทางและการจัดเรียงผลสัมภารถ์ให้เคลื่อนที่ผ่านตัวรับรู้แบบใช้แสงที่จะผลเพื่อให้เกิดความแม่นยำในการนับ การเคลื่อนที่ของสันผ่านตัวรับรู้ดังกล่าวทำให้พีแอลซีได้รับสัญญาณเป็นจำนวนครั้งเท่ากับจำนวนผลสัมภารถ์ถูกลำเลียงผ่านจึงทำให้เราสามารถกำหนดจำนวนผลสัมภารถ์ที่ต้องการบรรจุลงในแต่ละกล่อง ได้ตามความต้องการและมีจำนวนเท่ากันทุกกล่อง ดังนั้นเพื่อให้ได้ผลดังที่กล่าวมาข้างต้น โครงงานนี้จึงได้ออกแบบให้ส่วนลำเลียงสันประกอบด้วย 3 ส่วนคือ ถังและถาดใส่สัน สายพานลำเลียงสัน และเกลียวลำเลียงสันดังแสดงในรูปที่ 3.3



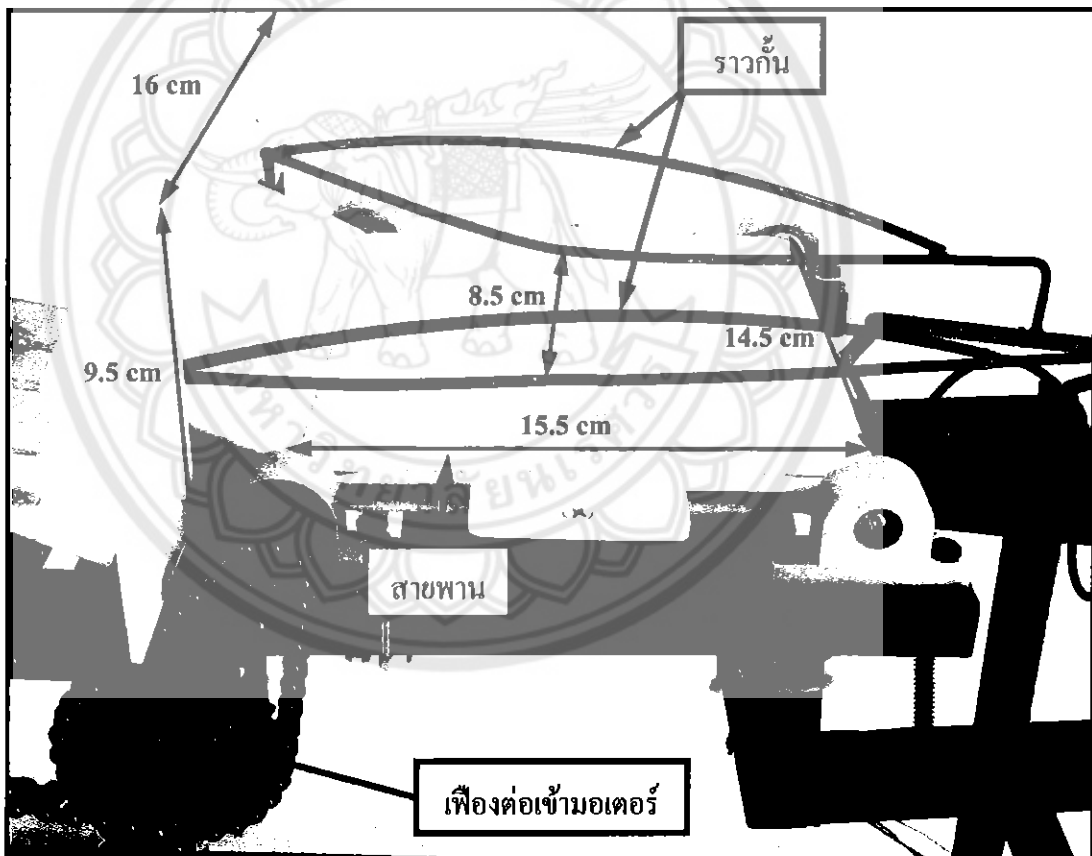
รูปที่ 3.3 ส่วนลำเลียงสัน

แบบจำลองที่สร้างขึ้นในโครงการนี้ถูกออกแบบให้ใช้สำลีเดียงสัมที่มีขนาดเดือนผ่านศูนย์กลางอยู่ในช่วง 3-5 cm โดยถังและถุงใส่สัมที่สร้างขึ้นมีลักษณะดังรูปที่ 3.4 ถุงใส่สัมมีหน้าที่รองรับสัมและถูกออกแบบให้รองรับน้ำหนักสัมได้ไม่เกิน 2.5 kg โดยสร้างจากเหล็กกลวงรูปสี่เหลี่ยม 4 ชิ้นเชื่อมติดกันเป็นโครงสี่เหลี่ยมขนาด 27×27 cm จำนวน 2 ชิ้นวางซ้อนกัน โดยมีค้านหนึ่งเชื่อมต่อ กันด้วยบานพับเพื่อให้สามารถยกขึ้นลงได้ และใช้แผ่นอะคริลิกตัดเป็นรูปสี่เหลี่ยมขนาด 27×27 cm ทำเป็นส่วนรองรับสัม และตัดแผ่นอะคริลิกเป็นสี่เหลี่ยมคงที่สร้างเป็นแผ่นกันเพื่อช่วยสำลีเดียงสัมออกจากถัง ผนังโครงสร้างของถังใส่สัมทำจากแผ่นอะคริลิกที่ตัดเป็นรูปสี่เหลี่ยมผืนผ้าขนาด 27×21 cm จำนวน 4 แผ่นยึดติดกันเป็นโครงโดยรอบและมีถุงใส่สัมเป็นฐานโดยผนังด้านที่ติดกับสายพานสำลีเดียงถูกเจาะเป็นช่องสี่เหลี่ยมขนาด 16×9.5 cm เพื่อเป็นช่องให้ผลสัมเคลื่อนออกจากถังไปยังสายพานสำลีเดียงได้ประมาณ 3 ถูก ถุงใส่สัมถูกขับขึ้นให้ขึ้นลงด้วยถูกเบื้องต้นถูกขับเคลื่อนให้หมุนด้วยมอเตอร์เกียร์ ถูกนี้ทำจากแผ่นอะคริลิกตัดเป็นวงกลมและมีรอยหยักรูปฟันเลือบอยู่ที่ส่วนหนึ่งของขอบเพื่อทำให้เกิดการสั่นในขณะถูกยกขึ้นจึงช่วยให้สำลีเดียงสัมออกจากถุงได้สะดวกยิ่งขึ้น



รูปที่ 3.4 ถุงใส่สัมและอุปกรณ์ขับเคลื่อน

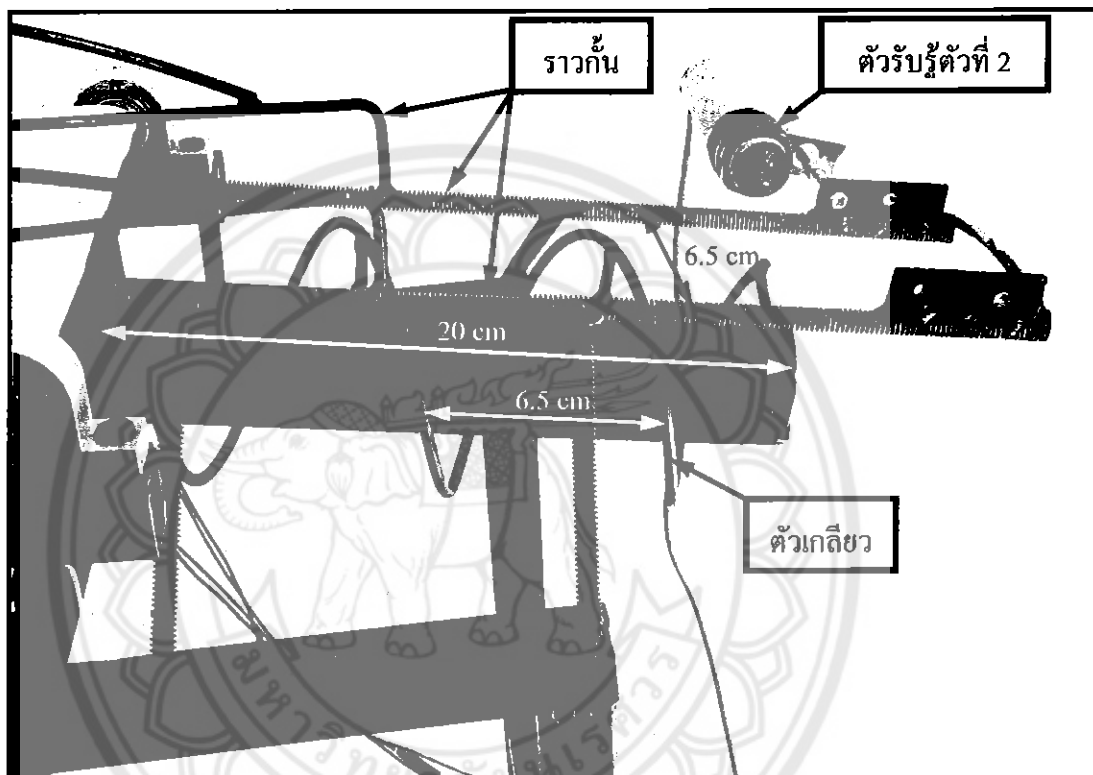
หลังจากสัมเคลื่อนที่ออกจากถังและถูกแล้วจะถูกลำเลียงต่อคิวสายพานซึ่งมีหน้าที่ลำเลียงผลสัมภาระต่อไปยังเกลียวลำเลียง ในที่นี้ได้นำแผ่นหนังสังเคราะห์มาทำเป็นสายพาน เพราะมีความหนืดจึงช่วยลดความรีของผลสัมภาระถูกลำเลียงออกจากถัง โดยในขณะที่สัมเคลื่อนที่อยู่บนสายพานนั้นผลสัมภาระถูกควบคุมทิศทางการเคลื่อนที่ด้วยรางกันดังแสดงในรูปที่ 3.5 ซึ่งทำจากสเตนเลสสแตน (Stainless bar) เพื่อจัดเรียงให้ผลสัมภาระถูกลำเลียงต่อไปที่ละถูกอย่างต่อเนื่องก่อนถูกส่งไปยังเกลียวลำเลียง ฐานของสายพานลำเลียงมีขนาด 20×20 cm สร้างจากเหล็กกลวงสีเหลืองที่เชื่อมติดกัน สายพานถูกขึ้นด้วยแท่งเหล็ก 2 ท่อน โดยท่อนแรกมีความยาว 23 cm ติดตั้งอยู่ด้านที่ต่อจากถังและเชื่อมกับเพ้องเพื่อต่อเข้ากับมอเตอร์ตัวที่ 2 ในขณะที่แท่งเหล็กอีกท่อนมีความยาว 16 cm ซึ่งจะหมุนแบบอิสระและติดตั้งอยู่ด้านที่ต่อไปยังเกลียวลำเลียง แท่ล์คด้านของแท่งเหล็กทั้งสองมีการติดตั้งคลบถูกปืนเกือกม้าน้ำด 6 mm เพื่อรองรับการหมุน



รูปที่ 3.5 สายพานลำเลียงสัมภาระอุปกรณ์ขับเคลื่อน

เมื่อผลสัมฤทธิ์รวมกันในส่วนของสายพานให้เกลี่องที่แบบเรียงลำดับ ผลสัมแต่ละสูงเจริญ ถูกลำเดียงเข้าสู่เกลี่ยวซึ่งมีลักษณะดังรูปที่ 3.6 การออกแบบสร้างเกลี่ยวลำเดียงในแบบจำลองได้พิจารณาจากขนาดสัมที่กำหนด ในที่นี้จึงเลือกใช้ห้องเหล็กทรงกระบอกกลวงที่มีเส้นผ่าศูนย์กลาง 400 มม. และสูง 200 มม. ทำให้เกลี่ยวสามารถรองรับแรงดึงดูดและแรงต้านทานได้ดี

คูณยกสอง 3.5 cm และความยาว 20 cm จากนั้นนำสแตนเลสเส้นมาตัดให้โางเป็นเกลียวรอบท่อน เหล็กดังกล่าวโดยติดตั้งห่างจากผิวนอกของท่อนเหล็กโดยรอบเป็นระยะ 2 cm แต่ละวงรอบมี ระยะห่าง 6.5 cm โดยสามารถล่าน้ำเลี้ยงอยู่บนเกลียวในแต่ละขณะได้มากที่สุด 3 ถูก ในบริเวณ ด้านข้างของเกลียวได้ใช้เหล็กเส้นทำเป็นรากันเพื่อประคองผลลัพธ์ให้อบผู้บนเกลียวในขณะล่าน้ำเลี้ยง นอกจากนี้ที่ช่วงปลายของเกลียวได้ติดตั้งตัวรับรู้แบบใช้แสงเพื่อนับจำนวนสัม



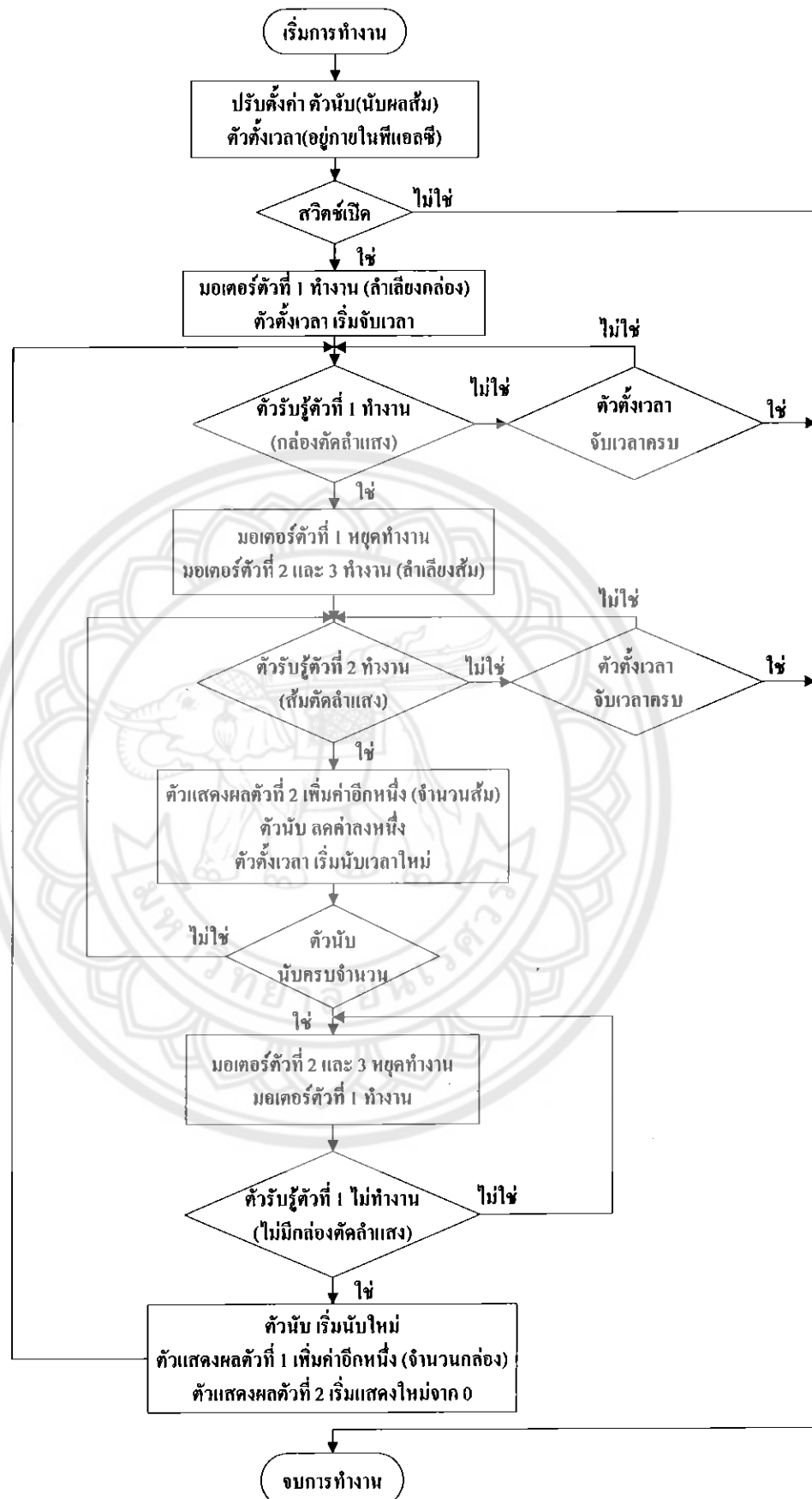
รูปที่ 3.6 ส่วนเกลียวล่าน้ำเลี้ยงสัม

3.3 การควบคุมระบบบรรจุสัม

หลังจากที่ได้ออกแบบและสร้างแบบจำลองระบบบรรจุสัมแล้ว ระบบจะถูกควบคุมโดย พีเอลซี เนื่องจากเป็นที่นิยมในปัจจุบันและหาซื้อง่าย ผู้ใช้งานสามารถนำมาประยุกต์การใช้งานได้ สะดวก ระบบพีเอลซีที่เลือกใช้คือชุดทดลอง ET-BOARD V5.0 โดยเลือกใช้โนมคอมพีเอลซี

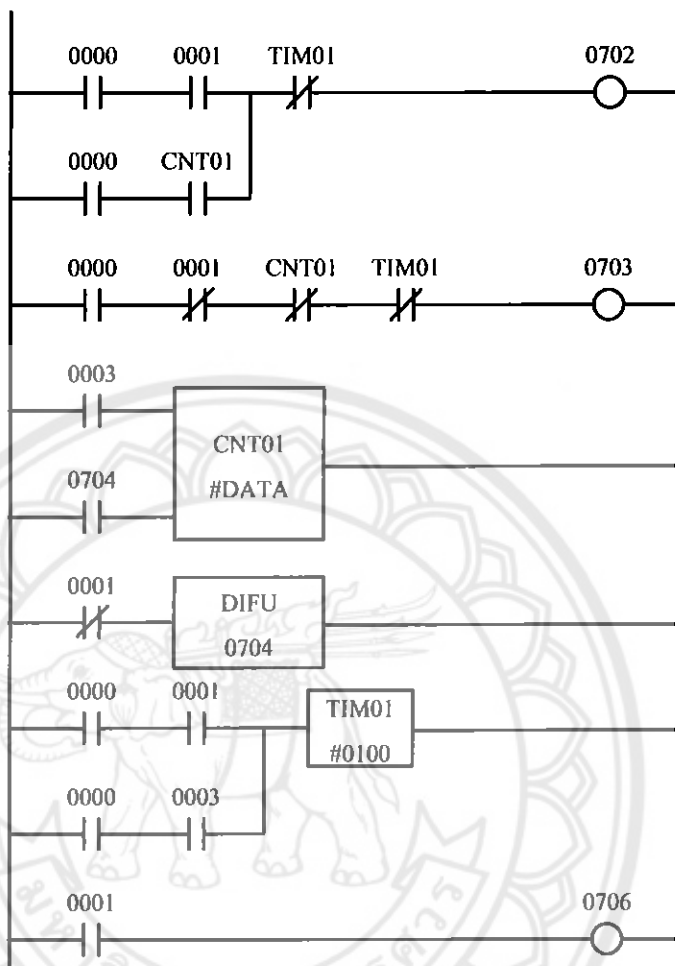
3.3.1 การเขียนโปรแกรมควบคุมพีเอลซี

ขั้นตอนการเขียนโปรแกรมควบคุมพีเอลซีเริ่มจากการเขียนผังงานการออกแบบลำดับ การทำงานของระบบบรรจุสัมดังรูปที่ 3.7 เพื่อให้เห็นการทำงานโดยรวมของระบบ



รูปที่ 3.7 ลำดับการทำงานของระบบลำเลียงสัมบ.

จากผังงานแสดงลำดับขั้นตอนการทำงานของระบบบรรจุถัง นำมาเขียนในรูปแผนภาพ
ขั้นบันไดได้ดังรูปที่ 3.8



รูปที่ 3.8 แผนภาพขั้นบันได

โดยที่

- | | |
|-----------|--|
| 0000 | คือ สวิตช์เปิดและปิดระบบขับเคลื่อนมอเตอร์เกียร์ |
| 0001 | คือ ตัวรับรู้ตัวที่ 1 |
| 0003 | คือ ตัวรับรู้ตัวที่ 2 |
| 0702 | คือ มอเตอร์ตัวที่ 1 |
| 0703 | คือ มอเตอร์ตัวที่ 2 |
| 0706 | คือ เริ่มนับใหม่ |
| TIM01 | คือ ตัวตั้งเวลาตัวที่ 1 ภายในพีเอลซี |
| CNT01 | คือ ตัวนับเวลาตัวที่ 1 ภายในพีเอลซี |
| DIFU 0704 | คือ เมื่อ 0001 เปลี่ยนจาก OFF ไปสู่ ON ที่ 0704 จะ ON ขึ้นมา |

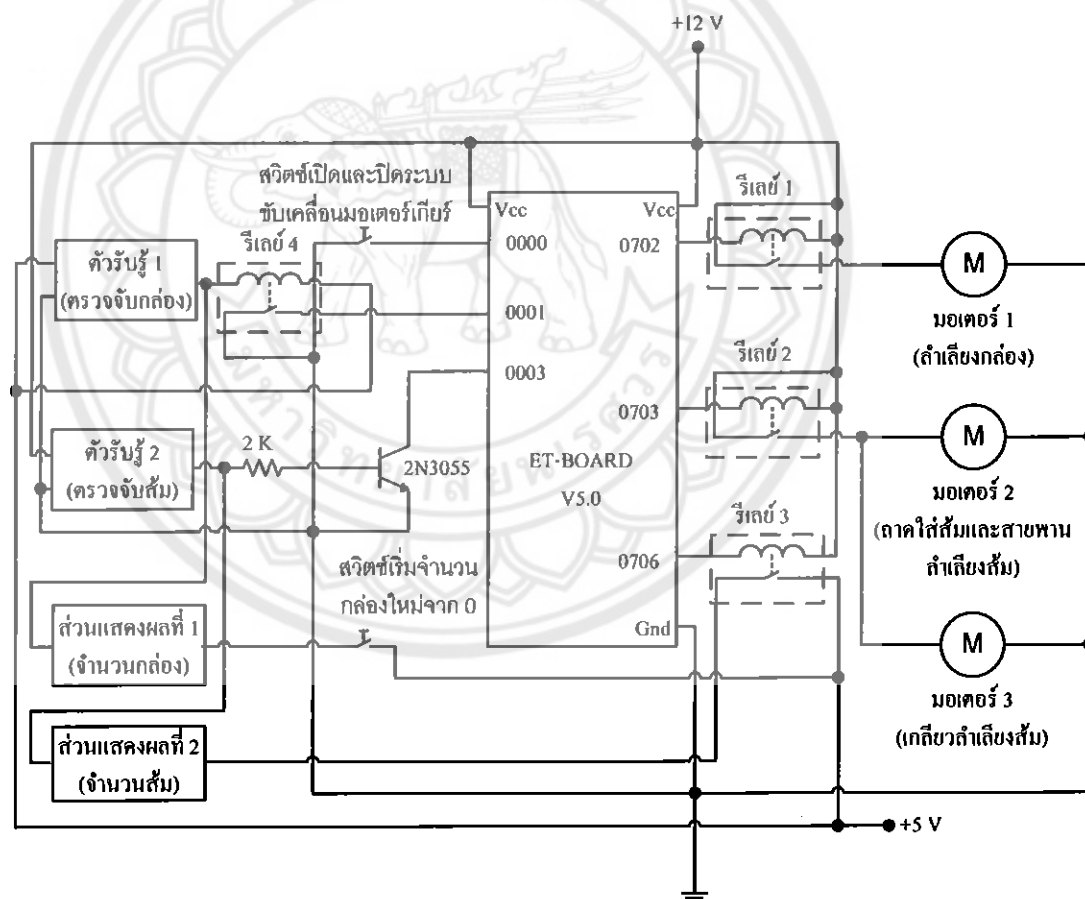
จากรูปที่ 3.7 และ 3.8 สำหรับการทำงานของระบบสำหรับสัมภาระที่ออกแบบมีขั้นตอนดังต่อไปนี้ เริ่มนับให้ผู้ใช้ปรับตั้งค่าตัวบันทึกที่ 1 (CNT01) เป็นตัวบันทึกจำนวนสัมภาระและค่าตัวบันทึกเวลาตัวที่ 1 (TIM01) จากนั้นกดสวิตช์ (0000) เพื่อสั่งให้มอเตอร์ตัวที่ 1 (0702) เริ่มลากเดินกล่อง ในขณะเดียวกันตัวบันทึกเวลาตัวที่ 1 (TIM01) เริ่มจับเวลา ถ้าไม่มีการกดสวิตช์ (0000) ระบบไม่เริ่มการทำงานในกรณีที่กดสวิตช์ (0000) นาฬิกาตัวที่ 1 (0702) เริ่มลากเดินกล่อง ระบบจะตรวจสอบว่าถ้าไม่มีกล่องมาตัดคำสั่งของตัวรับรู้ตัวที่ 1 (0001) ระบบจะตรวจสอบตัวบันทึกเวลาตัวที่ 1 (TIM01) ว่าจับเวลาครบตามที่กำหนดหรือยัง ถ้ายังให้กลับไปตรวจสอบว่ามีกล่องมาตัดคำสั่งของตัวรับรู้ตัวที่ 1 (0001) ถ้าตัวบันทึกเวลาครบตามที่กำหนดแล้วระบบจะสั่งงานการทำงาน แต่ถ้าไม่มีกล่องเคลื่อนที่มา ตัดคำสั่งของตัวรับรู้ตัวที่ 1 (0001) นาฬิกาตัวที่ 1 (0702) หยุดลากเดินกล่อง และนาฬิกาตัวที่ 2 และ 3 (0703) เริ่มลากเดินกล่อง จากนั้นระบบมีการตรวจสอบว่าถ้าไม่มีสัมภาระตัดคำสั่งของตัวรับรู้ตัวที่ 2 (0003) ระบบจะตรวจสอบตัวบันทึกเวลาตัวที่ 1 (TIM01) ว่าจับเวลาครบตามที่กำหนดหรือยัง ถ้ายังให้กลับไปตรวจสอบว่ามีสัมภาระตัดคำสั่งตัวรับรู้ตัวที่ 2 (0003) ถ้าตัวบันทึกเวลาครบแล้วระบบจะสั่งงานการทำงานระบบจะสั่งงานการทำงาน แต่ถ้าไม่มีสัมภาระตัดคำสั่งตัวรับรู้ตัวที่ 2 (0003) มีการแสดงผลจำนวนสัมภาระตัวแสดงผลตัวที่ 2 เพิ่มค่าไปหนึ่ง ตัวบันทึกเวลาตัวที่ 1 (CNT01) ลดค่าลงหนึ่ง และตัวบันทึกเวลาตัวที่ 1 (TIM01) เริ่มนับใหม่ สัมภาระตัดคำสั่งลงกล่องพร้อมกับมีการนับจำนวนสัมภาระแสดงจำนวนสัมภาระตัวบันทึกเวลาตัวที่ 1 (CNT01) ว่าบันทึกตามที่กำหนดให้หรือยัง ถ้ายังให้กลับไปตรวจสอบว่ามีสัมภาระตัดคำสั่งตัวรับรู้ตัวที่ 2 (0003) แต่ถ้าบันทึกตามที่กำหนดแล้ว นาฬิกาตัวที่ 2 และ 3 (0703) หยุดลากเดินกล่อง และนาฬิกาตัวที่ 1 (0702) เริ่มลากเดินกล่องที่มีสัมภาระจุครบแล้วไปยังส่วนต่อไป จากนั้นระบบตรวจสอบว่ามีกล่องมาตัดคำสั่งตัวรับรู้ตัวที่ 1 (0001) ถ้าไม่มีกล่องมาตัดคำสั่งตัวรับรู้ตัวที่ 1 (0001) นาฬิกาตัวที่ 2 และ 3 (0703) หยุดลากเดินกล่อง และนาฬิกาตัวที่ 1 (0702) เริ่มลากเดินกล่อง แต่ถ้าไม่มีกล่องมาตัดคำสั่งตัวรับรู้ตัวที่ 1 (0001) ตัวบันทึกเวลาตัวที่ 1 (CNT01) เริ่มนับใหม่ ตัวแสดงผลตัวที่ 1 แสดงจำนวนกล่อง เพิ่มค่าหนึ่ง และตัวแสดงผลตัวที่ 2 เริ่มใหม่ จากนั้นจะกลับไปเริ่มใหม่ในส่วนตรวจสอบว่ามีกล่องมาตัดคำสั่งของตัวรับรู้ตัวที่ 1 (0001) หรือไม่

จากนั้นทำการเขียนภาษาบูลีนซึ่งสอดคล้องกับแผนภาพขั้นบันไดดังแสดงในรูปที่ 3.8 เพื่อป้อนให้กับพีเอลซีโดยสามารถแสดงได้ดังนี้

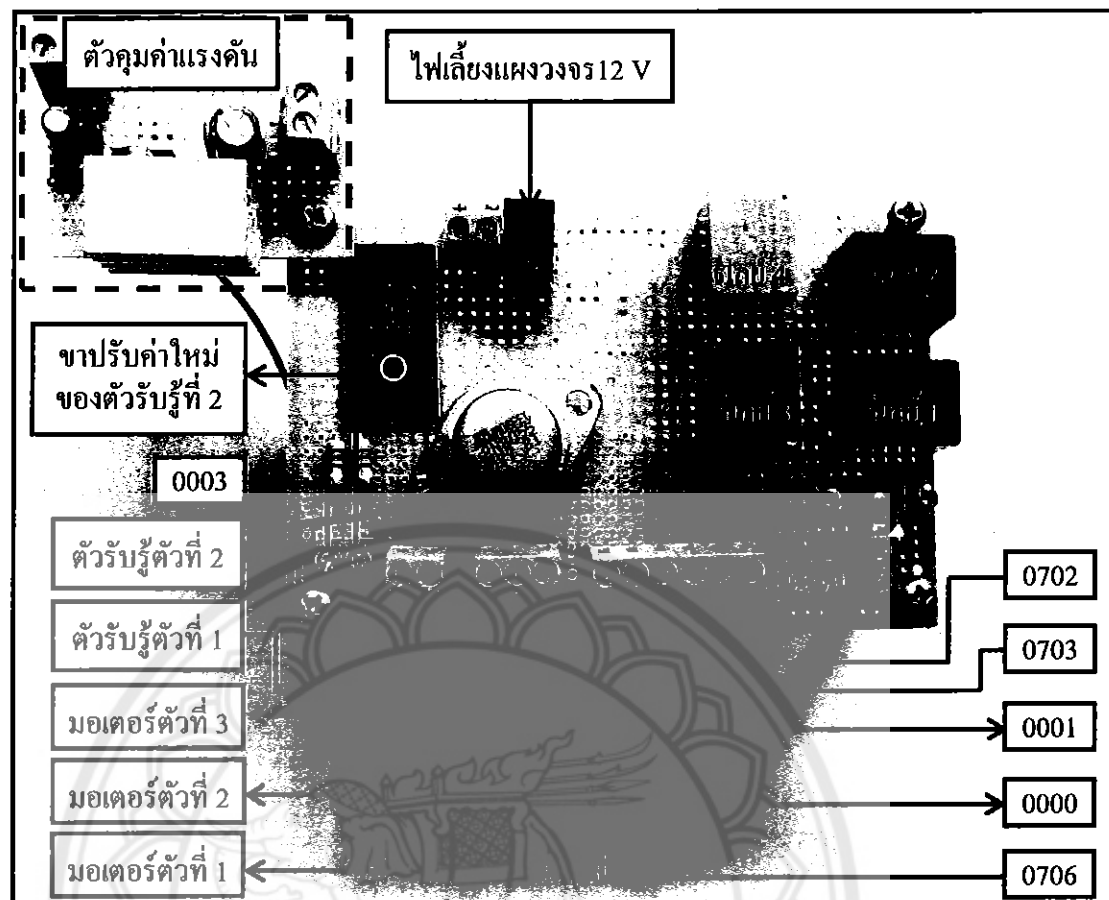
| | | |
|-------------|-------|---|
| LD | 0000 | ควบคุมส่วนลำเลียงกล่อง |
| AND | 0001 | |
| LD | 0000 | |
| AND CNT | 01 | |
| OR LD | | |
| AND NOT TIM | 01 | |
| OUT | 0702 | |
| LD | 0000 | ควบคุมส่วนลำเลียงส้ม |
| AND NOT | 0001 | |
| AND NOT CNT | 01 | |
| AND NOT TIM | 01 | |
| OUT | 0703 | |
| LD | 0003 | นับจำนวนส้ม |
| LD | 0704 | |
| CNT | 01 | |
| CNT DATA | #0005 | |
| LD NOT | 0001 | ควบคุมการเริ่มนับใหม่ |
| DIFU (13) | 0704 | |
| LD | 0000 | ควบคุมการจับเวลาของตัวตั้งเวลา |
| AND | 0001 | |
| LD | 0000 | |
| AND | 0003 | |
| OR LD | | |
| TIM | 01 | |
| TIM DATA | #0100 | กำหนดระยะเวลา (ชั่ว 10 s) หากยังไม่มี |
| | | วัตถุติดผ่านตัวรับไว้ให้สั่งหยุดมอเตอร์ |
| LD | 0001 | ควบคุมการเริ่มแสดงผลใหม่ |
| OUT | 0706 | |
| END | | |

3.3.2 การเชื่อมต่อชุดทดลอง ET-BOARD V5.0 กับอุปกรณ์ภายนอก

เนื่องจากชุดทดลอง ET-BOARD V5.0 ทันกระแสได้ดีน้อย ในการเชื่อมต่อกับมอเตอร์ จำเป็นต้องนำรีเลย์ภายนอกเข้ามาช่วยในการต่อควบคุม เนื่องจากในขณะที่มอเตอร์ทำงาน อาจใช้กระแสสูงจนทำให้ชุดทดลอง ET-BOARD V5.0 เกิดความเสียหายได้ การเชื่อมต่อชุดทดลอง ET-BOARD V5.0 กับอุปกรณ์ภายนอกแสดงดังแผนภาพในรูปที่ 3.9 โดยต่อผ่านวงจรสวิตช์และรีเลย์ดังแสดงในรูปที่ 3.10 ในโครงการนี้ใช้ตัวรับรู้แบบใช้แสงเป็นตัวส่งสัญญาณอินพุตให้กับชุดทดลอง ET-BOARD V5.0 แต่เนื่องจากในการรับสัญญาณอินพุตของชุดทดลองสามารถรับได้เพียงต่ำสุด 0 เท่านั้น โครงการนี้จึงใช้รีเลย์และทรานซิสเตอร์ทำหน้าที่เป็นตัวเชื่อมต่อในการส่งสัญญาณต่ำสุด 0 ให้กับชุดทดลอง โดยใช้รีเลย์เป็นตัวเชื่อมต่อกับตัวรับรู้แบบใช้แสงที่ตรวจจับกล่อง และใช้ทรานซิสเตอร์ 2N3005 ทำหน้าที่เป็นสวิตช์เพื่อเชื่อมต่อกับตัวรับรู้แบบใช้แสงที่ตรวจจับผลสัมฤทธิ์ นี่เองจากทรานซิสเตอร์ตอบสนองไว้และแม่นยำ



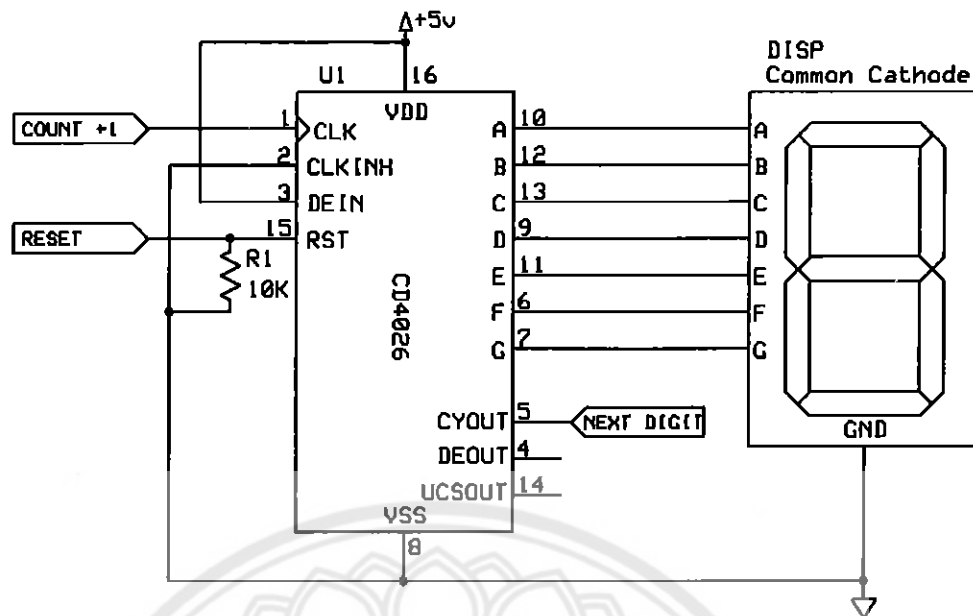
รูปที่ 3.9 แผนภาพวงจรการเชื่อมต่อชุดทดลอง ET-BOARD V5.0 กับอุปกรณ์ภายนอก



รูปที่ 3.10 วงจรสวิตซ์และรีเลย์ที่ต่อกับพอร์ตอินพุตและเอาท์พุตของ ET-BOARD V5.0

3.4 ส่วนแสดงผล

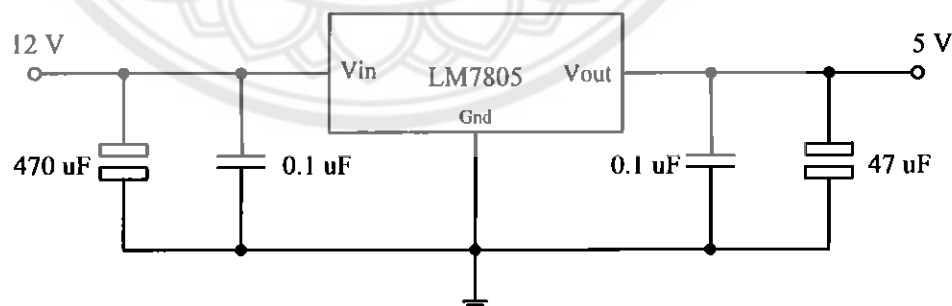
การแสดงจำนวนผลสัมและจำนวนนักล่องบزرุในโครงการนี้ใช้ตัวแสดงผลแบบ 7 ส่วน (7-segment display) โดยใช้ไอซีหมายเลข CD4026 เป็นตัวรับสัญญาณจากตัวรับรู้แล้วแบ่งไปให้ตัวแสดงผลแบบ 7 ส่วน เพื่อแสดงจำนวนนักล่องและสัมการเชื่อมต่อวงจรในส่วนแสดงผลดังรูปที่ 3.11 โดยไอซีหมายเลข CD4026 รับสัญญาณอินพุตจากเอาท์พุตของตัวรับรู้เข้าที่ขา 1 (CLK) ในกรณีของการแสดงจำนวนผลสัม ขาปรับตั้งใหม่ (RST) ของไอซีหมายเลข CD4026 จะเชื่อมต่อกับเอาท์พุตของ ET-BOARD V5.0 ที่พอร์ต 0706 โดยผ่านรีเลย์



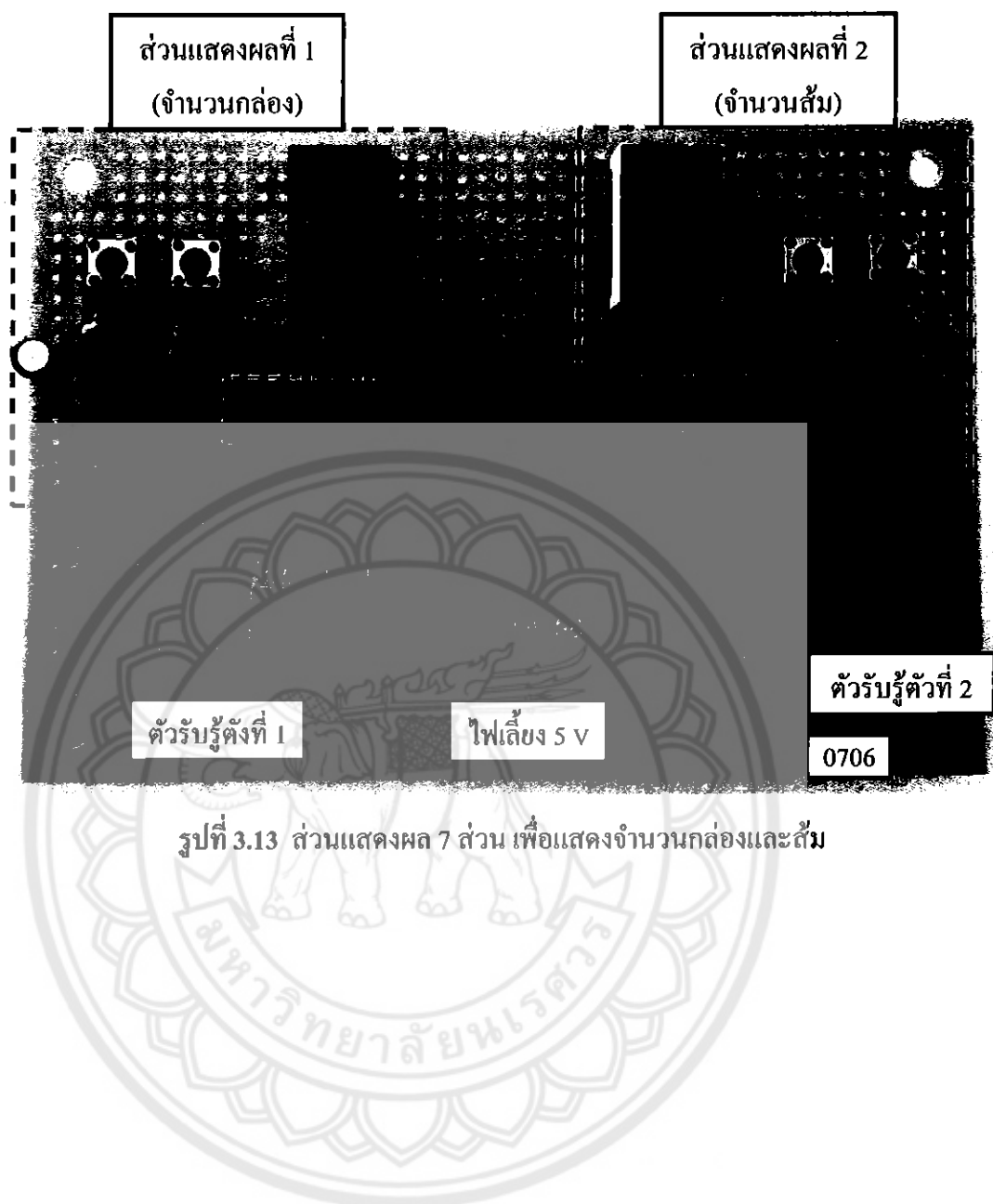
รูปที่ 3.11 การเชื่อมต่อวงจรแสดงผล 7 ส่วน

ที่มา: <http://www.electronicszone.net46.net>

ในวงจรของส่วนแสดงผลต้องการแรงดันเพียง 5 V ซึ่งในโครงงานนี้สร้างจากตัวคุณค่าแรงดัน (Voltage regulator) หมายเลข LM7805 โดยรับแรงดันอินพุต 12 V ดังแสดงในรูปที่ 3.12 มาจากเอาท์พุตของตัวรับรู้แบบใช้แสง ตัวคุณค่าแรงดันจะสร้างแรงดันเอาท์พุตมีค่าคงที่เท่ากับ 5 V ซึ่งจะถูกนำไปป้อนให้กับขา CLK ของไอซีหมายเลข CD4026 ต่อไป



รูปที่ 3.12 ตัวคุณค่าแรงดันสำหรับสร้างไฟเลี้ยง 5 V



รูปที่ 3.13 ส่วนแสดงผล 7 ส่วน เพื่อแสดงจำนวนกล่องและถัง

บทที่ 4

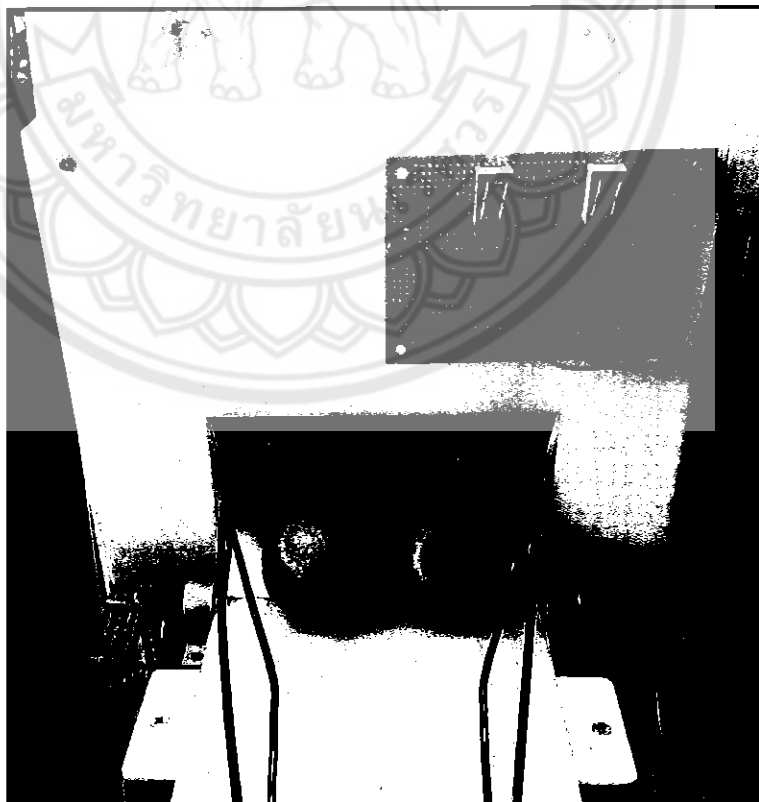
ผลการทดสอบและการวิเคราะห์ผล

หลังจากออกแบบและสร้างระบบบรรจุส้ม โดยใช้พีเออลซี ขั้นตอนไปเป็นการทดสอบการทำงาน ความสามารถ และขีดจำกัดในการทำงานของระบบ โดยแบ่งการทดสอบเป็น 3 ส่วน ดังนี้

- 1) การทดสอบส่วนถอดใส่ส้ม
- 2) การทดสอบส่วนสายพานลำเลียงส้ม
- 3) การทดสอบส่วนเกลี่ยวน้ำลำเลียงส้ม

4.1 การลำเลียงส้มออกจากถาด

ลักษณะการลำเลียงส้มออกจากถาดแสดงให้ดูรูปที่ 4.1 โดยทำการทดสอบคุณภาพใส่ส้มลงในถาดจำนวน 18 ผลซึ่งมีน้ำหนักร่วมประมาณ 2 kg และเริ่มการทำงานของระบบจำลองรวมทั้งทดสอบว่าสามารถลำเลียงผลส้มออกจากถาดได้พร้อมกันมากที่สุดเป็นจำนวนเท่าไหร

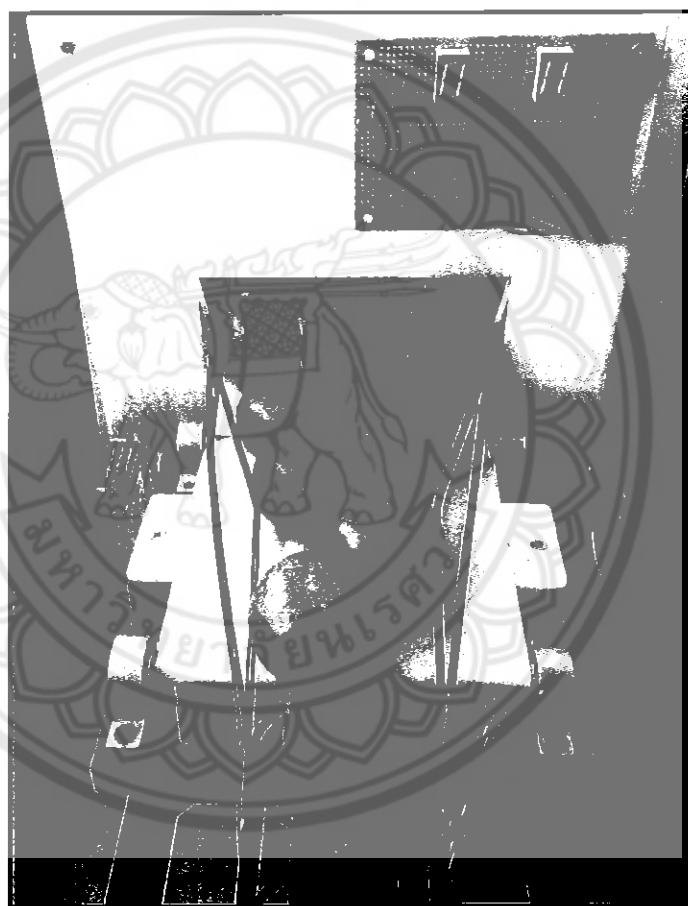


รูปที่ 4.1 การลำเลียงส้มออกจากถาด

จากการทดสอบพบว่าแบบจำลองสามารถลำเลียงผลสัมฤทธิ์จากภาคใต้พร้อมกันมากที่สุดเป็นจำนวน 3 ผลแม้ว่าในบางครั้งจะเกิดการซ้อนทับกันของผลสัมฤทธิ์ตาม

4.2 การลำเลียงในส่วนสายพาน

ลักษณะการลำเลียงสัมฤทธิ์ในส่วนสายพานแสดงในรูปที่ 4.2 โดยทำการทดสอบปล่อยให้สัมฤทธิ์ลำเลียงอย่างต่อเนื่องของภาคใต้ได้สัม

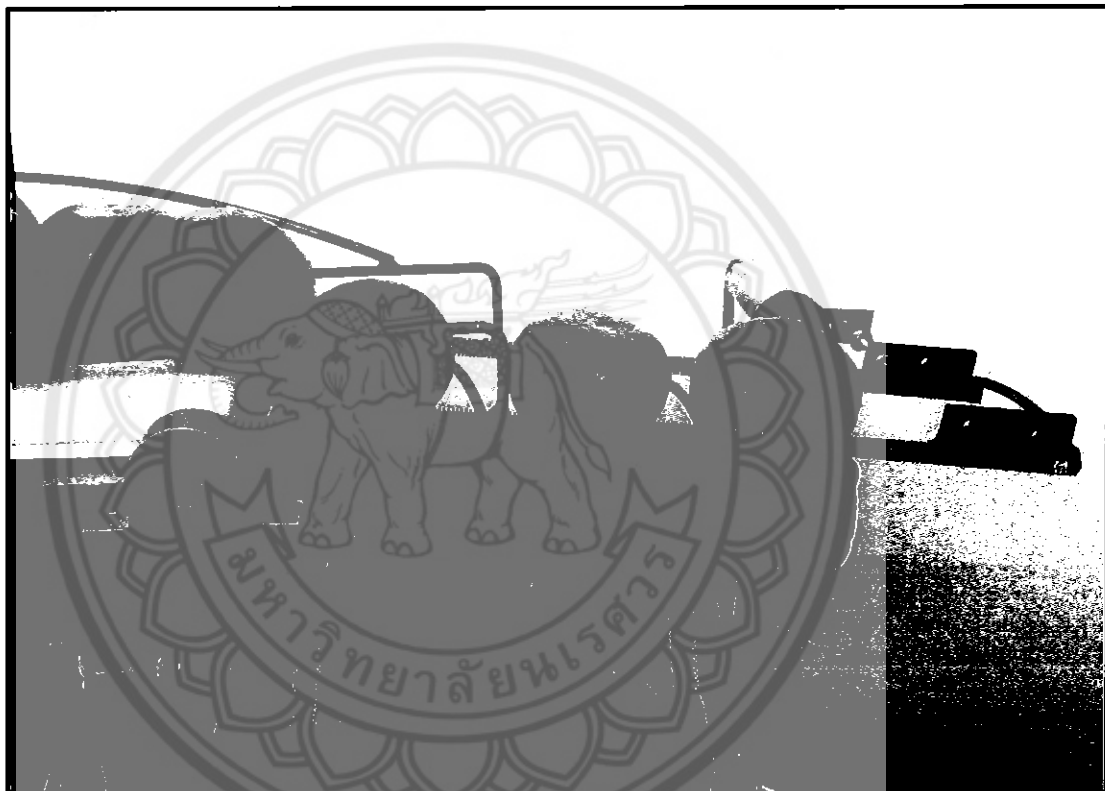


รูปที่ 4.2 การลำเลียงสัมฤทธิ์ในส่วนสายพาน

จากการทดสอบพบว่า แม้เมื่อสัมฤทธิ์สายพานพร้อมกัน แต่เดนเลสเส้นช่องถูกสร้างเป็นรากน้ำในบริเวณนี้จะทำหน้าที่ควบคุมทิศทางและจำกัดจำนวนผลสัมฤทธิ์ที่จะเคลื่อนที่ต่อไปบนสายพาน รวมทั้งการหมุนของสายพานช่องช่วยให้สัมฤทธิ์ที่ต่อไปแบบเรียงตัวทีละผล เข้าไปสู่เกลียวลำเลียง

4.3 การลำเลียงสัมในส่วนเกลี่ยว

ลักษณะการลำเลียงผลสัมบนเกลี่ยวแสดงดังรูปที่ 4.3 การทดสอบในส่วนนี้นักงานจะใช้คุณภาพการเคลื่อนที่ของผลสัมบนเกลี่ยวก่อนหล่นไปสู่กล่องแล้วบังใช้เพื่อคำนวณหาความเร็วในการลำเลียงสัมบนเกลี่ยว จากการทดสอบการลำเลียงสัมจำนวน 10 ผลลงในกล่องโดยทดสอบ 10 ครั้ง พบว่าใช้เวลาเฉลี่ยในการลำเลียง 4.68 s นั่นหมายความว่าระบบจำลองสามารถลำเลียงสัมอย่างต่อเนื่องด้วยอัตรานาทีละ 128 ผล



รูปที่ 4.3 การลำเลียงสัมในส่วนเกลี่ยว

เนื้องจากมอเตอร์เกียร์นี้มีความเร็วรอบพิกัด 50 rpm ซึ่งเชื่อมต่อกับเพื่อง 27 T แล้วขับเคลื่อนเพื่อง 9 T ที่ต่อกับเกลี่ยวลำเลียงสัม ดังนั้นในขณะที่มอเตอร์ (และเพื่อง 27 T) หมุน 1 รอบจะทำให้เพื่อง 9 T หมุน 3 รอบ (ซึ่งสอดคล้องกับการลำเลียงสัมได้ 3 ผล) และคงว่าระบบจำลองการลำเลียงสัมได้นาทีละ 150 ผล อย่างไรก็ตาม การทดสอบแสดงให้เห็นว่าอัตราการลำเลียงสัมบนเกลี่ยมีค่าน้อยลง 14.6% จากค่าที่พิกัด โดยมีสาเหตุมาจากการขับเคลื่อนโดยคลาดเคลื่อน ของ การ เชื่อมต่อ อุปกรณ์

4.4 การทดสอบการทำงานของแบบจำลอง

กรณีที่ 1 เป็นการทดสอบการทำงานในสภาวะปกติ โดยมีการทดสอบ 2 ครั้งซึ่งครั้งแรก ได้กำหนดจำนวนส้มที่ต้องการบรรจุลงในแต่ละกล่องให้มีจำนวน 3 ผล และในครั้งที่สองได้กำหนดให้มี 7 ผล ในแต่ละการทดสอบเมื่อทดสอบวิธีเพื่อเปรียบเทียบขั้นเคลื่อนแล้ว น้อยเตอร์ตัวที่ 1 จะลำเลียงกล่องมาจนกระทั้งตัดคำถ่ายของตัวรับรู้ตัวที่ 1 พีแอลซีจึงส่งให้มอเตอร์ตัวที่ 1 หยุดทำงาน พร้อมกับสั่งให้มอเตอร์ตัวที่ 2 และ 3 เริ่มลำเลียงส้มลงกล่อง โดยในขณะที่ส้มตัดผ่านพื้นคำถ่าย ของตัวรับรู้ตัวที่ 2 นั้นส่วนแสดงผลชุดที่ 2 จะแสดงค่าตัวเลข (จำนวนส้ม) เพิ่มขึ้นอีกหนึ่ง หลังจาก ลำเลียงส้มลงกล่องครบตามจำนวนที่กำหนดแล้วพีแอลซีสั่งให้มอเตอร์ตัวที่ 2 และ 3 หยุดทำงาน พร้อมกับสั่งให้มอเตอร์ตัวที่ 1 ทำงานเพื่อลำเลียงกล่องที่บรรจุส้มครบแล้วไปยังส่วนต่อไป หลังจากที่กล่องเคลื่อนที่พ้นคำถ่ายของตัวรับรู้ตัวที่ 1 แล้วส่วนแสดงผลชุดที่ 1 จะแสดงค่าตัวเลข (จำนวนกล่อง) เพิ่มขึ้นอีกหนึ่ง จนกระทั่งมีกล่องใบใหม่เคลื่อนที่มาตัดผ่านตัวรับรู้ตัวที่ 1 จึงเกิดกระบวนการลำเลียงส้มตามขั้นตอนดังกล่าวข้างต้นขึ้นอีกครั้ง

กรณีที่ 2 เป็นการทดสอบการทำงานเมื่อมีมิกล่องบนโซ่ลำเลียงเลบ โดยตั้งค่าของตัวตั้งเวลาไว้ที่ 10 s ซึ่งหมายความว่าหากไม่มีกล่องหรือส้มเคลื่อนที่ผ่านคำถ่ายของตัวรับรู้พีแอลซีจะสั่งให้มอเตอร์ทั้งสามตัวหยุดทำงาน เมื่อเริ่มการทดสอบด้วยการทดสอบวิธีเพื่อเปรียบเทียบขั้นเคลื่อนแล้ว น้อยเตอร์ตัวที่ 1 หมุนโซ่ลำเลียงที่ไม่มีกล่องวางอยู่เลย หลังจากนั้นประมาณ 10 s พีแอลซีจึงสั่งให้มอเตอร์ตัวที่ 1 หยุดทำงานแม้จะมีส้มอยู่ในถังก็ตาม เมื่อจากมอเตอร์ในส่วนลำเลียงส้มจะเริ่มทำงานหลังจากกล่องเคลื่อนที่ตัดคำถ่ายของตัวรับรู้ตัวที่ 1 เสียก่อน ดังนั้นถ้านำกล่องมาวางบนโซ่ลำเลียงแล้วต้องการให้ระบบเริ่มทำงานอีกครั้งต้องกดปุ่มสวิตช์แล้วเปิดใหม่

กรณีที่ 3 เป็นการทดสอบการทำงานเมื่อมีส้มในถังเลบ โดยยังคงตั้งค่าของตัวตั้งเวลาไว้ที่ 10 s เช่นเดิม เมื่อเริ่มการทดสอบด้วยการทดสอบวิธีเพื่อเปรียบเทียบขั้นเคลื่อนแล้ว น้อยเตอร์ตัวที่ 1 ลำเลียงกล่องมาตัดคำถ่ายตัวรับรู้ตัวที่ 1 พีแอลซีสั่งให้มอเตอร์ตัวที่ 1 หยุดทำงาน พร้อมทั้งสั่งให้มอเตอร์ตัวที่ 2 และ 3 เริ่มลำเลียงส้มลงกล่อง แต่เนื่องจากไม่มีส้มเคลื่อนที่ตัดผ่านตัวรับรู้ตัวที่ 2 เป็นระยะเวลาประมาณ 10 s พีแอลซีจึงสั่งให้มอเตอร์ตัวที่ 2 และ 3 หยุดทำงานถึงแม้จะมีกล่องวางรออยู่ก็ตาม ถ้านำส้มมาใส่ในถังแล้วต้องการให้ระบบทำงานต่อต้องกดปุ่มสวิตช์แล้วเปิดใหม่จึงจะทำให้ระบบเริ่มทำงานต่ออีกครั้ง

กรณีที่ 4 เป็นการทดสอบการทำงานเมื่อกล่องบนกระหะงบรรจุ โดยยังคงตั้งค่าของตัวตั้งเวลาไว้ที่ 10 s เช่นเดิม ขั้นตอนการทำงานของระบบจะเป็นไปตามเหตุการณ์ที่เกิดขึ้นในกรณีที่ 1 โดยส่วนแสดงผลชุดที่ 1 จะแสดงค่าตัวเลข (จำนวนกล่อง) เพิ่มขึ้นทุกครั้งหลังจากที่แต่ละกล่องเคลื่อนที่พ้นตัวรับรู้ตัวที่ 1 จนกระทั่งไม่เหลือกล่องบนโซ่ลำเลียง (ในขณะที่ยังมีส้มเหลืออยู่ในถัง) น้อยเตอร์ตัวที่ 1 จะยังคงทำงานต่อไปจนครบ 10 s พีแอลซีจึงสั่งให้มอเตอร์ตัวที่ 1 หยุดทำงาน โดย

ในขณะนี้ส่วนแสดงผลชุดที่ 1 ยังคงแสดงเลขจำนวนก่อต่องล่าสุดอยู่ หลังจากนำกล่องมาวางเพิ่มแล้วต้องการให้ระบบทำงานต่อต้องกดปีดสวิตช์แล้วปีดใหม่จึงจะทำให้ระบบเริ่มทำงานต่ออีกรั้ง กรณีที่ 5 เป็นการทดสอบการทำงานเมื่อสัมมูลระหว่างบรรจุ โดยยังคงคงค่าของตัวตั้งเวลาไว้ที่ 10 s เช่นเดิม ขั้นตอนการทำงานของระบบจะเป็นไปตามเหตุการณ์ที่เกิดขึ้นในกรณีที่ 1 โดยส่วนแสดงผลชุดที่ 1 จะแสดงค่าตัวเลข (จำนวนก่อต่อง) เพิ่มขึ้นทุกครั้งหลังจากที่แต่ละกล่องเคลื่อนที่พื้นที่ตัวรับรู้ตัวที่ 1 จนกระทั่งสัมมูลในลังหมดแต่จำนวนผลสัมมูลนี้ไม่ถูกตามจำนวนที่ต้องการ ในขณะนี้ส่วนแสดงผลชุดที่ 1 แสดงค่าตัวเลขจำนวนก่อต่องที่บรรจุสัมมูลตามจำนวนที่ต้องการและกล่องถูกคำนวณไปข้างส่วนต่อไปแล้ว ในขณะที่ส่วนแสดงผลชุดที่ 2 ยังคงแสดงค่าตัวเลขจำนวนสัมมูลที่บรรจุอยู่ในกล่องปัจจุบัน (ยังไม่ครบตามจำนวนที่ต้องการ) ในระหว่างนี้มอเตอร์ตัวที่ 2 และ 3 ยังคงทำงานต่อไปจนกระทั่งครบ 10 s พีแอลซีจึงสั่งให้มอเตอร์หันสองหยุดทำงาน โดยตัวเลขของส่วนแสดงผลทั้งสองชุดจะบังมีค่าคงเดินอยู่ หลังจากนั้นถ้านำสัมมูลใส่เพิ่มในถังแล้วต้องการให้ระบบทำงานต่อต้องกดปีดสวิตช์แล้วปีดใหม่ เมื่อมีสัมมูลถูกคำนวณมาและตัดพื้นสำแสงของตัวรับรู้ตัวที่ 2 (ภายใน 10 s) ตัวเลขของส่วนแสดงผลชุดที่ 2 จึงเพิ่มขึ้นอีกหนึ่งชั้นแสดงการนับจำนวนผลสัมมูลต่างจากค่าตัวเลขเดิมนั่นเอง

บทที่ 5

สรุปผลและข้อเสนอแนะ

5.1 สรุปผลการดำเนินงาน

ในโครงการนี้ได้นำพีแออลซีนาระบุกต์ใช้ในการควบคุมการลำเลียงและบรรจุสัมภาระในกล่องเพื่ออำนวยความสะดวกและเพิ่มความแม่นยำในการบรรจุ โดยได้ออกแบบและสร้างแบบจำลองของระบบบรรจุสัมภาระที่มีขนาดเส้นผ่าศูนย์กลาง 3-5 cm เพื่อใช้นำเสนอหลักการควบคุมที่พัฒนาขึ้น แบบจำลองประกอบด้วยส่วนลำเลียงกล่องและส่วนลำเลียงสัมภาระ ส่วนลำเลียงกล่องนี้หน้าที่เคลื่อนย้ายกล่องมาบังคับให้สอดคล้องกับการบรรจุสัมภาระและแสดงตัวเลขจำนวนกล่องที่บรรจุสัมภาระตามจำนวนที่กำหนด รวมทั้งเคลื่อนย้ายกล่องออกไปยังพร้อมกับเคลื่อนย้ายกล่องในตัวไปเข้ามาแทนที่โดยมีตัวรับรู้แบบใช้แสง (ตัวที่ 1) ทำหน้าที่ตรวจจับและส่งสัญญาณให้พีแออลซีใช้ควบคุมการขับเคลื่อนมอเตอร์เกียร์ (ตัวที่ 1) ในขณะที่ส่วนลำเลียงสัมภาระหน้าที่เคลื่อนย้ายผลิตภัณฑ์จากถังใส่สัมภาระให้ส่วนลำเลียงลงกล่อง โดยบรรจุจำนวนผลิตภัณฑ์ให้เท่ากันในแต่ละกล่อง ในที่นี้ส่วนลำเลียงสัมภาระเป็นแบบตัวรับรู้แบบใช้แสง (ตัวที่ 2) ที่จะส่งสัญญาณให้เกิดความแม่นยำในการนับจำนวน ตัวรับรู้นี้ส่งสัญญาณให้พีแออลซีใช้ควบคุมการขับเคลื่อนมอเตอร์เกียร์ (ตัวที่ 2 และ 3) การแสดงตัวเลขจำนวนกล่องและสัมภาระในแบบจำลองนี้ใช้ส่วนแสดงผลเจ็ตส่วนซึ่งรับสัญญาณโดยตรงมาจากตัวรับรู้แบบใช้แสง ผลการทดสอบแสดงให้เห็นว่าแบบจำลองสามารถลำเลียงสัมภาระได้ต่อเนื่องในอัตรา 128 ผลต่อนาที การควบคุมโดยพีแออลซีช่วยให้สามารถปรับแก้โปรแกรมได้สะดวกเพื่อกำหนดจำนวนผลิตภัณฑ์ที่ต้องการบรรจุลงในแต่ละกล่องรวมถึงการตั้งเวลาสำหรับช่วงที่ไม่มีวัตถุตัดผ่านตัวรับรู้เพื่อใช้หยุดการขับเคลื่อนมอเตอร์ในระบบ

5.2 ปัญหาและแนวทางการแก้ไข

- 1) เกิดแรงเฉือนของมอเตอร์เกียร์ขณะหยุดหมุน ทำให้บางครั้งสัมภาระที่ลำเลียงอยู่บนเกลียวถูกบรรจุลงกล่องเกินกว่าจำนวนที่ต้องการ แนวทางการแก้ปัญหานี้คือการติดตั้งตัวรับรู้โดยปรับตำแหน่งให้สัมพันธ์กับระบบการหมุนเกินรอบซึ่งเกิดจากแรงเฉือน
- 2) เนื่องจากแบบจำลองถูกออกแบบให้ใช้ลำเลียงสัมภาระที่มีขนาดเส้นผ่าศูนย์กลาง 3-5 cm ถ้าสัมภาระมีขนาดเล็กกว่า 3 cm จะหล่นออกเส้นทางลำเลียง หรือถูกลำเลียงไปบนสายพานและเกลียวได้ทีละ 2 ผลทำให้เกิดความผิดพลาดในการนับ ถ้าสัมภาระมีขนาด

ใหญ่กว่า 5 cm จะทำให้สัมติดที่ส่วนปลายเกลียว ดังนั้นหากต้องการใช้งานกับสัมขนาดที่แตกต่างจากค่าที่ออกแบบ จำเป็นต้องปรับขนาดโครงสร้างในส่วนสายพาน และเกลียวสำหรับรับขนาดของสัมที่ต้องการ

- 3) เมื่อจากในโครงงานนี้ใช้สำหรับเกลียวกล่อง โดยมีเหตุผลในการประหัดค่าใช้จ่ายในการสร้าง จึงทำให้ฐานกล่องสกปรกบ้าง การเปลี่ยนไปใช้สายพานสำหรับเกลียวแทน ให้สามารถแก้ปัญหาดังกล่าวได้ แต่จะส่งผลต่อค่าใช้จ่ายที่เพิ่มขึ้นตามมา
- 4) เมื่อจากจากสัมที่ใช้ในการทดสอบมีขนาดไม่เท่ากันทุกผล และมีรูปทรงที่ไม่กลม นั้น จึงต้องมีความละเอียดรอบคอบในการติดตั้งจะช่วยลดความสูงของตัวรับรู้เพื่อให้สามารถตรวจจับสัมได้โดยไม่ให้ล้าแสงของตัวรับรู้ตัดโคนเกลียว
- 5) เมื่อจากหน้าสัมผัสของรีเลย์ภายในชุดทดลอง ET-BOARD V 5.0 ทำงานโดยได้รับ อินพุตlogic 0 และให้อาทีพุตlogic 1 เท่านั้น จึงมีข้อจำกัดในการเลือกชนิดของ อุปกรณ์ที่เหมาะสมสำหรับต่อ กับพอร์ตอินพุตและอาทีพุต โดยบางครั้งจำเป็นต้องต่อ ร่วมกับรีเลย์ภายนอกเพื่อเปลี่ยนล็อกจิกให้สอดคล้องกับอุปกรณ์ที่นำมาต่อ กับชุดทดลองดังกล่าว

5.3 แนวทางในการพัฒนาต่อไป

จากหลักการและแบบจำลองระบบบรรจุสัม โดยใช้พีเอลซีที่สร้างขึ้นสามารถนำไป ประยุกต์ใช้กับกระบวนการบรรจุสินค้าอื่นที่มีลักษณะและขนาดใกล้เคียงกัน ได้ ในการประยุกต์ใช้ งานบรรจุสินค้าหรือวัตถุที่มีเส้นผ่าศูนย์กลางน้อยกว่าหรือมากกว่าที่ออกแบบในโครงงานนี้ เรา สามารถออกแบบเพื่อปรับขนาดของโครงสร้างให้สามารถรองรับได้โดยใช้รูปแบบเดียวกันนี้ได้ หากต้องการหลีกเลี่ยงปัญหาที่เกิดจากแรงเฉือนของมอเตอร์เกียร์จะมีผลบุคคล หมายความว่า สามารถเลือกใช้ มอเตอร์ที่ไม่มีแรงเฉือน เช่น มอเตอร์แบบขั้น (Stepping motor) นอกจากนี้หลักการทำงานของ ตัวรับรู้แบบใช้แสงและส่วนแสดงผลสามารถนำไปประยุกต์ใช้เพื่อตรวจจับและแสดงจำนวนวัตถุ ในกระบวนการอื่นได้

เอกสารอ้างอิง

- [1] บรรทัด ตันชีวะวงศ์. ระบบ PLC (Programmable Logic Control). กรุงเทพฯ: สำนักพิมพ์ ส.ส.ท. 2541.
- [2] ปุนพัท จารยาภิสัณห์, รุนิศร์ สมฤทธิ์. “การควบคุมสัญญาณไฟแรงดันคงที่โดยใช้ตัวตรวจจับแบบวงจรอนเหนี่ยวนำ.” ปริญญาบัณฑิตวิศวกรรมศาสตรบัณฑิต สาขาวิชา วิศวกรรมไฟฟ้า, มหาวิทยาลัยเกรียง. 2553.
- [3] พัชพล พันธุ์บัว, วนัส สุขเกษม และโอมร นันทนพินูล. “การควบคุมการทำงานของลิฟต์โดยใช้พีเอลซี.” ปริญญาบัณฑิตวิศวกรรมศาสตรบัณฑิต สาขาวิชา วิศวกรรมไฟฟ้า, มหาวิทยาลัย แม่ฟ้า. 2543.
- [4] อุษิช พาดี, ธนากร ปันชางค์ และเอกสิทธิ์ เชื้อวงศ์. “แบบจำลองระบบการทำงานของ โรงงานน้ำแข็งด้วยพีเอลซี.” ปริญญาบัณฑิตวิศวกรรมศาสตรบัณฑิต สาขาวิชา วิศวกรรมไฟฟ้า, มหาวิทยาลัยเกรียง. 2549.
- [5] บริษัท อีทีที จำกัด. ET-BOARD V5.0 USER'S MANUAL PLC & BASIC 180. กรุงเทพฯ: สำนักพิมพ์อีทีที.
- [6] ธนากร ทاجันทร์, นพพล ปรีภาภรณ์ และสมคิด ไชยวังศ์. “การควบคุมระบบลิฟต์ด้วย พีเอลซี.” ปริญญาบัณฑิตวิศวกรรมศาสตรบัณฑิต สาขาวิชา วิศวกรรมไฟฟ้า, มหาวิทยาลัย แม่ฟ้า. 2546.
- [7] สถาบันเทคโนโลยีราชมงคล, จาก <http://www.rmutphysics.com>, สืบค้นเมื่อ 10 ตุลาคม 2555
- [8] บริษัท เมเชอร์ไทรนิกซ์ จำกัด, จาก <http://www.9engineer.com>, สืบค้นเมื่อ 10 ตุลาคม 2555
- [9] ทีมงานสมาร์ทเดรินนิ่ง. “เซนเซอร์ ทรานสดิวเซอร์และการใช้งาน.” กรุงเทพฯ: สำนักพิมพ์ ห้างหุ้นส่วนสามัญสมาร์ทเดรินนิ่ง. 2552.
- [10] อนุชา หริัญวัฒน์, นฤพน์ พนาฤกษ์บวิทัย และสมชัย ศรีรัตนารู. “การควบคุมอัตโนมัติและการประยุกต์ใช้พีเอลซี.” นนทบุรี: สำนักพิมพ์ธนินชั้ด. 2551.
- [11] วิทยาลัยเทคนิคลำพูน, จาก <http://elec.ltc.ac.th>, สืบค้นเมื่อ 10 ตุลาคม 2555

ภาคผนวก ก

รายละเอียดข้อมูลของทรานซิสเตอร์หมายเลข 2N3055



**2N3055
MJ2955**

COMPLEMENTARY SILICON POWER TRANSISTORS

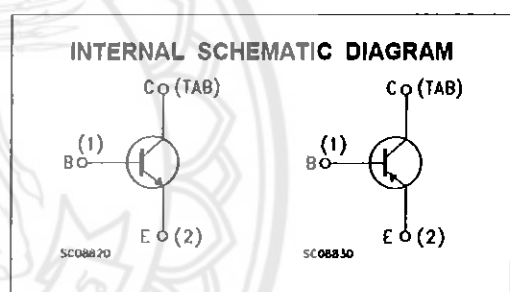
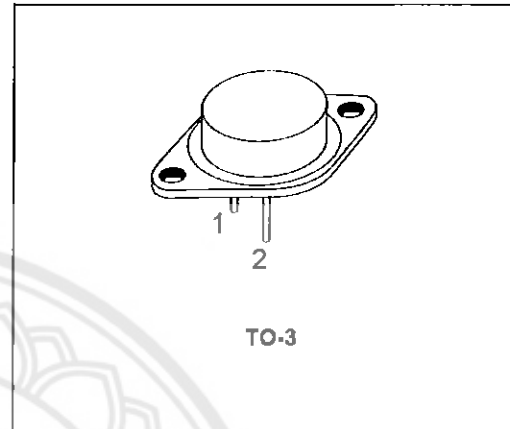
- STMicroelectronics PREFERRED SALES TYPES
- COMPLEMENTARY NPN-PNP DEVICES

DESCRIPTION

The 2N3055 is a silicon Epitaxial-Base Planar NPN transistor mounted in Jedec TO-3 metal case.

It is intended for power switching circuits, series and shunt regulators, output stages and high fidelity amplifiers.

The complementary PNP type is MJ2955.



ABSOLUTE MAXIMUM RATINGS

| Symbol | Parameter | | | Value | Unit |
|-----------|--|-----|-----|------------|------|
| | | NPN | PNP | | |
| V_{CBO} | Collector-Base Voltage ($I_E = 0$) | | | 100 | V |
| V_{CEV} | Collector-Emitter Voltage ($R_{BE} \leq 1(M\Omega)$) | | | 70 | V |
| V_{CEO} | Collector-Emitter Voltage ($I_B = 0$) | | | 60 | V |
| V_{EBO} | Emitter-Base Voltage ($I_C = 0$) | | | 7 | V |
| I_C | Collector Current | | | 15 | A |
| I_B | Base Current | | | 7 | A |
| P_{tot} | Total Dissipation at $T_c \leq 25^\circ\text{C}$ | | | 115 | W |
| T_{stg} | Storage Temperature | | | -65 to 200 | °C |
| T_J | Max. Operating Junction Temperature | | | 200 | °C |

For PNP types voltage and current values are negative.

2N3055 / MJ2955**THERMAL DATA**

| $R_{thj-case}$ | Thermal Resistance Junction-case | Max | 1.5 | $^{\circ}\text{C}/\text{W}$ |
|----------------|----------------------------------|-----|-----|-----------------------------|
|----------------|----------------------------------|-----|-----|-----------------------------|

ELECTRICAL CHARACTERISTICS ($T_{case} = 25^{\circ}\text{C}$ unless otherwise specified)

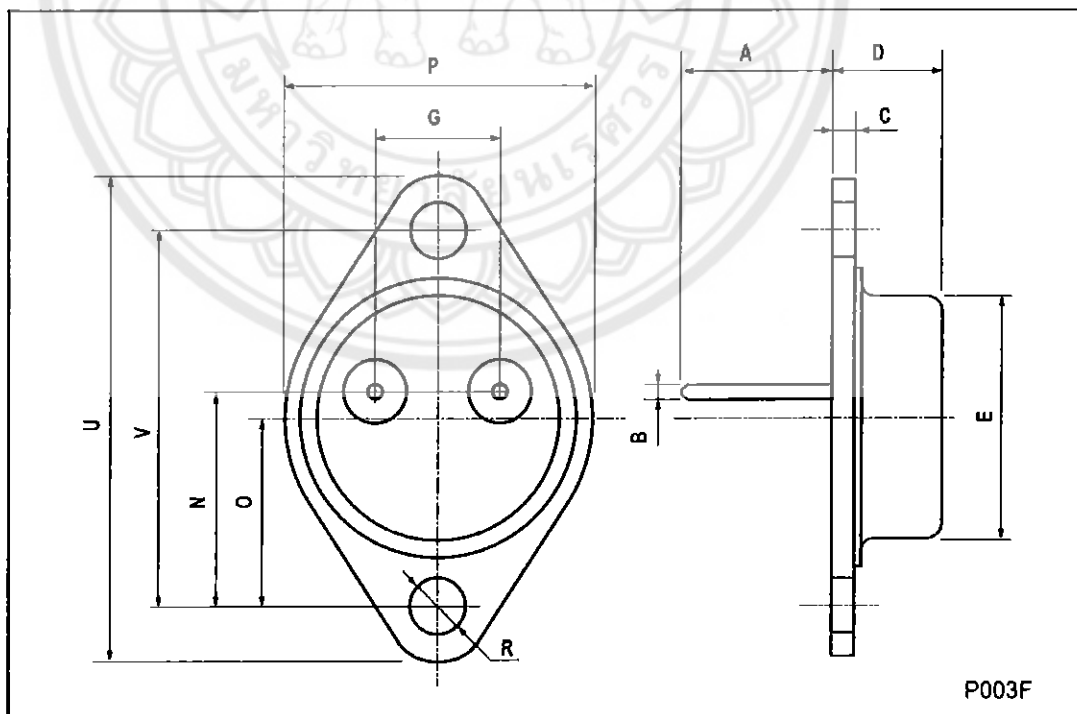
| Symbol | Parameter | Test Conditions | Min. | Typ. | Max. | Unit |
|-----------------|---|---|---------|------|--------|----------------------------|
| I_{CEX} | Collector Cut-off Current ($V_{BE} = -1.5\text{V}$) | $V_{CE} = 100\text{ V}$ $V_{CE} = 100\text{ V} \quad T_j = 150^{\circ}\text{C}$ | | | 1 5 | mA mA |
| I_{CEO} | Collector Cut-off Current ($I_B = 0$) | $V_{CE} = 30\text{ V}$ | | | 0.7 | mA |
| I_{EBO} | Emitter Cut-off Current ($I_C = 0$) | $V_{EB} = 7\text{ V}$ | | | 5 | mA |
| $V_{CEO(sus)*}$ | Collector-Emitter Sustaining Voltage ($I_B = 0$) | $I_C = 200\text{ mA}$ | 60 | | | V |
| $V_{CER(sus)*}$ | Collector-Emitter Sustaining Voltage ($R_{BE} = 100\text{ }\Omega$) | $I_C = 200\text{ mA}$ | 70 | | | V |
| $V_{CE(sat)*}$ | Collector-Emitter Saturation Voltage | $I_C = 4\text{ A} \quad I_B = 400\text{ mA}$ $I_C = 10\text{ A} \quad I_B = 3.3\text{ A}$ | | | 1 3 | V V |
| V_{BE*} | Base-Emitter Voltage | $I_C = 4\text{ A} \quad V_{CE} = 4\text{ A}$ | | | 1.8 | V |
| h_{FE*} | DC Current Gain | $I_C = 4\text{ A} \quad V_{CE} = 4\text{ A}$ $I_C = 10\text{ A} \quad V_{CE} = 4\text{ A}$ | 20 5 | | 70 | |
| f_T | Transition frequency | $I_C = 0.5\text{ A} \quad V_{CE} = 10\text{ V}$ | 3 | | | MHz |
| $I_{s/b*}$ | Second Breakdown Collector Current | $V_{CE} = 40\text{ V}$ | 2.87 | | | A |

* Pulsed: Pulse duration = 300 μs , duty cycle 1.5 %
 For PNP types voltage and current values are negative.

2N3055 / MJ2955

TO-3 MECHANICAL DATA

| DIM. | mm | | | Inch | | |
|------|-------|------|-------|-------|------|-------|
| | MIN. | TYP. | MAX. | MIN. | TYP. | MAX. |
| A | 11.00 | | 13.10 | 0.433 | | 0.516 |
| B | 0.97 | | 1.15 | 0.038 | | 0.045 |
| C | 1.50 | | 1.65 | 0.059 | | 0.065 |
| D | 8.32 | | 8.92 | 0.327 | | 0.351 |
| E | 19.00 | | 20.00 | 0.748 | | 0.787 |
| G | 10.70 | | 11.10 | 0.421 | | 0.437 |
| N | 16.50 | | 17.20 | 0.649 | | 0.677 |
| P | 25.00 | | 26.00 | 0.984 | | 1.023 |
| R | 4.00 | | 4.09 | 0.157 | | 0.161 |
| U | 38.50 | | 39.30 | 1.515 | | 1.547 |
| V | 30.00 | | 30.30 | 1.187 | | 1.193 |



ภาคผนวก ข

รายละเอียดข้อมูลของรีเลย์กำลังหมายเลข HRS4(H)

มหาวิทยาลัยพะเยา

HRS4(H) Relay

1.COIL DATA

| | |
|-------------------------------|------------------|
| 1-1.Nominal Voltage | 3 VDC to 48 VDC |
| 1-2.Coil Resistance | Refer to Table 1 |
| 1-3.Operate Voltage | Refer to Table 1 |
| 1-4.Release Voltage | Refer to Table 1 |
| 1-5.Nominal Power Consumption | 360 to 450 mW |

HK
HRS4-S10
COIL DC48V
10A 120VAC
24VDC



HRS4(H) Relay

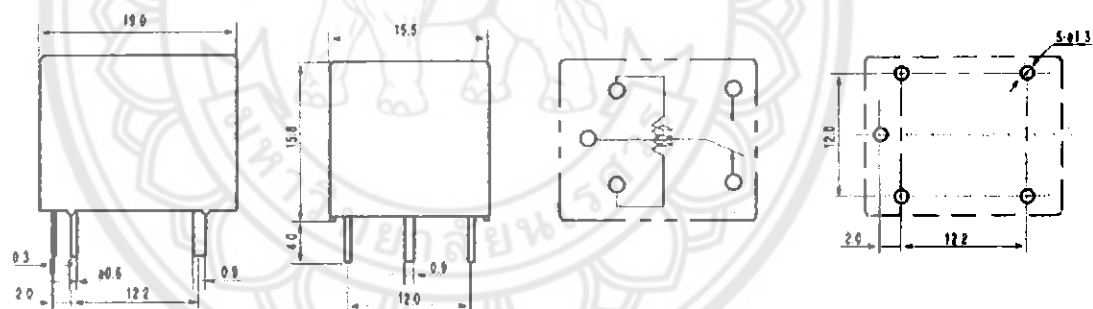
2.CONTACT DATA

| | |
|------------------------------------|---|
| 2-1.Contact Arrangement | 1 Form A , 1 Form C |
| 2-2.Contact Material | AgCdO |
| 2-3.Contact Rating | 10A 120VAC / 24 VDC (1C) 15A 120VAC / 24 VDC (1A) |
| 2-4.Max. Switching Voltage | 110 VDC / 240 VAC |
| 2-5.Max. Switching Current | 15A |
| 2-6.Max. Switching Power | 1800 VA , 360W |
| 2-7.Contact Resistance (Initial) | 50 mΩ, at 6 VDC 1A |
| 2-8.Life Expectancy | Electrical Mechanical |
| | 100,000 operations at nominal load 10,000,000 operations |

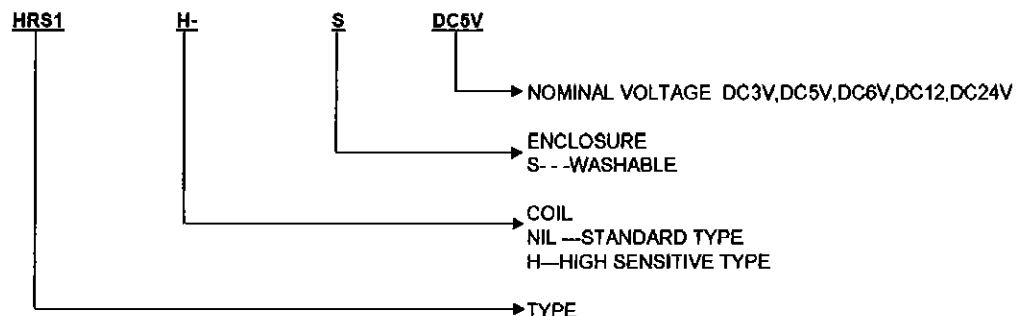
3.GENERAL DATA

| | |
|---------------------------|--|
| 3-1.Insulation Resistance | Min.100MΩ, at 500 VDC |
| 3-2.Dielectric Strength | 750VAC , 1min between open contacts 1,500VAC , 1min between contacts and coil |
| 3-3.Operate Time | Max. 8ms |
| 3-4.Release Time | Max. 5ms |
| 3-5.Temperature Range | -30 to +85 °C |
| 3-6.Shock Resistance | 10G |
| 3-7.Vibration Resistance | 10 - 55 Hz , Amplitude 1.5mm |
| 3-8.Weight | 10 gr. |
| 3-9.Safety Standard | UL NO. E164730 |

4.DIMENSIONS (In mm)



5. ORDERING CODE

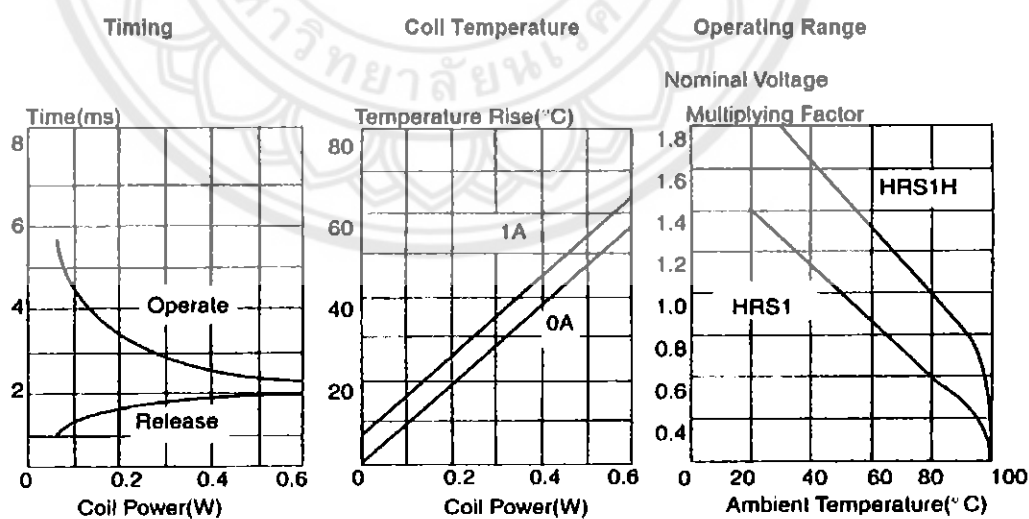


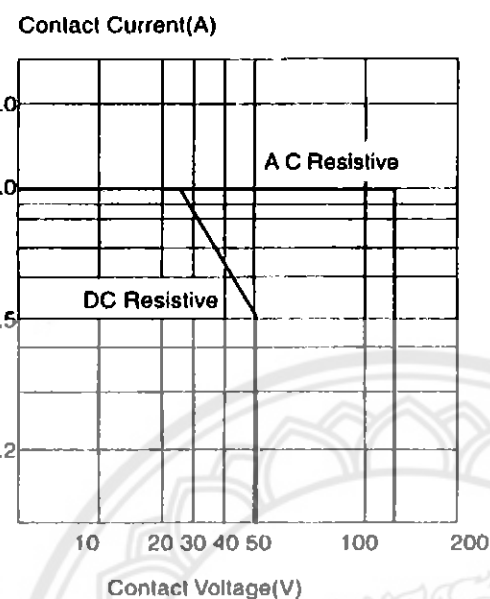
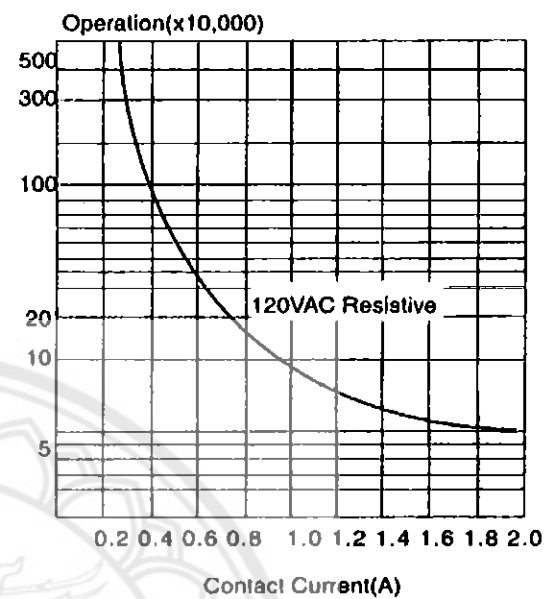
6. COIL DATA CHART

| ORDERING CODE | COIL NOMINAL VDC | COIL RESISTANCE +/-10% | OPERATE VOLTAGE VDC | RELEASE VOLTAGE VDC | COIL NOMINAL mW |
|---------------|------------------|------------------------|---------------------|---------------------|-----------------|
| HRS1-S DC3V | 3 | 25 | 2.25 | 0.30 | 360 |
| HRS1-S DC5V | 5 | 70 | 3.75 | 0.50 | |
| HRS1-S DC6V | 6 | 100 | 4.50 | 0.60 | |
| HRS1-S DC9V | 9 | 220 | 6.75 | 0.90 | |
| HRS1-S DC12V | 12 | 400 | 9.00 | 1.20 | |
| HRS1-S DC24V | 24 | 1600 | 18.00 | 2.40 | |
| HRS1H-S DC3V | 3 | 45 | 2.25 | 0.30 | 200 |
| HRS1H-S DC5V | 5 | 120 | 3.75 | 0.50 | |
| HRS1H-S DC6V | 6 | 180 | 4.50 | 0.60 | |
| HRS1H-S DC9V | 9 | 400 | 6.75 | 0.90 | |
| HRS1H-S DC12V | 12 | 700 | 9.00 | 1.20 | |
| HRS1H-S DC24V | 24 | 2800 | 18.00 | 2.40 | |

Table 1

7. HRS1(H) CHARACTERISTIC DATA



Maximum Switching Power**Life Curve**



ภาคนวนค์
รายละเอียดข้อมูลของป้อซีตัวนับหมายเลขอ 4026B



Data sheet acquired from Harris Semiconductor
SCHS031B - Revised July 2003

CMOS Decade Counters/Dividers

High-Voltage Types (20-Volt Rating)
With Decoded 7-Segment Display Outputs and:
Display Enable — CD4026B
Ripple Blanking — CD4033B

■ CD4026B and CD4033B each consist of a 6-stage Johnson decade counter and an output decoder which converts the Johnson code to a 7-segment decoded output for driving one stage in a numerical display.

These devices are particularly advantageous in display applications where low power dissipation and/or low package count are important.

Inputs common to both types are CLOCK, RESET, & CLOCK INHIBIT; common outputs are CARRY OUT and the seven decoded outputs (a, b, c, d, e, f, g). Additional inputs and outputs for the CD4026B include DISPLAY ENABLE input and DISPLAY ENABLE and UNGATED "C-SEGMENT" outputs. Signals peculiar to the CD4033B are RIPPLE-BLANKING INPUT AND LAMP TEST INPUT and a RIPPLE-BLANKING OUTPUT.

A high RESET signal clears the decade counter to its zero count. The counter is advanced one count at the positive clock signal transition if the CLOCK INHIBIT signal is low. Counter advancement via the clock line is inhibited when the CLOCK INHIBIT signal is high. The CLOCK INHIBIT signal can be used as a negative-edge clock if the clock line is held high. Antilog gating is provided on the JOHNSON counter, thus assuring proper counting sequence. The CARRY-OUT (C_{out}) signal completes one cycle every ten CLOCK INPUT cycles and is used to clock the succeeding decade directly in a multi-decade counting chain. The seven decoded outputs (a, b, c, d, e, f, g) illuminate the proper segments in a seven

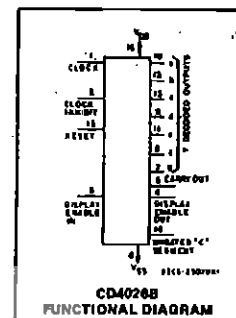
Features:

- Counter and 7-segment decoding in one package
- Easily interfaced with 7-segment display types
- Fully static counter operation: DC to 8 MHz (typ.) at $V_{DD}=10$ V
- Ideal for low-power displays
- Display enable output (CD4026B)
- "Ripple blanking" and lamp test (CD4033B)
- 100% tested for quiescent current at 20 V
- Standardized, symmetrical output characteristics
- 5-V, 10-V, and 15-V parametric ratings
- Schmitt-triggered clock inputs
- Meets all requirements of JEDEC Tentative Standard No. 138, "Standard Specifications for Description of 'B' Series CMOS Devices"

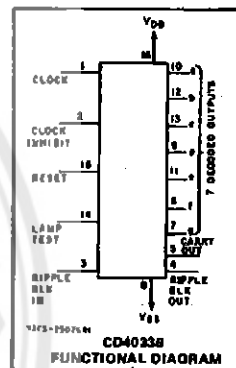
Applications

- Decade counting 7-segment decimal display
- Frequency division 7-segment decimal display
- Clocks, watches, timers (e.g., ± 80 , $\div 60$, $\div 12$ counter/display)
- Counter/display driver for meter applications

CD4026B, CD4033B Types



CD4026B
FUNCTIONAL DIAGRAM

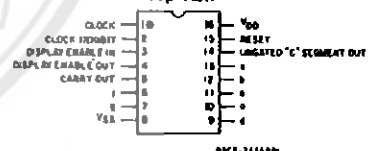


CD4033B
FUNCTIONAL DIAGRAM

segment display device used for representing the decimal numbers 0 to 9. The 7-segment outputs go high on selection in the CD4033B; in the CD4026B, these outputs go high only when the DISPLAY ENABLE IN is high.

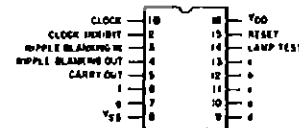
TERMINAL DIAGRAMS

Top View



CD4026B

Top View



CD4033B

MAXIMUM RATINGS, Absolute-Maximum Values:

| | |
|--|--|
| DC SUPPLY-VOLTAGE RANGE, (V_{DD}) Voltage referenced to V_{SS} Terminal | -0.5V to +20V |
| INPUT VOLTAGE RANGE, ALL INPUTS | -0.5V to V_{DD} +0.5V |
| DC INPUT CURRENT, ANY ONE INPUT | ± 10 mA |
| POWER DISSIPATION PER PACKAGE (P_D) | |
| For $T_A = -55^\circ\text{C}$ to $+100^\circ\text{C}$ | 500mW |
| For $T_A = +100^\circ\text{C}$ to $+125^\circ\text{C}$ | Datasheet Limit at 12mW/ $^\circ\text{C}$ to 200mW |
| DEVICE DISSIPATION PER OUTPUT TRANSISTOR | |
| For $T_A = \text{FULL PACKAGE-TEMPERATURE RANGE (All Package Types)}$ | 100mW |
| OPERATING-TEMPERATURE RANGE (T_A) | -55°C to +125°C |
| STORAGE TEMPERATURE RANGE (T_{Stg}) | -65°C to +150°C |
| LEAD TEMPERATURE (DURING SOLDERING): At distance 1/16 ± 1/32 inch (1.59 ± 0.78mm) from case for 10s max | +260°C |

RECOMMENDED OPERATING CONDITIONS

For maximum reliability, nominal operating conditions should be selected so that operation is always within the following ranges:

| CHARACTERISTIC | V _{DD} (V) | LIMITS | | UNITS |
|--|------------------------|--------|-----------|-------|
| | | MIN. | MAX. | |
| Supply-Voltage Range (For T _A = Full Package Temperature Range) | | 3 | 18 | V |
| Clock Input Frequency, f _{CL} | 6 | — | 2.5 | MHz |
| | 10 | — | 5.5 | |
| | 15 | — | 8 | |
| Clock Pulse Width, t _{WCL} | 5 | 220 | — | ns |
| | 10 | 100 | — | |
| | 15 | 80 | — | |
| Clock Rise and Fall Time, t _{CL} -t _{FCL} | 5 | — | Unlimited | |
| | 10 | — | | |
| | 15 | — | | |
| Clock Inhibit Set Up Time, t _{ISU} | 5 | 200 | — | |
| | 10 | 50 | — | |
| | 15 | 30 | — | |
| Reset Pulse Width, t _R | 5 | 200 | — | |
| | 10 | 100 | — | |
| | 15 | 60 | — | |
| Reset Removal Time | 5 | 30 | — | |
| | 10 | 15 | — | |
| | 15 | 10 | — | |

STATIC ELECTRICAL CHARACTERISTICS

| CHARACTERISTIC | CONDITIONS | | | LIMITS AT INDICATED TEMPERATURES (°C) | | | | | | | UNITS |
|--|-----------------------|------------------------|------------------------|---------------------------------------|-------|-------|-------|-------|-------------------|------|-------|
| | V _O (V) | V _{IN} (V) | V _{DD} (V) | -55 | -40 | +65 | +125 | Mn. | Typ. | Max. | |
| Quiescent Device Current, I _{DD} Max. | — | 0.5 | 5 | 6 | 5 | 150 | 150 | — | 0.04 | 5 | μA |
| | — | 0.10 | 10 | 10 | 10 | 300 | 300 | — | 0.04 | 10 | |
| | — | 0.15 | 15 | 20 | 20 | 600 | 600 | — | 0.04 | 20 | |
| | — | 0.20 | 20 | 100 | 100 | 3000 | 3000 | — | 0.08 | 100 | |
| Output Low (Sink) Current, I _{OL} Min. | 0.4 | 0.5 | 5 | 0.64 | 0.61 | 0.42 | 0.38 | 0.61 | 1 | — | mA |
| | 0.6 | 0.10 | 10 | 1.8 | 1.5 | 1.1 | 0.9 | 1.3 | 2.6 | — | |
| | 1.5 | 0.15 | 15 | 4.2 | 4 | 2.8 | 2.4 | 3.4 | 6.8 | — | |
| Output High (Source) Current, I _{OH} Min. | 4.8 | 0.5 | 5 | -0.84 | -0.61 | -0.42 | -0.38 | -0.51 | -1 | — | mA |
| | 2.6 | 0.5 | 5 | -2 | -1.8 | -1.3 | -1.15 | -1.6 | -3.2 | — | |
| | 9.5 | 0.10 | 10 | -1.6 | -1.5 | -1.1 | -0.9 | -1.3 | -2.6 | — | |
| | 13.5 | 0.16 | 15 | -4 | -2.8 | -2.4 | -3.4 | -6.8 | — | — | |
| Output Voltage: Low-Level, V _{OL} Max. | — | 0.5 | 5 | 0.05 | | | | — | 0 | 0.05 | V |
| | — | 0.10 | 10 | 0.06 | | | | — | 0 | 0.06 | |
| | — | 0.15 | 15 | 0.06 | | | | — | 0 | 0.06 | |
| Output Voltage: High-Level, V _{OH} Min. | — | 0.5 | 5 | 4.95 | | | | 4.95 | 6 | — | |
| | — | 0.10 | 10 | 9.95 | | | | 9.95 | 10 | — | |
| | — | 0.16 | 15 | 14.95 | | | | 14.95 | 15 | — | |
| Input Low Voltage, V _{IL} Max. | 0.5, 4.5 | — | 5 | 1.5 | | | | — | — | 1.5 | V |
| | 1.9 | — | 10 | 3 | | | | — | — | 3 | |
| | 1.6, 13.5 | — | 15 | 4 | | | | — | — | 4 | |
| Input High Voltage, V _{IH} Min. | 0.5, 4.5 | — | 5 | 3.6 | | | | 3.6 | — | — | |
| | 1.8 | — | 10 | 7 | | | | 7 | — | — | |
| | 1.5, 13.5 | — | 15 | 11 | | | | 11 | — | — | |
| Input Current I _{IN} Max. | — | 0.18 | 18 | ±0.1 | ±0.1 | ±1 | ±1 | — | ±10 ⁻⁵ | ±0.1 | μA |

CD4026B

When the DISPLAY ENABLE IN is low the seven decoded outputs are forced low regardless of the state of the counter. Activation of the display only when required results in significant power savings. This system also facilitates implementation of display-character multiplexing.

The CARRY OUT and UNGATED "C-SEGMENT" signals are not gated by the DISPLAY ENABLE and therefore are available continuously. This feature is a requirement in implementation of certain divider functions such as divide-by-60 and divide-by-12.

CD4033B

The CD4033B has provisions for automatic blanking of the non-significant zeros in a multi-digit decimal number which results in an easily readable display consistent with normal writing practice. For example, the number 0060.0700 in an eight digit display would be displayed as 60.07. Zero suppression on the integer side is obtained by connecting the R_{B1} terminal of the CD4033B associated with the most significant digit in the display to a low-level voltage and connecting the R_{B0} terminal of that stage to the R_{B1} terminal of the CD4033B in the next-more-significant-bit position. This procedure is continued for each succeeding CD4033B on the integer side of the display.

On the fraction side of the display the R_{B1} of the CD4033B associated with the least significant bit is connected to a low-level voltage and the R_{B0} of that CD4033B is connected to the R_{B1} terminal of the CD4033B in the next-more-significant-bit position. Again, this procedure is continued for all CD4033B's on the fraction side of the display.

In a purely fractional number the zero immediately preceding the decimal point can be displayed by connecting the R_{B1} of that stage to a high level voltage (instead of to the R_{B0} of the next more-significant-stage). For example: optional zero → 0.7348. Likewise, the zero in a number such as 763.0 can be displayed by connecting the R_{B1} of the CD4033B associated with it to a high-level voltage.

Ripple blanking of non-significant zeros provides an appreciable savings in display power.

The CD4033B has a LAMP TEST input which, when connected to a high-level voltage, overrides normal decoder operation and enables a check to be made on possible display malfunctions by putting the seven outputs in the high state.

The CD4026B- and CD4033B-series types are supplied in 16-lead dual-in-line plastic packages (E suffix), 16-lead small-outline packages (NSR suffix), and 16-lead thin shrink small-outline packages (PW and PWR suffixes).

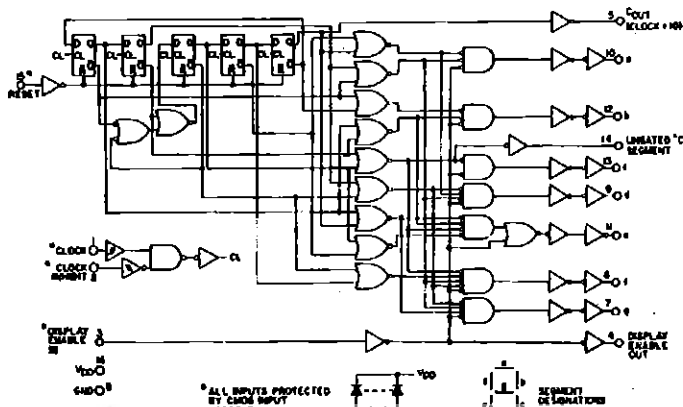


Fig. 1 - CD4026B logic diagram.

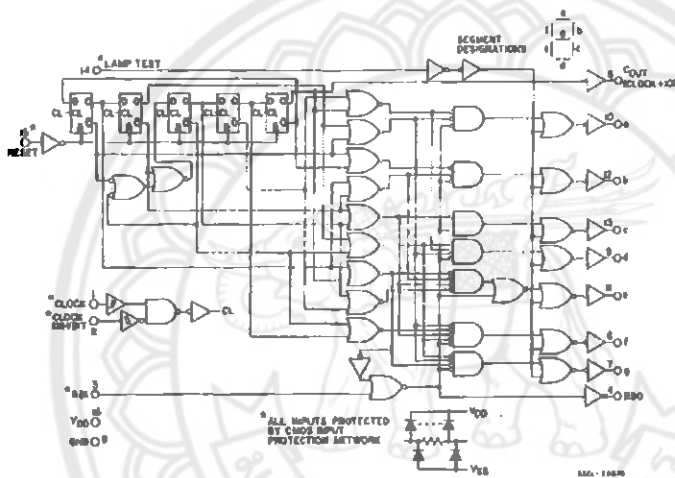


Fig. 2 - CD4033B logic diagram.

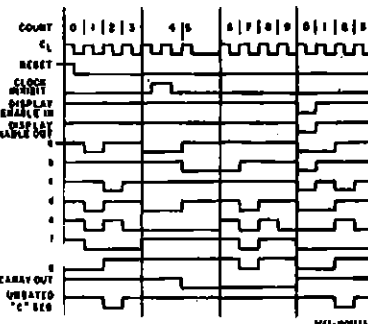


Fig. 3 - CD4026B timing diagram.

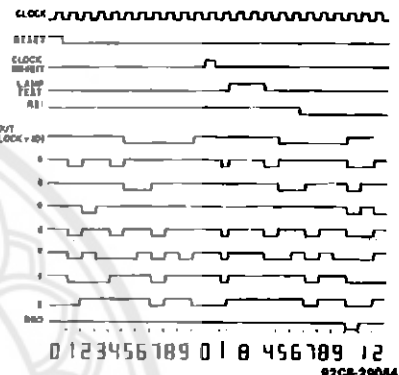


Fig. 4 - CD4033B timing diagram.

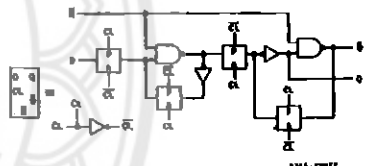


Fig. 5 - Detail of typical flip-flop stage for both types.

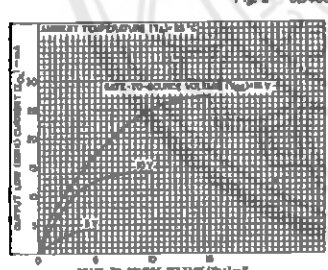


Fig. 6 - Typical n-channel output low (sink) current characteristics.

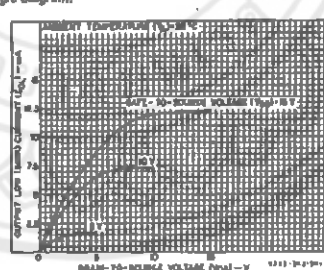


Fig. 7 - Minimum n-channel output low (sink) current characteristics.

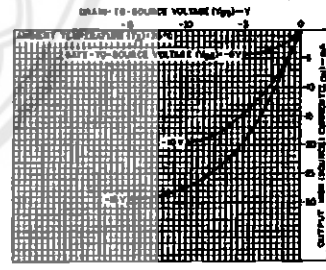


Fig. 8 - Typical p-channel output high (source) current characteristics.

DYNAMIC ELECTRICAL CHARACTERISTICS at $T_A = 25^\circ\text{C}$, Input $t_p, t_f = 20 \text{ ns}$,
 $C_L = 50 \text{ pF}, R_L = 200 \text{ k}\Omega$

| CHARACTERISTIC | TEST CONDITIONS | LIMITS | | | UNITS |
|---|-----------------|---------------------|-----------|------|-------|
| | | V _{DD} (V) | Min. | Typ. | |
| CLOCKED OPERATION | | | | | |
| Propagation Delay Time; t_{PLH}, t_{PHL} Carry-Out Line | | 5 | — | 250 | 500 |
| | | 10 | — | 100 | 200 |
| | | 15 | — | 75 | 150 |
| Decode Outlines | | 5 | — | 350 | 700 |
| | | 10 | — | 125 | 250 |
| | | 15 | — | 90 | 180 |
| Transition Time; t_{THL}, t_{TLH} Carry-Out Line | | 5 | — | 100 | 200 |
| | | 10 | — | 50 | 100 |
| | | 15 | — | 25 | 50 |
| Maximum Clock Input Frequency, f_{CL}^A | | 5 | 2.5 | 5 | — |
| | | 10 | 5.5 | 11 | — |
| | | 15 | 8 | 16 | — |
| Min. Clock Pulse Width, t_W | | 5 | — | 110 | 220 |
| | | 10 | — | 60 | 100 |
| | | 15 | — | 40 | 80 |
| Clock and Clock Inhibit Rise or Fall Time; t_{CL}, t_{ICL} | | 5 | Unlimited | | |
| | | 10 | Unlimited | | |
| | | 15 | Unlimited | | |
| Average Input Capacitance, C_{IN} | Any Input | — | 5 | 7 | pF |
| RESET OPERATION | | | | | |
| Propagation Delay Time; To Carry-Out Line, t_{PLH} | | 5 | — | 275 | 550 |
| | | 10 | — | 120 | 240 |
| | | 15 | — | 80 | 160 |
| To Decode Out Lines, t_{PHL}, t_{PLH} | | 5 | — | 300 | 600 |
| | | 10 | — | 125 | 250 |
| | | 15 | — | 90 | 180 |
| Min. Reset Pulse Width, t_W | | 5 | — | 100 | 120 |
| | | 10 | — | 50 | 100 |
| | | 15 | — | 25 | 50 |
| Min. Reset Removal Time | | 5 | — | 0 | 30 |
| | | 10 | — | 0 | 15 |
| | | 15 | — | 0 | 10 |

▲ Measured with respect to carry-out line.

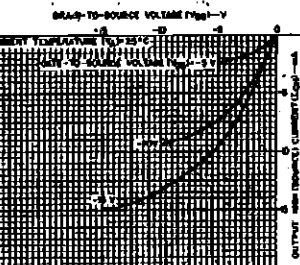


Fig. 9 — Minimum p-channel output high (source) current characteristics.

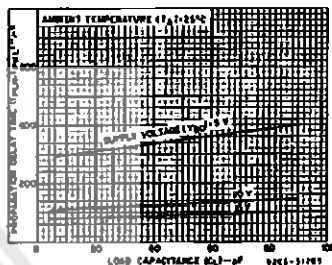


Fig. 10 — Typical propagation delay time as a function of load capacitance for decoded outputs.

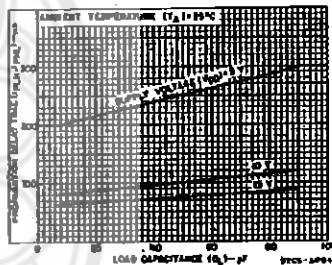


Fig. 11 — Typical propagation delay time as a function of load capacitance for carry-out outputs.

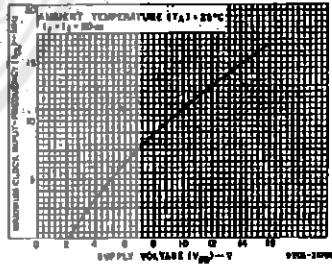


Fig. 12 — Typical maximum clock input frequency as a function of supply voltage.

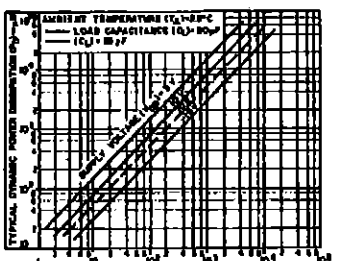


Fig. 13 - Typical power dissipation as a function of clock input frequency.

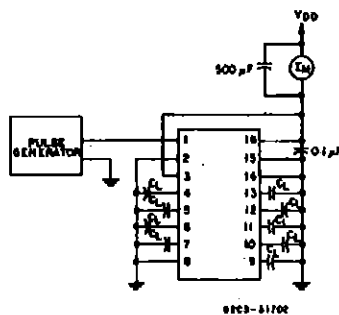
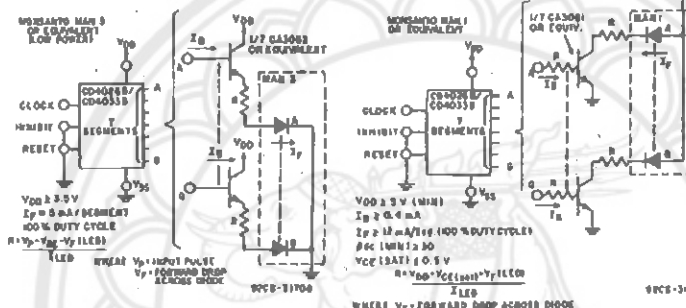


Fig. 14 — Dynamic power dissipation test circuit for CD4013B.

INTERFACING THE CD4020B AND CD4033B WITH COMMERCIALLY AVAILABLE LIGHT EMITTING DIODE DISPLAYS



Child dimensions and pad layout for CD4026B

Dimensions in parentheses are in millimeters and are derived from the basic inch dimensions as indicated. Grid graduations are in mils (10^{-3} inch).

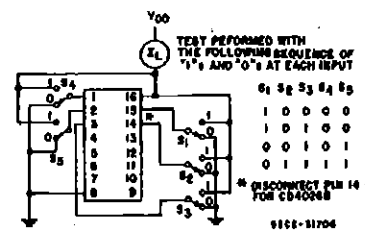


Fig. 18 — Quiescent device current.

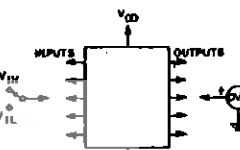


Fig. 16 - Input voltage

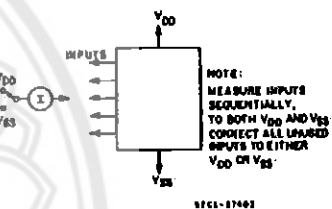
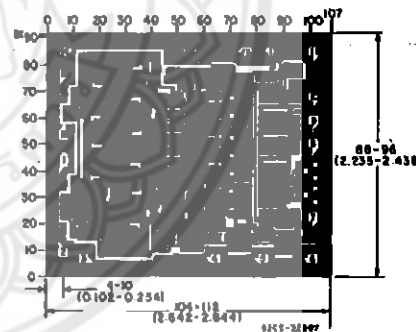
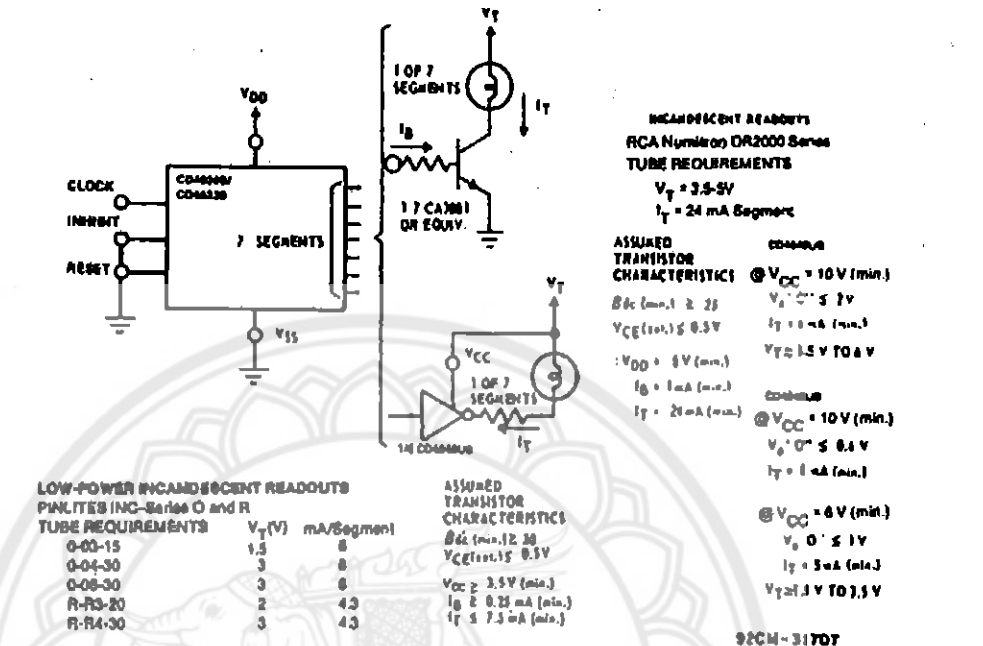


Fig. 17 - Input current

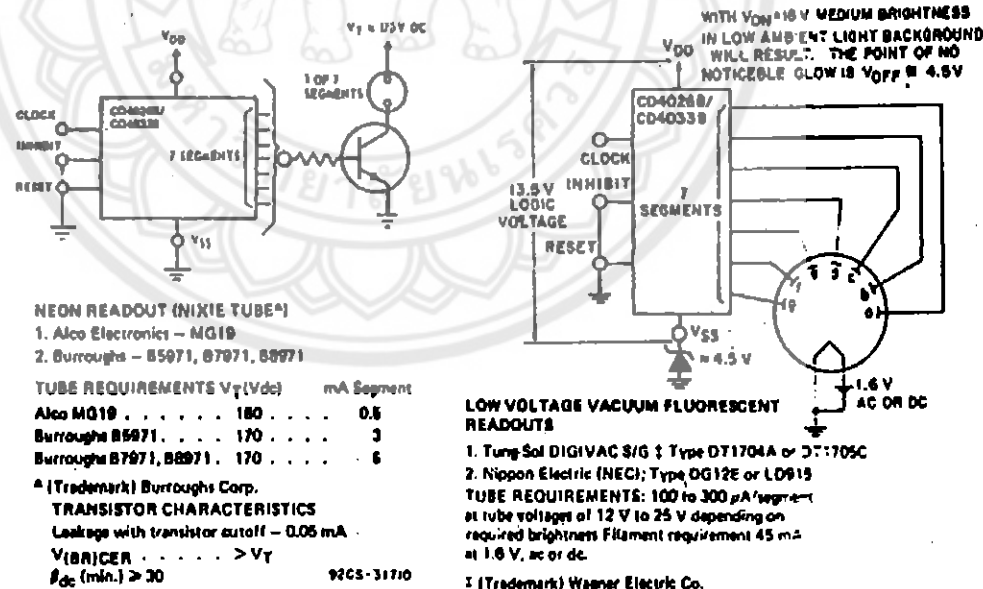


Chip dimensions and pad layout for CD4033B

**INTERFACING THE CD4026B AND CD4033B WITH COMMERCIALLY AVAILABLE
7-SEGMENT DISPLAY DEVICES***



- * The interfacing buffers shown, while a necessity with the CD4026A and CD4033A, are not required when using the "B" devices; the "B" outputs (≈ 10 times the "A" outputs) can drive most display devices directly especially at voltages above 10 V.

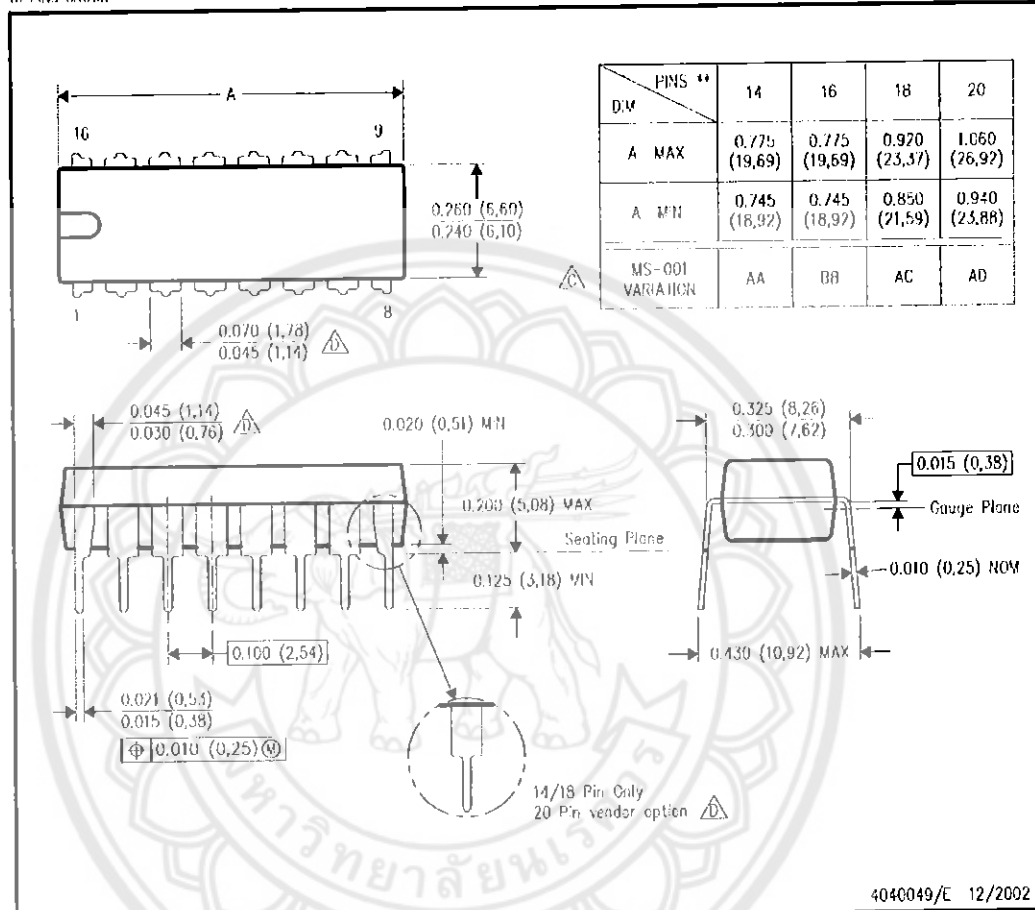


MECHANICAL DATA

N (R-PDIP-T**)

PLASTIC DUAL-IN-LINE PACKAGE

16 PINS SHOWN

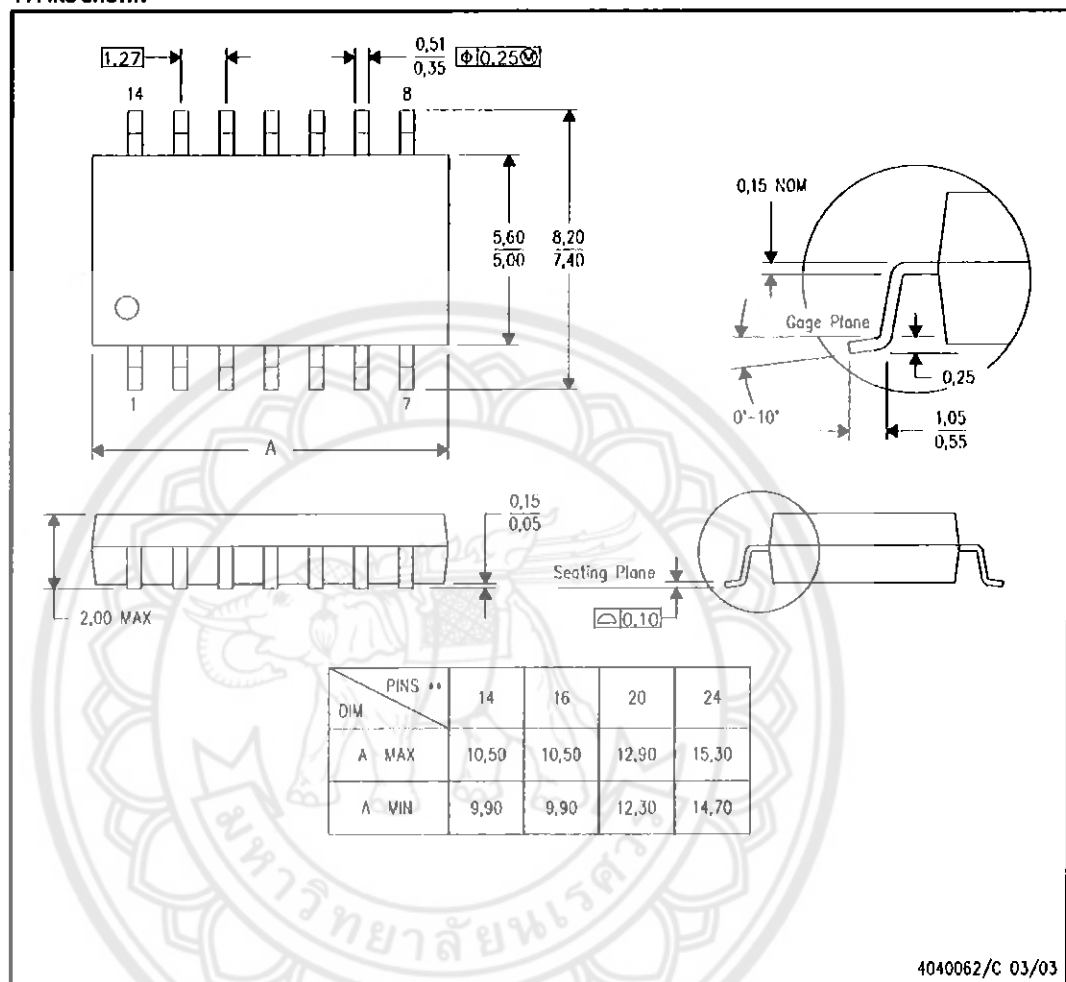


NOTES: A. All linear dimensions are in inches (millimeters).

B. This drawing is subject to change without notice.

C. Falls within JEDEC MS-001, except 18 and 20 pin minimum body length (Dim A).

D. The 20 pin end lead shoulder width is a vendor option, either half or full width.

MECHANICAL DATA**NS (R-PDSO-G**)****14-PINS SHOWN****PLASTIC SMALL-OUTLINE PACKAGE**

NOTES: A. All linear dimensions are in millimeters.
 B. This drawing is subject to change without notice.
 C. Body dimensions do not include mold flash or protrusion, nor to exceed 0.15.

4040062/C 03/03

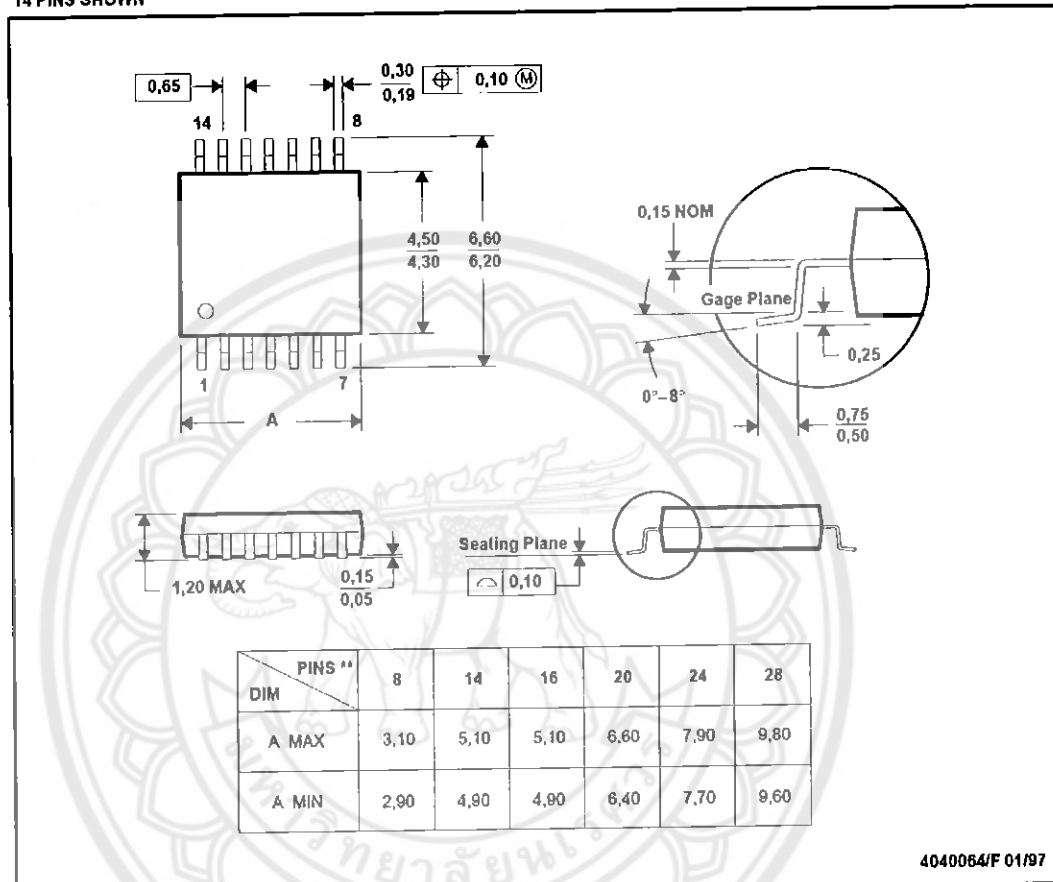
MECHANICAL DATA

MTSS001C - JANUARY 1995 - REVISED FEBRUARY 1999

PW (R-PDSO-G**)

PLASTIC SMALL-OUTLINE PACKAGE

14 PINS SHOWN



- NOTES: A. All linear dimensions are in millimeters.
 B. This drawing is subject to change without notice.
 C. Body dimensions do not include mold flash or protrusion not to exceed 0,15.
 D. Falls within JEDEC MO-153



ภัตพนวกง
รายละเอียดข้อมูลของไอซีตัวคุณค่าแรงดันหมายเลขอ LM7805



August 2012

LM78XX/LM78XXA 3-Terminal 1A Positive Voltage Regulator

Features

- Output Current up to 1A
- Output Voltages of 5, 6, 8, 9, 10, 12, 15, 18, 24
- Thermal Overload Protection
- Short Circuit Protection
- Output Transistor Safe Operating Area Protection

General Description

The LM78XX series of three terminal positive regulators are available in the TO-220 package and with several fixed output voltages, making them useful in a wide range of applications. Each type employs internal current limiting, thermal shut down and safe operating area protection, making it essentially indestructible. If adequate heat sinking is provided, they can deliver over 1A output current. Although designed primarily as fixed voltage regulators, these devices can be used with external components to obtain adjustable voltages and currents.

Ordering Information

| Product Number | Output Voltage Tolerance | Package | Operating Temperature |
|----------------|--------------------------|-----------------------|-----------------------|
| LM7805CT | ±4% | TO-220 (Single Gauge) | -40°C to +125°C |
| LM7806CT | | | |
| LM7808CT | | | |
| LM7809CT | | | |
| LM7810CT | | | |
| LM7812CT | | | |
| LM7815CT | | | |
| LM7818CT | | | |
| LM7824CT | | | |
| LM7805ACT | ±2% | | 0°C to +125°C |
| LM7806ACT | | | |
| LM7808ACT | | | |
| LM7809ACT | | | |
| LM7810ACT | | | |
| LM7812ACT | | | |
| LM7815ACT | | | |
| LM7818ACT | | | |
| LM7824ACT | | | |

Block Diagram

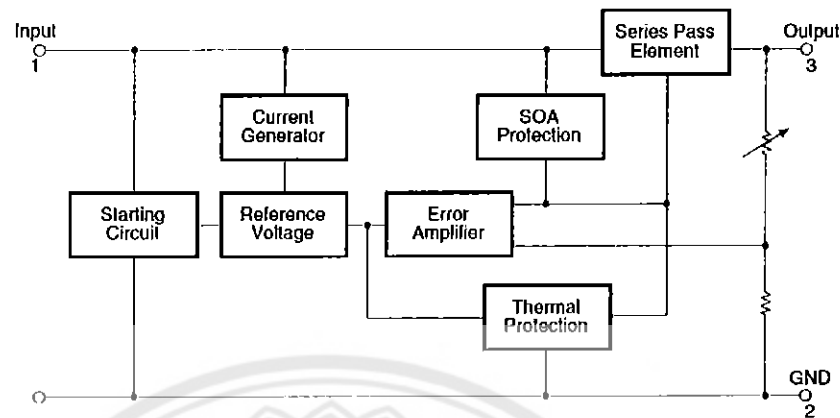


Figure 1.

Pin Assignment

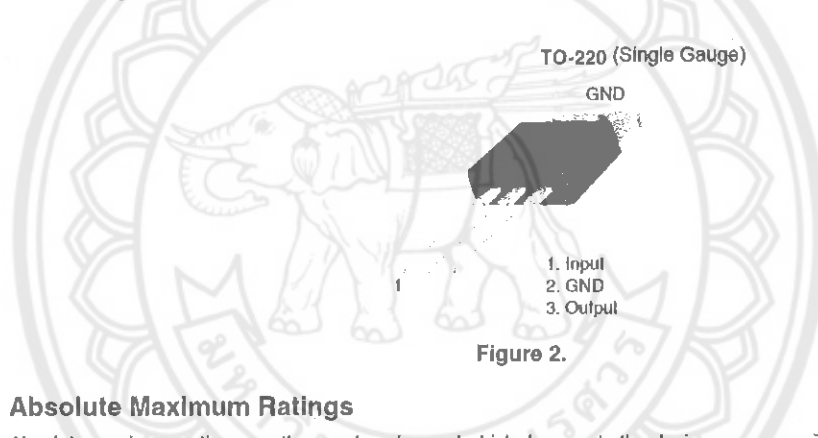


Figure 2.

Absolute Maximum Ratings

Absolute maximum ratings are those values beyond which damage to the device may occur. The datasheet specifications should be met, without exception, to ensure that the system design is reliable over its power supply, temperature, and output/input loading variables. Fairchild does not recommend operation outside datasheet specifications.

| Symbol | Parameter | | Value | Unit |
|-----------|--|---------------------|-------------|----------------------|
| V_I | Input Voltage | $V_O = 5V$ to $18V$ | 35 | V |
| | | $V_O = 24V$ | 40 | V |
| R_{JJC} | Thermal Resistance Junction-Cases (TO-220) | | 5 | $^{\circ}\text{C/W}$ |
| R_{JJA} | Thermal Resistance Junction-Air (TO-220) | | 65 | $^{\circ}\text{C/W}$ |
| T_{OPR} | Operating Temperature Range | LM78xx | -40 to +125 | $^{\circ}\text{C}$ |
| | | LM78xxA | 0 to +125 | $^{\circ}\text{C}$ |
| T_{STG} | Storage Temperature Range | | -65 to +150 | $^{\circ}\text{C}$ |

Electrical Characteristics (LM7805)

Refer to the test circuits. $-40^{\circ}\text{C} < T_J < +25^{\circ}\text{C}$, $I_O = 500\text{mA}$, $V_I = 10\text{V}$, $C_l = 0.1\mu\text{F}$, unless otherwise specified.

| Symbol | Parameter | Conditions | | Min. | Typ. | Max. | Unit |
|-----------------------|-------------------------------------|--|-------------------------------------|------|------|------|---------------------------------|
| V_O | Output Voltage | $T_J = +25^{\circ}\text{C}$ | | 4.8 | 5.0 | 5.2 | V |
| | | $5\text{mA} \leq I_O \leq 1\text{A}$, $P_O \leq 15\text{W}$, $V_I = 7\text{V}$ to 20V | | 4.75 | 5.0 | 5.25 | |
| Regline | Line Regulation ⁽¹⁾ | $T_J = +25^{\circ}\text{C}$ | $V_O = 7\text{V}$ to 25V | — | 4.0 | 100 | mV |
| | | $V_I = 8\text{V}$ to 12V | | — | 1.6 | 50.0 | |
| Regload | Load Regulation ⁽¹⁾ | $T_J = +25^{\circ}\text{C}$ | $I_O = 5\text{mA}$ to 1.5A | — | 9.0 | 100 | mV |
| | | $I_O = 250\text{mA}$ to 750mA | | — | 4.0 | 50.0 | |
| I_Q | Quiescent Current | $T_J = +25^{\circ}\text{C}$ | | — | 5.0 | 8.0 | mA |
| ΔI_Q | Quiescent Current Change | $I_O = 5\text{mA}$ to 1A | | — | 0.03 | 0.5 | mA |
| | | $V_I = 7\text{V}$ to 25V | | — | 0.3 | 1.3 | |
| $\Delta V_O/\Delta T$ | Output Voltage Drift ⁽²⁾ | $I_O = 5\text{mA}$ | | — | -0.8 | — | mV/°C |
| V_N | Output Noise Voltage | $f = 10\text{Hz}$ to 100kHz , $T_A = +25^{\circ}\text{C}$ | | — | 42.0 | — | $\mu\text{V}/\sqrt{\text{V}_O}$ |
| RR | Ripple Rejection ⁽²⁾ | $f = 120\text{Hz}$, $V_O = 8\text{V}$ to 18V | | 62.0 | 73.0 | — | dB |
| V_{DROP} | Dropout Voltage | $I_O = 1\text{A}$, $T_J = +25^{\circ}\text{C}$ | | — | 2.0 | — | V |
| r_O | Output Resistance ⁽²⁾ | $f = 1\text{kHz}$ | | — | 15.0 | — | $\text{m}\Omega$ |
| I_{SC} | Short Circuit Current | $V_I = 35\text{V}$, $T_A = +25^{\circ}\text{C}$ | | — | 230 | — | mA |
| I_{PK} | Peak Current ⁽²⁾ | $T_J = +25^{\circ}\text{C}$ | | — | 2.2 | — | A |

Notes:

1. Load and line regulation are specified at constant junction temperature. Changes in V_O due to heating effects must be taken into account separately. Pulse testing with low duty is used.
2. These parameters, although guaranteed, are not 100% tested in production.

Typical Performance Characteristics

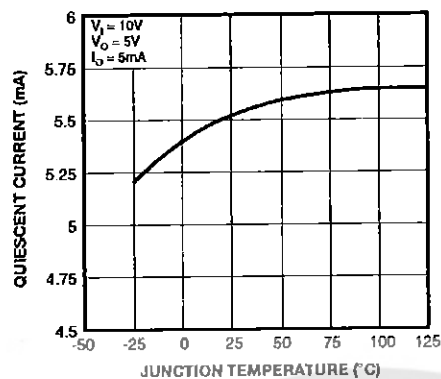


Figure 3. Quiescent Current

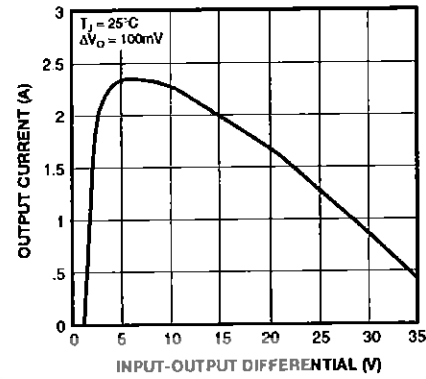


Figure 4. Peak Output Current

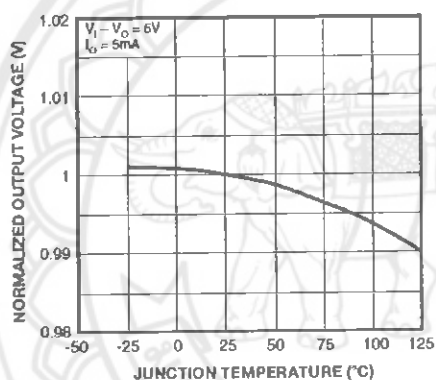


Figure 5. Output Voltage

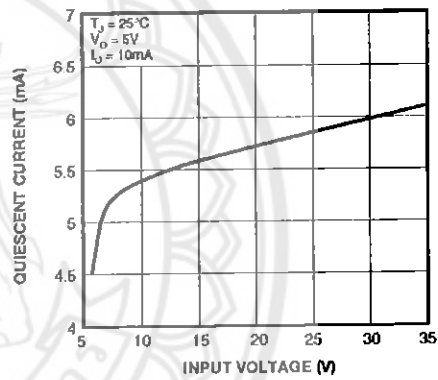


Figure 6. Quiescent Current

Typical Applications

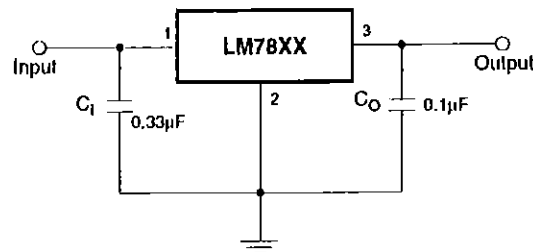


Figure 7. DC Parameters

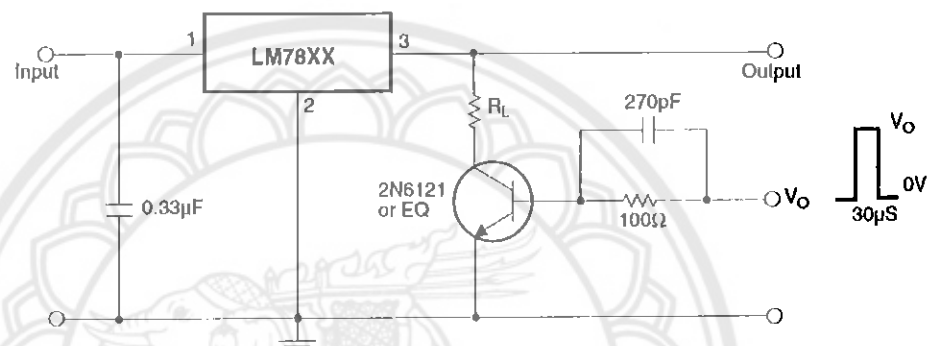


Figure 8. Load Regulation

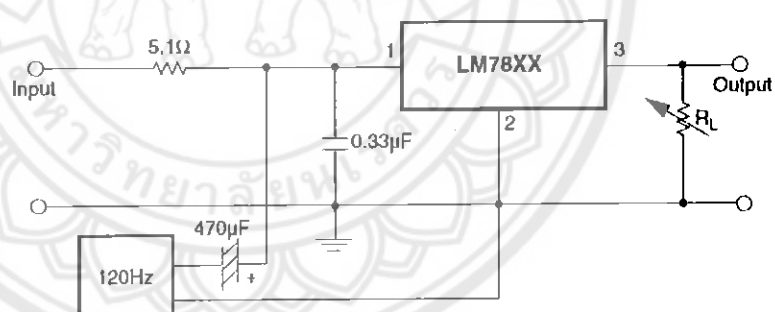


Figure 9. Ripple Rejection

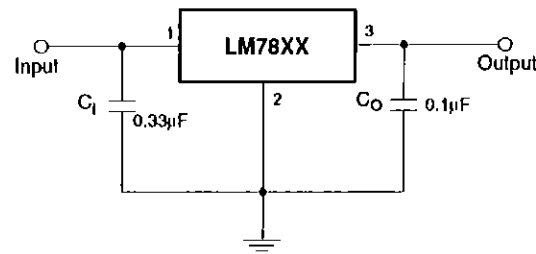
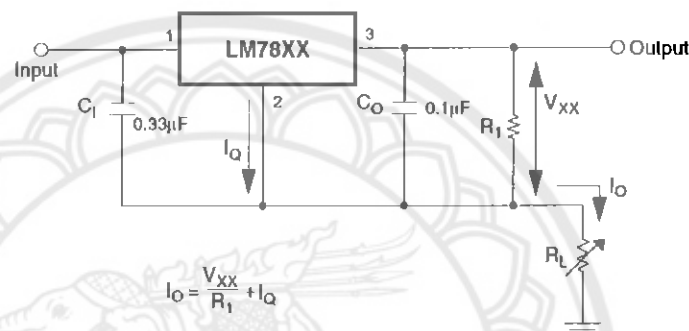


Figure 10. Fixed Output Regulator



Notes:

1. To specify an output voltage, substitute voltage value for "XX." A common ground is required between the input and the output voltage. The input voltage must remain typically 2.0V above the output voltage even during the low point on the input ripple voltage.
2. C1 is required if regulator is located an appreciable distance from power supply filter.
3. CO improves stability and transient response.

Figure 11.

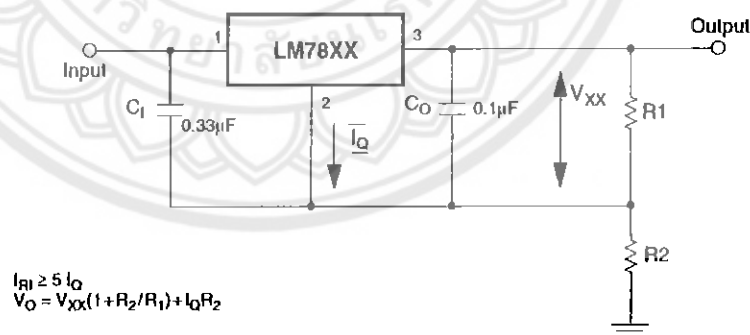


Figure 12. Circuit for Increasing Output Voltage

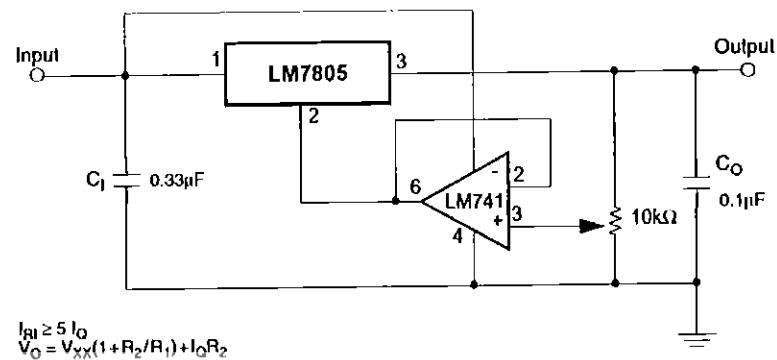


Figure 13. Adjustable Output Regulator (7V to 30V)

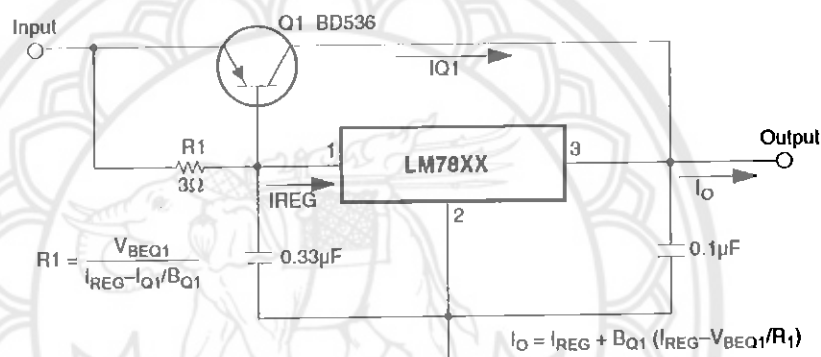


Figure 14. High Current Voltage Regulator

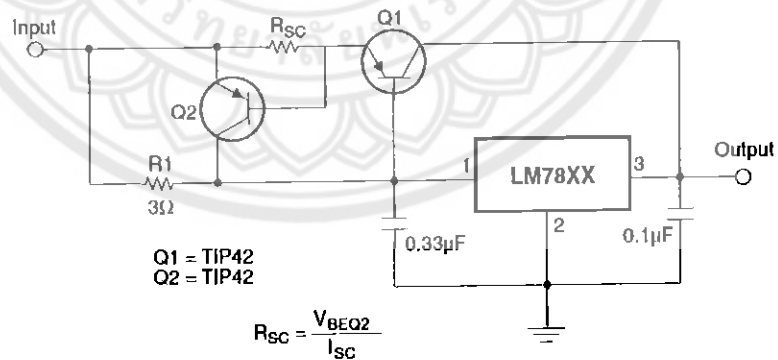


Figure 15. High Output Current with Short Circuit Protection

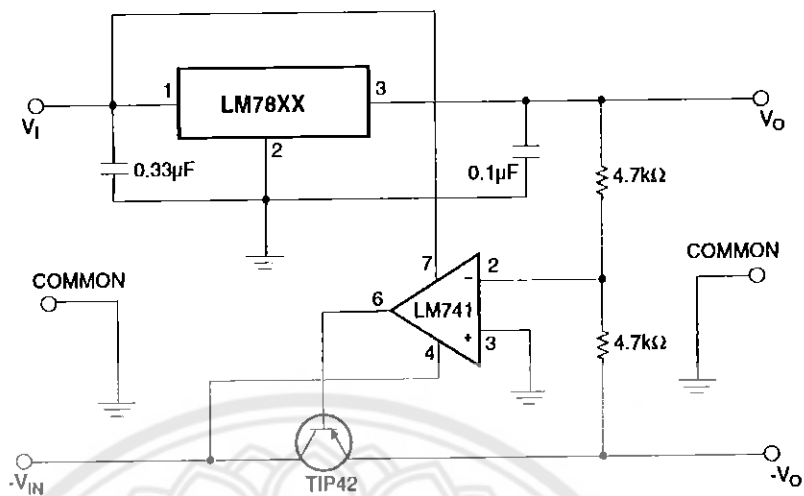
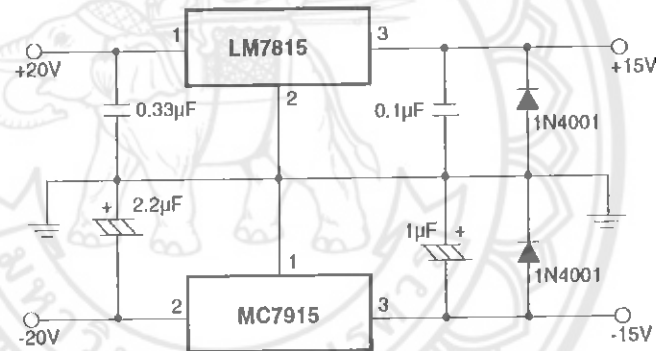


Figure 16. Tracking Voltage Regulator

Figure 17. Split Power Supply ($\pm 15V \sim 1A$)

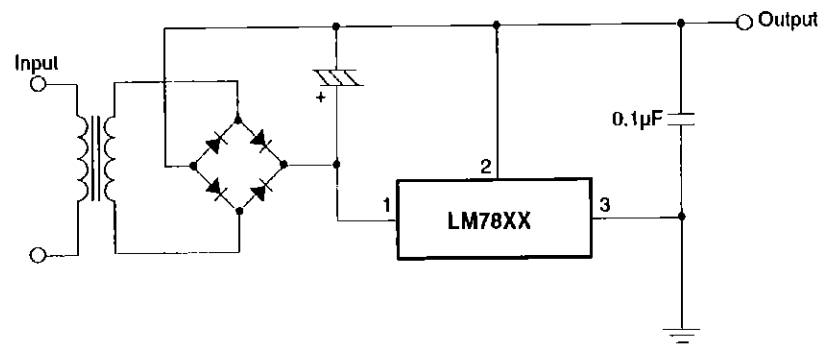


Figure 18. Negative Output Voltage Circuit

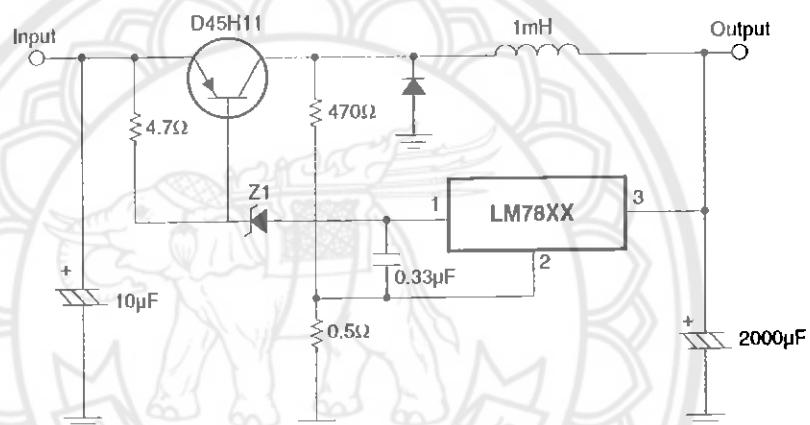


Figure 19. Switching Regulator

Mechanical Dimensions

Dimensions in millimeters

TO-220 [SINGLE GAUGE]

